

# Primeira lista de questões - Mecânica Geral I

## Sugestões de respostas

(Convenções de paginação (canto esquerdo de cada folha)

- 1) Para questões não retiradas do livro\*:  $x \cdot y \cdot z$ , com  $x = \text{nº da lista}$  (referente às listas 1, 2 ou 3),  $y = \text{número do exercício na lista } x$  e  $z = \text{página do roteiro de sugestões de respostas referente ao exercício } y$ .
- 2) Para questões retiradas do livro:  $x.v.(y.z) \cdot k$ , com  $x = \text{nº da lista}$ ,  $v = \text{nº do exercício na lista } x$  em que são chamadas as questões no livro,  $(y.z) = \text{número do problema segundo consta no livro } (y = \text{nº do problema}, z = \text{capítulo do livro em questão})$ ,  $k = \text{página do roteiro de sugestões de respostas referente ao problema } y.z$ .

\* Thornton - Marion, "Dinâmica Clássica de Partículas e Sistemas", tradução da 5ª edição, Cengage, S. P., 2011.

### 1.1.1

Vamos considerar o movimento circular uniforme e o deslocamento de um ponto, como ao lado, da posições 1 à posições 2.

C é o centro da trajetória, de raio R. Em conformidade com a figura, o ponto material está na posição 1 no instante t e estará na posição 2 no instante  $t + dt$  ( $dt$  é um pequeno intervalo de tempo). Tendo circular uniforme o movimento, temos

$$V = |\vec{v}_1| = |\vec{v}(t)| = |\vec{v}_2| = |\vec{v}(t+dt)| \quad (\text{velocidade constante em módulo}).$$

Primeiramente, é interessante que se mostre que a aceleração  $\vec{a} = \vec{a}(t)$  (instantânea), dada por

$$\vec{a} = \frac{d\vec{v}}{dt} = \frac{\vec{v}(t+dt) - \vec{v}(t)}{dt} = \frac{\vec{v}_2 - \vec{v}_1}{dt} = \left( \frac{1}{dt} \right) (\vec{v}_2 - \vec{v}_1) \quad ①,$$

deve ser um "vetor radial", "voltado para o centro". Para visualizarmos isso, vamos transportar, como na figura abaixo, os vetores  $\vec{v}_1$  e  $\vec{v}_2$  para o ponto médio da trajetória, M.

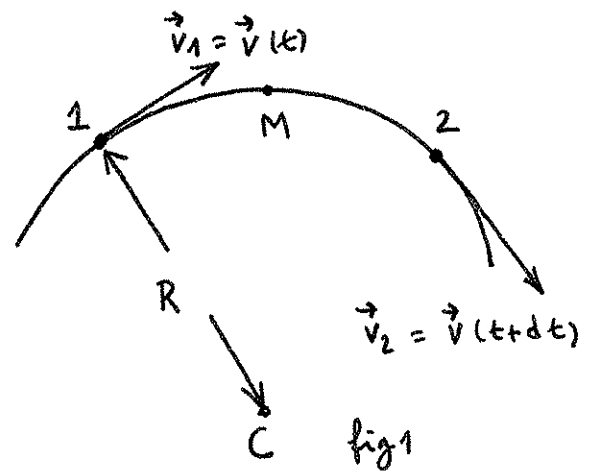


fig1

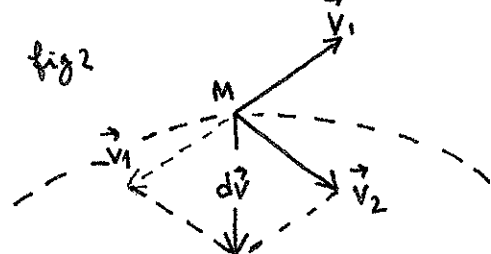


fig2

1.1.2

Considerando as figuras 1 e 2, vemos claramente que  $d\vec{v} = \vec{v}_2 - \vec{v}_1 = \vec{v}_2 + (-\vec{v}_1)$  é radial, como desejávamos mostrar. Por outro lado, sendo  $dt$  escalar,  $\frac{1}{dt}$  é também escalar. Por essa razão  $\vec{a} = \left(\frac{1}{dt}\right) d\vec{v}$  deve também ser radial.

A abordagem quantitativa da questão será feita a partir da figura ao lado.

Se  $d\theta$  é muito pequeno,  $\Delta s$ , a distância entre os pontos 1 e 2, é muito próxima ao comprimento do arco  $\widehat{1M_2}$ . Você deveria ser capaz de mostrar que o triângulo  $12C$  e o triângulo das velocidades  $\vec{v}_1$ ,  $\vec{v}_2$  e  $\vec{v}_3$  são semelhantes. Em virtude dessa semelhança temos

$$\frac{\Delta s}{|d\vec{v}|} = \frac{R}{|\vec{v}_1|} = \frac{R}{V} \Rightarrow |d\vec{v}| = \frac{V \Delta s}{R} \quad ②$$

Como, por ①,  $|\vec{a}| = \left| \frac{d\vec{v}}{dt} \right| = \frac{|d\vec{v}|}{dt}$  ( $dt > 0$ ) temos,

por ②,  $|\vec{a}| = \frac{\frac{V \Delta s}{R}}{dt} = \frac{V \frac{\Delta s}{dt}}{R} = \frac{V^2}{R} \quad ③$ , porque  $V = |\vec{v}|$   $= \frac{\Delta s}{dt}$ , no limite em que  $dt$ ,  $\Delta s$  e  $d\theta$  tendem

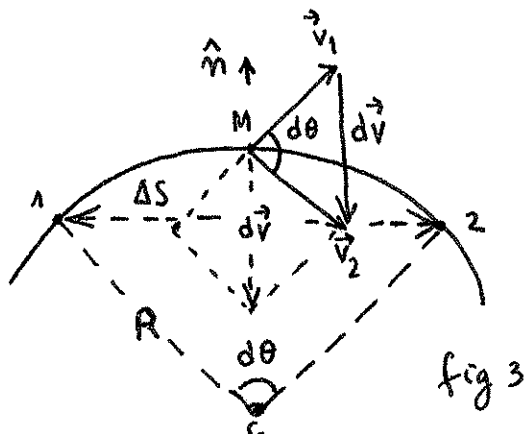


fig 3

1.1.3

a zero.

Para escrevermos uma relação vetorial, uma vez que sabemos que  $\vec{a}$  é "radial para o centro", basta adotarmos o vetor unitário  $\hat{n}$  como ao lado. Temos, por ③,

$$\vec{a} = -\frac{v^2}{R} \hat{n},$$

sendo o sinal negativo representativo de que  $\vec{a}$  e  $\hat{n}$  são vetores de sentidos opostos.

Observe que o resultado  $|\vec{v}| = \frac{\Delta s}{dt} = \frac{ds}{dt}$  ou, mais rigorosamente,  $|\vec{v}| = \left| \frac{ds}{dt} \right|$ , sendo  $ds$  um infinitesimal percorrido no intervalo  $dt$  de tempo, é geral e não se restringe ao movimento circular uniforme. Isso pode ser

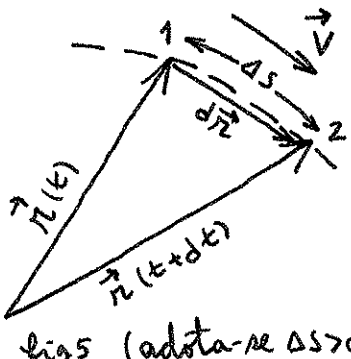
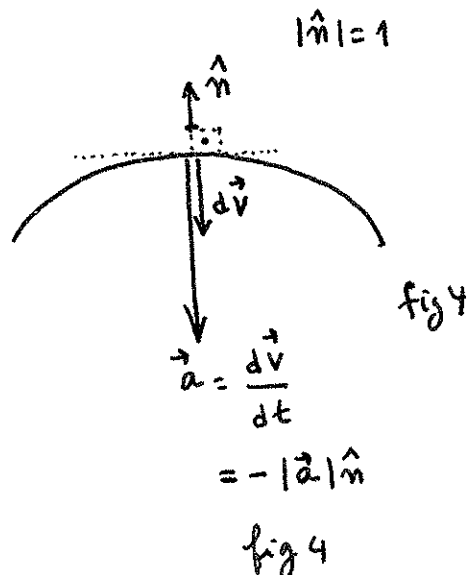


fig5 (adota-se  $ds > 0$ )

visto com o auxílio da figura 5 ao lado, em que um móvel vai do ponto 1 ao 2. Temos, com  $\Delta s = ds > 0$ ,

$$v = \frac{d\vec{r}}{dt} = \frac{\vec{r}(t+dt) - \vec{r}(t)}{dt} = \frac{d\vec{r}}{ds} \frac{ds}{dt},$$

por regra da cadeia. Ocorre que  $\left| \frac{d\vec{r}}{ds} \right| = \frac{|d\vec{r}|}{ds} = \frac{ds}{ds} = 1$  ( $ds > 0$ ), e que então  $|\vec{v}| = \left| \frac{d\vec{r}}{ds} \frac{ds}{dt} \right| = \left| \frac{d\vec{r}}{ds} \right| \left| \frac{ds}{dt} \right| = \frac{ds}{dt}$



$$|\hat{n}| = 1$$

fig4

$$= -|\vec{a}| \hat{n}$$

fig4

1.1.4

Com o auxílio de uma figura como a que está esboçada ao lado, em que a trajetória é plana apenas por comodidade, pode-se mostrar, de forma geral, que

$$\vec{v} = \frac{d\vec{r}}{dt} = \frac{ds}{dt} \hat{t} = v \hat{t}$$

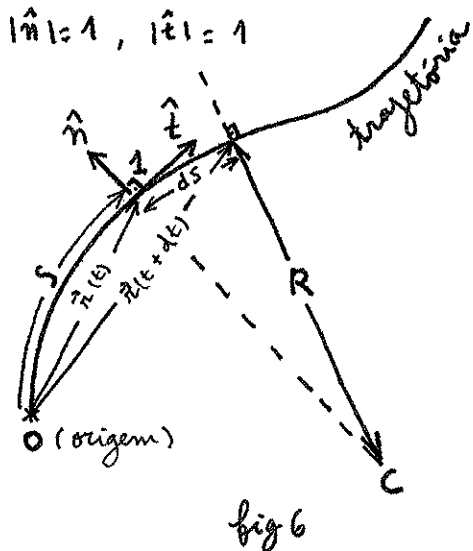


fig 6

e que

$$\vec{a} = \frac{d\vec{v}}{dt} = \frac{dv}{dt} \hat{t} - \frac{v^2}{R} \hat{n},$$

sendo  $R$  o raio local da trajetória no ponto 1.

1.2.1

A situação está esboçada ao lado, com  $|\vec{r}| = R$ . De fato a trajetória é circular, porque se escrevemos  $\vec{r} = x \hat{i} + y \hat{j}$ , temos  $x = R \cos \omega t$  e  $y = R \sin \omega t$ , de onde  $\cos \omega t = \frac{x}{R}$  e  $\sin \omega t = \frac{y}{R}$ . Então, como  $\cos^2 \omega t + \sin^2 \omega t = 1$ , temos  $\left(\frac{x}{R}\right)^2 + \left(\frac{y}{R}\right)^2 = 1 \Rightarrow x^2 + y^2 = R^2$ , que é a equação de uma circunferência.

Note que podemos, alternativamente, escrever

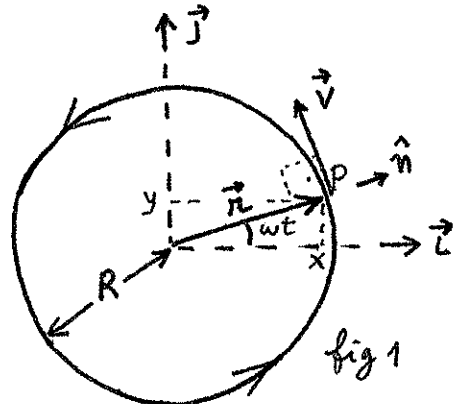
$$\vec{r} = R \cos \omega t \underbrace{(\hat{i}, 0)}_{\hat{i}} + R \sin \omega t \underbrace{(\hat{j}, 0)}_{\hat{j}} = (R \cos \omega t, 0) + (0, R \sin \omega t) = (R \cos \omega t, R \sin \omega t) = (x, y).$$

Temos então, de forma talvez mais clara,

$$\begin{aligned} \vec{r} \cdot \vec{r} &= |\vec{r}|^2 = (x, y) \cdot (x, y) = x^2 + y^2 = R^2 \cos^2 \omega t + R^2 \sin^2 \omega t \\ &= R^2 (\underbrace{\cos^2 \omega t + \sin^2 \omega t}_{=1}) = R^2 \end{aligned}$$

Para a velocidade, teremos

$$\begin{aligned} \vec{v} &= \frac{d\vec{r}}{dt} = \frac{d}{dt} (R \cos \omega t \hat{i} + R \sin \omega t \hat{j}) = -R \omega \sin \omega t \hat{i} \\ &\quad + R \omega \cos \omega t \hat{j}, \end{aligned}$$



$\vec{r}$  = posição do ponto P

1.2.2

de onde

$$V = |\vec{V}| = \sqrt{\vec{V} \cdot \vec{V}} = \sqrt{\vec{V}^2}$$

$$\begin{aligned} &= \sqrt{(-R\omega \sin \omega t \vec{i} + R\omega \cos \omega t \vec{j}) \cdot (-R\omega \sin \omega t \vec{i} + R\omega \cos \omega t \vec{j})} \\ &= \left[ (-R\omega \sin \omega t)^2 \vec{i} \cdot \vec{i} + (-R\omega \sin \omega t)(R\omega \cos \omega t) \vec{i} \cdot \vec{j} \right. \\ &\quad \left. + (R\omega \cos \omega t)(-R\omega \sin \omega t) \vec{j} \cdot \vec{i} + (R\omega \cos \omega t)^2 \vec{j} \cdot \vec{j} \right]^{1/2} \\ &= \sqrt{R^2 \omega^2 (\underbrace{\sin^2 \omega t + \cos^2 \omega t}_{=1})} = R\omega, \end{aligned}$$

constante porque  $R$  e  $\omega$  são constantes.

Note que  $\vec{n}$  e  $\vec{V}$  são perpendiculares:

$$\begin{aligned} \vec{n} \cdot \vec{V} &= (R \cos \omega t, R \sin \omega t) \cdot (-R\omega \sin \omega t \vec{i} + R\omega \cos \omega t \vec{j}) \\ &= -R^2 \omega \cos \omega t \sin \omega t + R^2 \omega \sin \omega t \cos \omega t = 0 \end{aligned}$$

Agora,

$$\begin{aligned} \vec{a} &= \frac{d\vec{V}}{dt} = \frac{d}{dt} (-R\omega \sin \omega t \vec{i} + R\omega \cos \omega t \vec{j}) \\ &= -R\omega^2 \cos \omega t \vec{i} - R\omega^2 \sin \omega t \vec{j} \\ &= -\omega^2 (R \cos \omega t \vec{i} + R \sin \omega t \vec{j}) = -\omega^2 \vec{n}. \end{aligned}$$

Observe que  $|\vec{a}| = |\omega^2 \vec{n}| = \omega^2 |\vec{n}| = \omega^2 R$ . Se notarmos agora que  $\hat{n} = \vec{n}/|\vec{n}| = \vec{n}/R$  (para que  $|\hat{n}|=1$ ), temos

$$\vec{a} = -\omega^2 \vec{n} = -\omega^2 R \hat{n} = -\frac{\omega^2}{R} \hat{n}, \text{ porque } V = \omega R \text{ como provado.}$$

1.3.1

a) Se  $\vec{r} = 2 \sin wt \hat{i} + \cos wt \hat{j}$

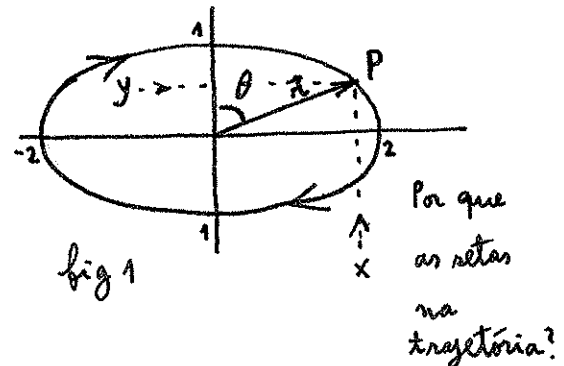
$$= (2 \sin wt, \cos wt) = (x, y),$$

temos

$$\left. \begin{array}{l} x = 2 \sin wt \\ y = \cos wt \end{array} \right\} \Rightarrow \left. \begin{array}{l} \sin wt = \frac{x}{2} \\ \cos wt = y \end{array} \right\} \Rightarrow \left. \begin{array}{l} \frac{x^2}{4} + y^2 = 1 \\ \sin^2 wt + \cos^2 wt = 1. \end{array} \right\}, \text{ porque}$$

Ocorre que  $\frac{x^2}{4} + y^2 = 1$  é a equação de uma elipse.

Então a trajetória é como esboçado ao lado.  $\vec{r}$  é posição da partícula no ponto P. Note o seguinte:



$$\left. \begin{array}{l} x = |\vec{r}| \sin \theta, \\ y = |\vec{r}| \cos \theta \end{array} \right\} \Rightarrow \left. \begin{array}{l} x = \sqrt{x^2+y^2} \sin \theta, \\ y = \sqrt{x^2+y^2} \cos \theta \end{array} \right\} \Rightarrow \left. \begin{array}{l} x = \sqrt{4 \sin^2 wt + \cos^2 wt} \sin \theta, \\ y = \sqrt{4 \sin^2 wt + \cos^2 wt} \cos \theta. \end{array} \right\} \quad (2)$$

Por comparação dessas expressões com ①.  $\theta \neq wt$ . Observe que por ① e ②

$$\frac{x}{y} = 2 \operatorname{tg} wt = \operatorname{tg} \theta,$$

por onde também vemos que  $\theta \neq wt$ . Se escrevemos  $\theta = \operatorname{arctg}(2 \operatorname{tg} wt)$  temos um gráfico como abaixo

1.3.2

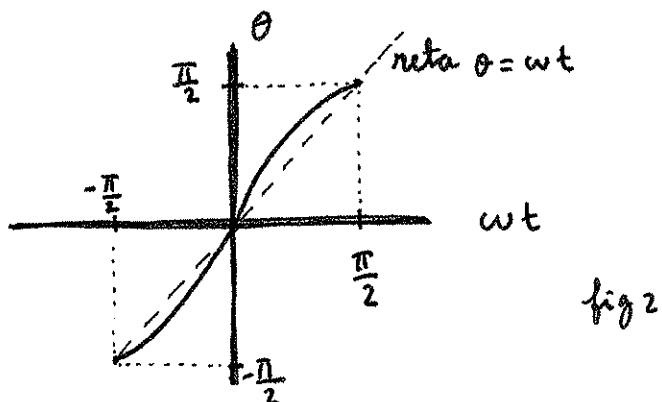


fig 2

Vemos então que o "raio vetor"  $\vec{r}$  não executa um movimento com  $\dot{\theta}$  constante.

b) Temos agora

$$\vec{v} = \frac{d\vec{r}}{dt} = 2w \cos wt \hat{i} - w \sin wt \hat{j} \quad (3)$$

$$\text{e } \vec{a} = \frac{d\vec{v}}{dt} = -2w^2 \sin wt \hat{i} - w^2 \cos wt \hat{j} \quad (4)$$

$$= -w^2 (2 \sin wt \hat{i} + \cos wt \hat{j}) = -w^2 \vec{r},$$

o que implica que nesse movimento a aceleração é "centrípeta", embora  $|\vec{r}|$  seja agora variável.

Formalmente o ângulo entre  $\vec{v}$  e  $\vec{a}$ ,  $\alpha$

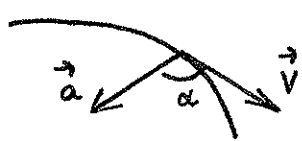


fig 3

(figura 3 ao lado) pode ser obtido por

$$\vec{a} \cdot \vec{v} = |\vec{a}| |\vec{v}| \cos \alpha \Rightarrow \cos \alpha = \frac{\vec{a} \cdot \vec{v}}{|\vec{a}| |\vec{v}|}.$$

Por (3) e (4),

$$\cos \alpha = \frac{-4w^3 \cos wt \sin wt + w^3 \sin wt \cos wt}{\sqrt{4w^2 \cos^2 wt + w^2 \sin^2 wt} \sqrt{4w^4 \sin^2 wt + w^4 \cos^2 wt}}$$

$$= -\frac{3 \cos wt \sin wt}{\sqrt{4 \cos^2 wt + \sin^2 wt} \sqrt{4 \sin^2 wt + \cos^2 wt}} = -\frac{\frac{3}{4} \sin 2wt}{\sqrt{1 + \frac{9}{16} \sin^2 2wt}}$$

1.4.1

O movimento circular uniforme (figura ao lado) tem sua trajetória definida pela relações

$$\vec{r} = R \cos \omega t \hat{i} + R \sin \omega t \hat{j} \quad ①$$

com  $\omega$  e  $R$  constantes, se  $\theta(t=0)=0$ .

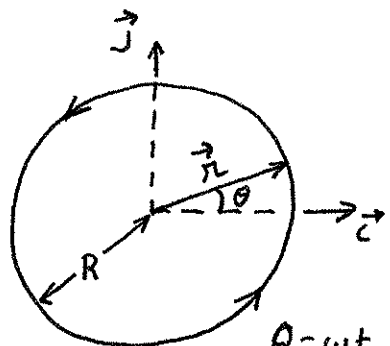
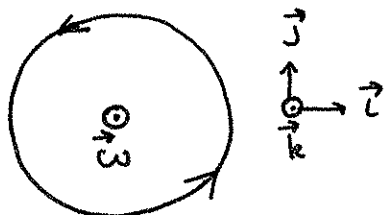


fig 1

$$\text{Sabemos que } \vec{v} = \frac{d\vec{r}}{dt} = -R\omega \sin \omega t \hat{i} + R\omega \cos \omega t \hat{j} \quad ②$$

(questão 2 da presente lista).

Vamos agora definir um vetor  $\vec{\omega}$ , como sugere a figura ao lado, pela relações



$$\vec{\omega} = \frac{d\theta}{dt} \hat{k} = \omega \hat{k} \quad ③$$

No caso do movimento circular uniforme,  $\frac{d\theta}{dt}$  é constante e  $\vec{\omega}$  é um vetor constante.

Não é muito difícil mostrar que a definição de  $\vec{\omega}$  nos conduz a  $\vec{v} = \vec{\omega} \times \vec{r}$ . Vejamos: se  $\vec{\omega} = \omega \hat{k} = (0, 0, \omega)$ , temos, por ① e ③,

$$\vec{\omega} \times \vec{r} = \begin{vmatrix} \hat{i} & \hat{j} & \hat{k} \\ 0 & 0 & \omega \\ R \cos \omega t & R \sin \omega t & 0 \end{vmatrix} = -\omega R \sin \omega t \hat{i} + \omega R \cos \omega t \hat{j},$$

1.4.2

que imediatamente reconhecemos como  $\vec{v}$  por ②. Alternativa para a obtenção de  $\vec{\omega} \times \vec{r}$ :

$$\begin{aligned}\vec{\omega} \times \vec{r} &= \vec{\omega} \times (R \cos \omega t \vec{i} + R \sin \omega t \vec{j}) \\ &= \underbrace{WR \cos \omega t}_{\vec{k} \times \vec{i} = \vec{j}} \vec{k} \times \vec{i} + \underbrace{WR \sin \omega t}_{\vec{k} \times \vec{j} = -\vec{i}} \vec{k} \times \vec{j} = WR \cos \omega t (\vec{j}) + WR \sin \omega t (-\vec{i}) \\ &= -WR \sin \omega t \vec{i} + WR \cos \omega t \vec{j}.\end{aligned}$$

Isto tudo significa que a definição do vetor velocidade angular  $\vec{\omega}$  é compatível com o que já sabemos, por ① e ②, sobre um movimento circular uniforme.

Temos agora, se  $\vec{v} = \vec{\omega} \times \vec{r}$ ,

$$\begin{aligned}\frac{d\vec{v}}{dt} &= \frac{d}{dt} (\vec{\omega} \times \vec{r}) = \underbrace{\frac{d\vec{\omega}}{dt} \times \vec{r}}_{= \vec{0} \text{ se } \vec{\omega} \text{ é constante}} + \vec{\omega} \times \underbrace{\frac{d\vec{r}}{dt}}_{= \vec{v}}.\end{aligned}$$

Então, por ② e ③

$$\begin{aligned}\vec{a} &= \frac{d\vec{v}}{dt} = \vec{\omega} \times \vec{v} \\ &= \begin{vmatrix} \vec{i} & \vec{j} & \vec{k} \\ 0 & 0 & \omega \\ -R \omega \sin \omega t & R \omega \cos \omega t & 0 \end{vmatrix} = -\omega^2 \underbrace{[R \cos \omega t \vec{i} + R \sin \omega t \vec{j}]}_{\vec{r}} \\ &= -\omega^2 \vec{r}.\end{aligned}$$

Isto significa que com a definição de  $\vec{\omega}$  obtemos, novamente, a aceleração centrípeta esperada.

1.5.1

Você encontra esse problema discutido no livro, no capítulo 1. Daremos aqui uma alternativa de dedução.

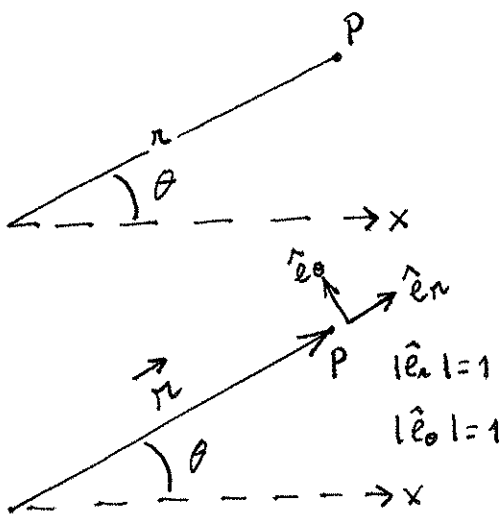


fig 1

Temos a velocidade dada por

$$\vec{v} = \frac{d\vec{r}}{dt} = \frac{d}{dt}(r\hat{e}_r) = \underbrace{\frac{dr}{dt}\hat{e}_r}_{=\dot{r}} + r \frac{d\hat{e}_r}{dt} = \dot{r}\hat{e}_r + r \frac{d\hat{e}_r}{dt} \quad (2)$$

Para terminar o cálculo de  $\vec{v}$ , devemos obter  $\frac{d\hat{e}_r}{dt}$ .

Nós vamos fazer isso com o auxílio da figura ao lado. Como  $|\hat{e}_r| = 1$  e  $|\hat{e}_\theta| = 1$ , temos, pela figura,

$$|\hat{e}_\theta| = |\hat{e}_\theta| d\theta = d\theta \quad (3)$$

$$\text{e } |\hat{e}_r| = |\hat{e}_r| d\theta = d\theta \quad (4)$$

Na figura ao lado as coordenadas polares de P são  $r$  e  $\theta$ . O vetor posição  $\vec{r}$  do ponto P se expressa de forma relativamente simples:

$$\vec{r} = r\hat{e}_r \quad (1)$$

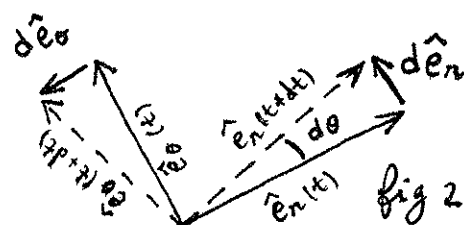
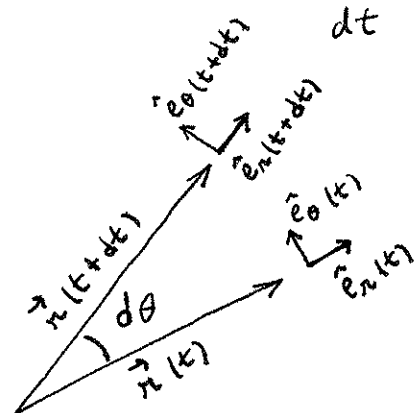


fig 2

Levando em conta ③ e ④ e as direções e sentidos de  $\hat{e}_n$  e  $\hat{e}_\theta$  pela figura 2, temos

$$\hat{e}_n = d\theta \hat{e}_\theta \quad ⑤$$

$$\text{e } \hat{e}_\theta = -d\theta \hat{e}_n \quad ⑥.$$

Por ⑤ e ⑥ temos

$$\frac{d\hat{e}_n}{dt} = \frac{d\theta}{dt} \hat{e}_\theta = \dot{\theta} \hat{e}_\theta \quad ⑦$$

$$\text{e } \frac{d\hat{e}_\theta}{dt} = -\frac{d\theta}{dt} \hat{e}_n = -\dot{\theta} \hat{e}_n \quad ⑧.$$

Voltando com ⑦ a ② temos

$$\vec{V} = \vec{r} \hat{e}_n + r \frac{d\hat{e}_n}{dt} = \vec{r} \hat{e}_n + r \dot{\theta} \hat{e}_\theta \quad ⑨.$$

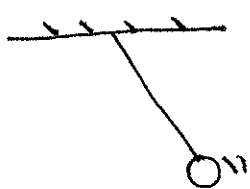
Usando agora ⑨, ⑦ e ⑧ temos a aceleração

$$\begin{aligned} \vec{a} &= \frac{d\vec{V}}{dt} = \ddot{r} \hat{e}_n + \vec{r} \frac{d\hat{e}_n}{dt} + \vec{r} \dot{\theta} \hat{e}_\theta + r \ddot{\theta} \hat{e}_\theta + r \dot{\theta} \frac{d\hat{e}_\theta}{dt} \\ &= \ddot{r} \hat{e}_n + \vec{r} \dot{\theta} \hat{e}_\theta + \vec{r} \dot{\theta} \hat{e}_\theta + r \ddot{\theta} \hat{e}_\theta - r \dot{\theta}^2 \hat{e}_n \\ &= (\ddot{r} - r \dot{\theta}^2) \hat{e}_n + (r \ddot{\theta} + 2r \dot{\theta}) \hat{e}_\theta \end{aligned}$$

1.6.1

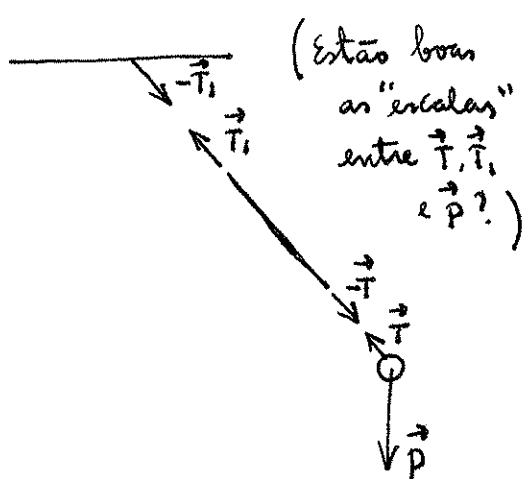
Serão apresentadas aqui algumas propostas parciais de resposta.  $\vec{f}$  e  $-\vec{f}$  são, em cada figura, um par ações-reações. Alguns efeitos, como presença de ar e outros corpos, serão desconsiderados, de forma que as figuras não são em geral completas.

(a)

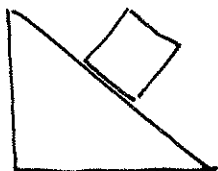


$\rightarrow$  forças  $\rightarrow$

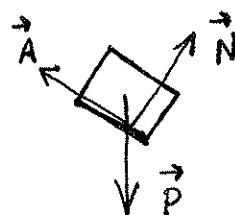
(peso do  
fio desprezado)



(b)



$\rightarrow$

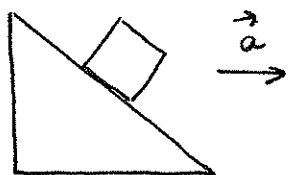


Obs: como  
há repouso,  
devemos ter  
 $\vec{N} + \vec{A} + \vec{P} = \vec{0}$ .

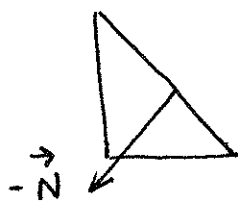
Pode estar  
completo esse  
desenho?

que não há  
rotacões?

(c)

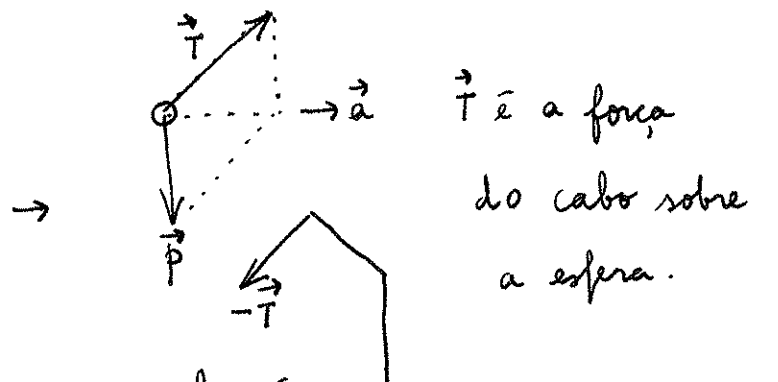
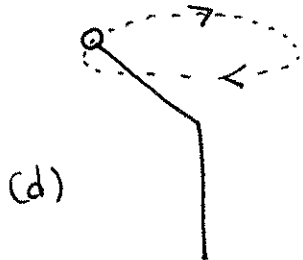


$\rightarrow$   
sem  
atributo



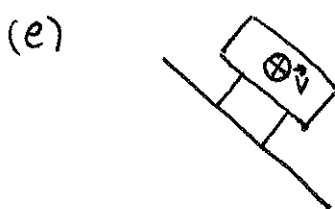
Obs:  $\vec{N} + \vec{P}$   
deve ser  
paralelo a  $\vec{a}$ .

1.6.2

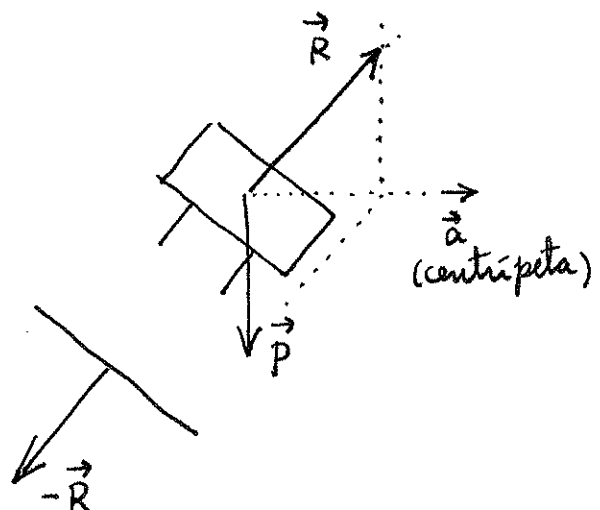


$\vec{T}$  é a força  
do cabo sobre  
a esfera.

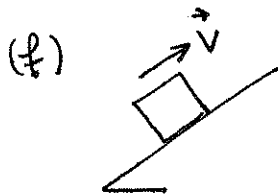
$\vec{a}$  é a aceleração  
(centrípeta)



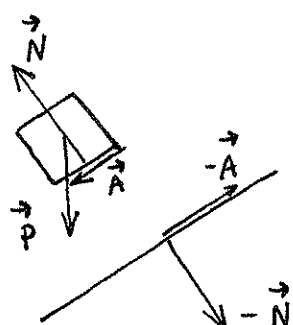
→  
Sem  
atributo



$\vec{R}$  = reação "líquida"  
do solo. Você pode  
fazer uma figura  
melhor?

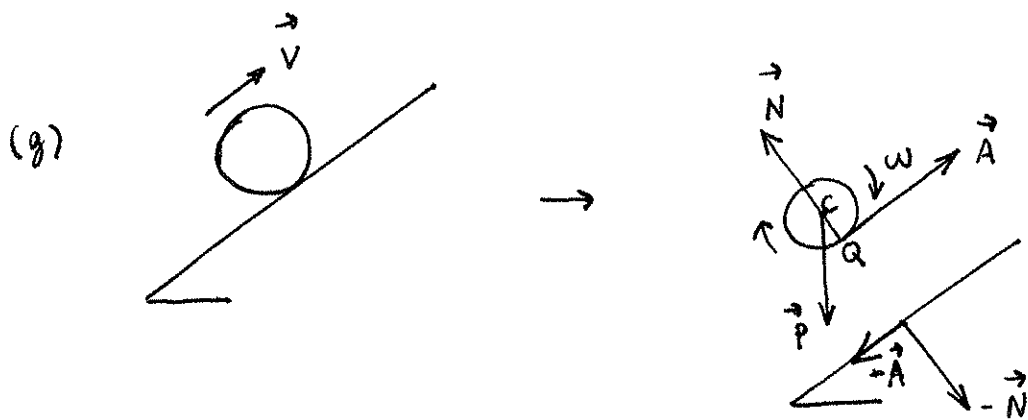


→  
Com  
atributo

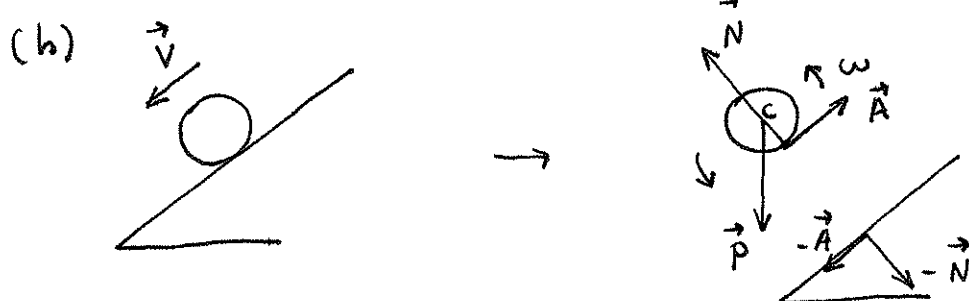


Esperamos um atrito  
cinético  $\vec{A}$  como esboçado,  
oposto a  $\vec{v}$ .

1.6.3



O ponto Q da roda tem sempre, quando em contato com o plano, velocidade nula.  $\vec{A}$  é portanto um atrito estático, e deve produzir um torque que diminui  $\omega$ .



O torque de  $\vec{A}$  em relação a C deve agora aumentar  $\omega$ .

Primeiramente, é preciso colocar com clareza que, estritamente falando, não existem leis de conservação em mecânica para uma única partícula. Algo sobre outras partículas ou "condições externas" deve sempre ser levado em conta, mesmo que na aparência estejamos falando de apenas uma partícula.

1) Conservação do momento linear  $\vec{p} = m\vec{v}$  de uma partícula.

Essa lei exige o isolamento da partícula ou uma distância muito grande de um eventual sistema externo de partículas. Nesse caso a força resultante

$\vec{F}$  sobre a partícula se anula. Então, se

$$\vec{F} = m\vec{a} = m \frac{d\vec{v}}{dt} = \frac{d(m\vec{v})}{dt} = \frac{d\vec{p}}{dt} = \dot{\vec{p}},$$

$\vec{F} = \vec{0}$  implicará

$$\frac{d\vec{p}}{dt} = \vec{0} \Rightarrow \vec{p} = \overrightarrow{\text{constante}} \text{ (vetor constante).}$$

Nesse caso, em coordenadas cartesianas, temos

$$\vec{p} = (p_x, p_y, p_z) = \overrightarrow{\text{constante}} = (c_x, c_y, c_z) \text{ se}$$

$$p_x = c_x = \text{constante}, \quad p_y = c_y = \text{constante}, \quad p_z = c_z = \text{constante}.$$

É muito raro o caso em que possamos dar um exemplo que se aproxime da condição acima. Uma nave espacial, longe de qualquer planeta e com motores desligados poderia, aproximadamente, represen-

Tar um exemplo.

Um exemplo, um pouco mais próximo, poderia ser dado por duas partículas suficientemente isoladas de influências de arredores.

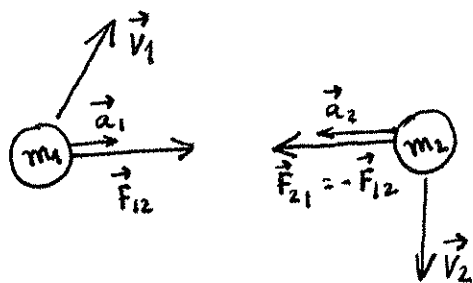


fig 1:  $\vec{F}_{21} = -\vec{F}_{12}$  (terceira lei).

$\vec{a}_1 \neq -\vec{a}_2$  (massas distintas)

naturalmente,

agora não se pode mais falar em uma partícula única (figura ao lado).

Uma aplicação aproximada para essa situação seria duas bolas de bilhar numa mesa de jogo, se considerarmos as "forças normais" aplicadas pela mesa eliminadas pelos pesos das bolas, tomando o movimento como aproximadamente bidimensional no plano da mesa.

Na figura 1,  $\vec{F}_{12}$  é a força sobre a partícula 1 (massa  $m_1$ ) devida à sua "colisão" (interação) com a partícula 2.  $\vec{F}_{21}$ , pela mesma convenção, é a força sobre a partícula 2 devida à sua interação com a partícula 1. No caso de bolas de bilhar,  $\vec{F}_{12}$  e  $\vec{F}_{21}$  só aparecem caso haja contato entre 1 e 2, numa colisão. Porém,  $m_1$  e  $m_2$  poderiam ser as massas de um planeta

1.7.9

Acontece que como  $\vec{A} \cdot \vec{B} = \vec{B} \cdot \vec{A}$  temos  $d\vec{V} \cdot \vec{v} = \vec{v} \cdot d\vec{V}$ , e

$$\vec{v} \cdot d\vec{V} = (v_x, v_y, v_z) \cdot (dv_x, dv_y, dv_z)$$

$$= v_x dv_x + v_y dv_y + v_z dv_z \quad \textcircled{9}$$

Voltando agora com \textcircled{9} a \textcircled{8} temos

$$\begin{aligned} \int_i^f \vec{F} \cdot d\vec{r} &= m \int_i^f d\vec{V} \cdot \vec{v} = m \int_i^f \vec{v} \cdot d\vec{V} = m \int_i^f v_x dv_x + v_y dv_y + v_z dv_z \\ &= m \left[ \int_i^f v_x dv_x + \int_i^f v_y dv_y + \int_i^f v_z dv_z \right] \\ &= \underbrace{\frac{m}{2} (v_x^2 + v_y^2 + v_z^2)}_{v^2} \Big|_i^f = \frac{m}{2} v_f^2 - \frac{m}{2} v_i^2 = T_f - T_i \quad \textcircled{10}. \end{aligned}$$

$$v_x^2 + v_y^2 + v_z^2 = |\vec{v}|^2 = v^2 = \vec{v}^2$$

Observe que \textcircled{10} e \textcircled{7} se equivalem:

$$\int_i^f \vec{F} \cdot d\vec{r} = T_f - T_i = v_i - v_f \Rightarrow v_f + T_f = v_i + T_i = E = \underline{\text{const.}}$$

Note que  $\int_i^f \vec{F} \cdot d\vec{r} = T_f - T_i = \Delta T$  (trabalho da força resultante = variações da energia cinética) é uma relação geral, dependente apenas da 2ª lei de Newton, enquanto que  $\int_i^f \vec{F} \cdot d\vec{r} = v_i - v_f = -\Delta v = -(v_f - v_i)$  só é válida se a força for conservativa.

3) Conservação do momento angular. Por definição, o momento angular de uma partícula é

$$\vec{L} = \vec{r} \times \vec{p} = \vec{r} \times (m\vec{v}).$$

d) Atrito. Nesse caso não é possível definir uma função energia potencial  $U$ . Então o atrito não é uma força conservativa.

Observe agora:

| Apenas se a força é conservativa ( $\vec{F} = -\vec{\nabla}U$ ) a |  
| energia  $E = T + U$  se conserva. |

Vamos agora provar. Se, como abaixo, tomarmos uma

trajetória de uma partícula,  
do ponto  $i$  (inicial) ao

ponto  $f$  (final) e se  $\vec{F} = -\vec{\nabla}U$ ,  
o trabalho de  $\vec{F}$  de  $i$  a  $f$ ,

subdividindo-se a trajetória

num número indefinidamente

grande de deslocamentos  $d\vec{r}$ , é

$$\begin{aligned} W_F &= \int_i^f \vec{F} \cdot d\vec{r} = \int_i^f -\vec{\nabla}U \cdot d\vec{r} = \int_i^f \underbrace{\left(-\frac{\partial U}{\partial x}, -\frac{\partial U}{\partial y}, -\frac{\partial U}{\partial z}\right)}_{d\vec{r} \text{ em componentes}} \cdot (dx, dy, dz) \\ &= \int_i^f -\frac{\partial U}{\partial x} dx - \frac{\partial U}{\partial y} dy - \frac{\partial U}{\partial z} dz = - \int_i^f \underbrace{\frac{\partial U}{\partial x} dx + \frac{\partial U}{\partial y} dy + \frac{\partial U}{\partial z} dz}_{dU \text{ por cálculo}} \\ &= - \int_i^f dU = - [U_f - U_i] \\ &= U_i - U_f \quad \textcircled{7} \end{aligned}$$

Por outro lado, sendo  $\vec{F}$  a única força sobre  $m$ ,

$$\int_i^f \vec{F} \cdot d\vec{r} = \int_i^f m \frac{d\vec{v}}{dt} \cdot d\vec{r} = \int_i^f m d\vec{v} \cdot \frac{d\vec{r}}{dt} = m \int_i^f d\vec{v} \cdot \vec{v} \quad \textcircled{8}.$$

$\downarrow$  2º lei de  
newton       $\nwarrow$  troco dt de  
lugar

1.7.7

Observe que em ⑥ aparece o vetor  $(\frac{x}{r}, \frac{y}{r}, \frac{z}{r})$  que é equivalente a  $\hat{r}$  por ①:

$$\left(\frac{x}{r}, \frac{y}{r}, \frac{z}{r}\right) = \left(\frac{1}{r}\right)(x, y, z) = \left(\frac{1}{r}\right) \vec{r} = \frac{\vec{r}}{r} = \hat{r}.$$

Por isso reescrevemos ⑥ na forma

$$-\vec{\nabla}V = -\frac{GMm}{r^2} \hat{r} = \frac{GMm}{r^2} (-\hat{r})$$

correspondendo perfeitamente à lei universal de gravitação, em que o vetor  $-\hat{r}$  faz com que a força sobre  $m$  seja de atração a  $M$ . Note que a "reação" sobre  $M$ ,  $-\vec{F}$ , é  $\frac{GMm}{r^2} \hat{r}$ , também de atração.

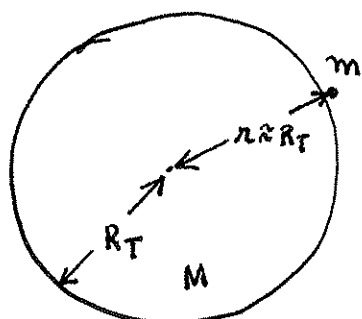
Como exemplo, note na figura

fig 5

ao lado que se  $M$  é a massa da Terra e que se  $m$  é muito perto à superfície da Terra,

$$F = |\vec{F}| \equiv \frac{GMm}{R_T^2} = m \left( \frac{GM}{R_T^2} \right).$$

igualdade aproximada



$$M = 5 \cdot 98 \times 10^{24} \text{ kg}$$

$$R_T = 6.37 \times 10^6 \text{ m}$$

(raio da Terra)

Substituindo os valores dados, você pode mostrar que

$\frac{GM}{R_T^2} \approx 9,8 \text{ m/s}^2 = g$ , implicando que a força gravitacional (peso) sobre um corpo nas proximidades da Terra tem módulo  $P = |\vec{F}| = mg$ , como esperado.

1.7.6

e que  $\left| \frac{\vec{r}}{r} \right| = \frac{|\vec{r}|}{r} = 1$ , escrevemos simplesmente

$$\hat{r} = \frac{\vec{r}}{r} \quad ①$$

Neste caso,  $\vec{F} = \text{força gravitacional} = -\vec{\nabla}V$  se

$$V = -G \frac{Mm}{r}, \text{ com } G = 6.67 \times 10^{-11} \frac{N \cdot m^2}{kg^2}$$

= constante gravitacional universal.

Prova:

$$-\vec{\nabla}V = \left( -\frac{\partial V}{\partial x}, -\frac{\partial V}{\partial y}, -\frac{\partial V}{\partial z} \right)$$

$$= \left( GMm \frac{\partial}{\partial x} \left( \frac{1}{r} \right), GMm \frac{\partial}{\partial y} \left( \frac{1}{r} \right), GMm \frac{\partial}{\partial z} \left( \frac{1}{r} \right) \right) ②$$

Como  $r = \sqrt{x^2 + y^2 + z^2}$  ( $\vec{r} = (x, y, z)$  = posição de m) teremos

$$GMm \frac{\partial}{\partial x} \left( \frac{1}{r} \right) = GMm \frac{\partial}{\partial x} (x^2 + y^2 + z^2)^{-1/2}$$

$$= -GMm \frac{1}{2} (x^2 + y^2 + z^2)^{-3/2} (2x)$$

$$= -GMm \underbrace{\left[ (x^2 + y^2 + z^2)^{-1/2} \right]^3}_{\frac{1}{r^3}} x = -GMm \frac{x}{r^3} \quad ③$$

e, da mesma forma,

$$GMm \frac{\partial}{\partial y} \left( \frac{1}{r} \right) = -GMm \frac{y}{r^3} \quad ④ \quad \text{e} \quad GMm \frac{\partial}{\partial z} \left( \frac{1}{r} \right) = -GMm \frac{z}{r^3} \quad ⑤.$$

Voltando com ③, ④ e ⑤ para ② teremos

$$-\vec{\nabla}V = -GMm \left( \frac{x}{r^3}, \frac{y}{r^3}, \frac{z}{r^3} \right) = -\frac{GMm}{r^2} \left( \frac{x}{r}, \frac{y}{r}, \frac{z}{r} \right) \quad ⑥.$$

4.7.5

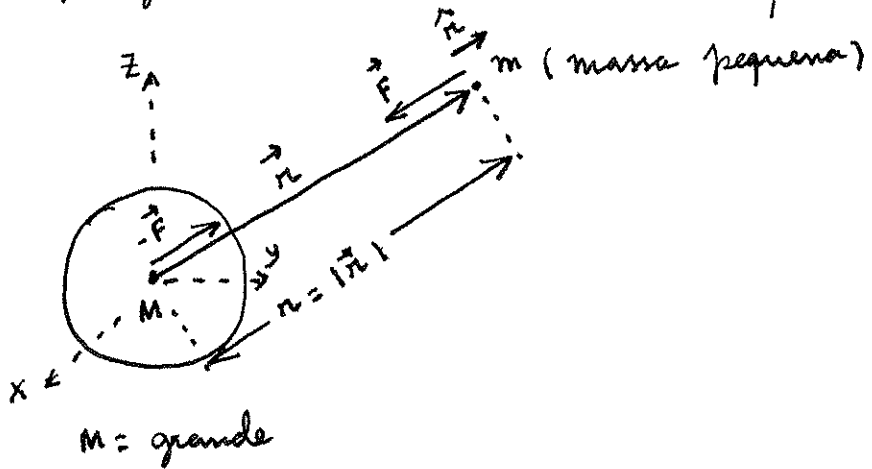
Estamos tomando a origem como ponto no qual  $\vec{F} = \vec{0}$ .

Provaremos agora a afirmação anterior:

$$\begin{aligned} -\vec{\nabla} V &= \left( -\frac{\partial V}{\partial x}, -\frac{\partial V}{\partial y}, -\frac{\partial V}{\partial z} \right) = \left( -\frac{\partial}{\partial x} \left( \frac{1}{2} Kx^2 \right), -\frac{\partial}{\partial y} \left( \frac{1}{2} Kx^2 \right), \right. \\ &\quad \left. -\frac{\partial}{\partial z} \left( \frac{1}{2} Kx^2 \right) \right) \\ &= (-Kx, 0, 0) \\ &= -Kx \underbrace{(1, 0, 0)}_{\vec{i}} = -Kx \vec{i}. \end{aligned}$$

Note que neste caso, se os movimentos estão mesmo restritos à dimensão  $x$ , seria suficiente escrever  $F = -\frac{dV}{dx} = -Kx$ , estando implícito que a força está sobre o eixo  $x$ .

c) gravidade no sentido um pouco mais geral (figura 4)



$M$ : grande

massa, praticamente  
imóvel.

fig 4

Na figura ao lado  $\hat{n}$  é um vetor unitário, isto é, tal que  $|\hat{n}| = 1$ ,

paralelo ao vetor posição  $\vec{r}$  da massa  $m$  em relação ao centro da massa  $M$ .

Como  $\frac{\vec{r}}{r} = \left(\frac{1}{r}\right)\vec{r}$  tem

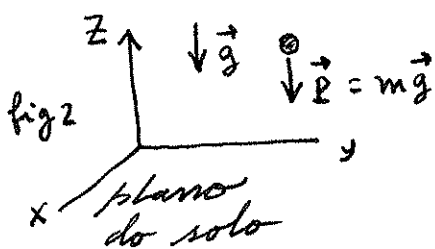
direção e sentido de  $\vec{r}$ , já que  $\frac{1}{r}$  é escalar,

Primeiramente, vamos definir a energia potencial  $U$  de uma partícula (sob a ação de um agente externo) da seguinte forma:

| Se existe uma energia potencial  $U$ , a força do |  
| agente externo sobre a partícula é |  
 $\vec{F} = -\vec{\nabla} U$

Nota: a força tal que  $\vec{F} = -\vec{\nabla} U$  é chamada de conservativa.

Exemplos: a) gravidade nas proximidades do solo (figura 2)



A força peso pode ser obtida por  
 $\vec{F} = \vec{P} = -\vec{\nabla} U$  se  $U = mgz$ .

Prova:

$$\begin{aligned} -\vec{\nabla} U &= \left( -\frac{\partial U}{\partial x}, -\frac{\partial U}{\partial y}, -\frac{\partial U}{\partial z} \right) = \left( -\frac{\partial}{\partial x}(mgz), -\frac{\partial}{\partial y}(mgz), \right. \\ &\quad \left. -\frac{\partial}{\partial z}(mgz) \right) \end{aligned}$$

$$= (0, 0, -mg)$$

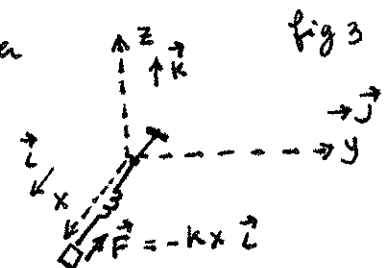
$$= m(0, 0, -g) = m\vec{g} = \vec{P}.$$

$\hookrightarrow \vec{g} = (0, 0, -g)$

Então a força peso  $\vec{P}$  é conservativa.

b) força elástica devida a uma mola (fig 3).

$$\text{Nesse caso } \vec{F} = -\vec{\nabla} U \text{ se } U = \frac{1}{2}kx^2.$$



1.7.3

e um satélite, suficientemente afastados de outros corpos celestes. De fato, estamos exigindo o isolamento do sistema 1+2, o que faz com que  $\vec{F}_{12}$  seja a única força sobre 1 e  $\vec{F}_{21}$  a única força sobre 2. Essas são então forças resultantes, respectivamente, sobre 1 e 2, razão pela qual escrevemos

$$\vec{F}_{12} = m_1 \frac{d\vec{v}_1}{dt} = \frac{d(m_1 \vec{v}_1)}{dt} = \frac{d\vec{p}_1}{dt} \quad ①$$

$$\text{e} \quad \vec{F}_{21} = m_2 \frac{d\vec{v}_2}{dt} = \frac{d(m_2 \vec{v}_2)}{dt} = \frac{d\vec{p}_2}{dt} \quad ②.$$

Como, pela terceira lei de Newton ("ação - reação")

$$\vec{F}_{21} = -\vec{F}_{12},$$

② é reescrita como

$$\vec{F}_{21} = -\vec{F}_{12} = \frac{d\vec{p}_2}{dt} \quad ③$$

Podemos agora "somar" ① e ③:

$$\vec{F}_{12} + \vec{F}_{21} = \vec{F}_{12} + (-\vec{F}_{12}) = \vec{0} = \frac{d\vec{p}_1}{dt} + \frac{d\vec{p}_2}{dt}.$$

Então

$$\frac{d}{dt}(\vec{p}_1 + \vec{p}_2) = \vec{0} \Rightarrow \vec{P} = \text{momento linear total ou do sistema } 1+2 = \overrightarrow{\text{constante}}$$

sob quaisquer condições de movimento (leis específicas sobre  $\vec{F}_{12}$  e condições iniciais).

2) Conservação da energia  $E = T + U$ , sendo  $T$  a energia cinética e  $U$  a potencial de uma partícula.

1.7.10

Temos

$$\begin{aligned}\frac{d\vec{L}}{dt} &= \frac{d}{dt} (\vec{r} \times \vec{p}) = \frac{d\vec{r}}{dt} \times \vec{p} + \vec{r} \times \frac{d\vec{p}}{dt} \\ &= \vec{v} \times (\vec{m}\vec{v}) + \vec{r} \times \vec{F} \quad \textcircled{1},\end{aligned}$$

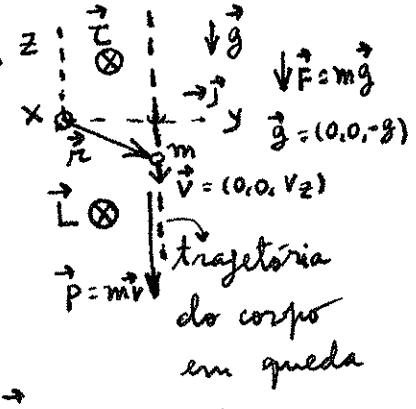
sendo  $\vec{F}$  a força resultante. Diz-se que  $\vec{v} \times (\vec{m}\vec{v}) = \vec{m}\vec{v} \times \vec{v} = \vec{0}$ , porque para qualquer vetor  $\vec{A}$ ,

$$\vec{A} \times \vec{A} = \begin{vmatrix} \vec{i} & \vec{j} & \vec{k} \\ A_x & A_y & A_z \\ A_x & A_y & A_z \end{vmatrix} = 0\vec{i} + 0\vec{j} + 0\vec{k} = \vec{0}.$$

Então, voltando a  $\textcircled{1}$ ,

$$\frac{d\vec{L}}{dt} = \vec{r} \times \vec{F} = \vec{\tau} = \text{torque da força resultante} \quad \textcircled{2}.$$

Apenas para aprender que  $\textcircled{2}$  é só uma forma de reescrever a 2ª lei de Newton. Vamos aplicá-la ao caso ao lado, da queda livre de um corpo restrito ao eixo Z.



Temos

$$\vec{\tau} = \vec{r} \times \vec{p} = \begin{vmatrix} \vec{i} & \vec{j} & \vec{k} \\ 0 & y & z \\ 0 & 0 & mv_z \end{vmatrix} = ymv_z \vec{i}.$$

Como y é constante,  $\frac{d\vec{\tau}}{dt} = ymv_z \vec{i} \quad \textcircled{2}$

$$= \frac{d}{dt} (ymv_z \vec{i})$$

fig: eixo x "para fora" do papel e  $\vec{i}$  "para dentro".

1.7.11

Por outro lado, o torque é

$$\vec{\tau} = \vec{r} \times \vec{F} = \begin{vmatrix} \hat{z} & \hat{j} & \hat{k} \\ 0 & y & z \\ 0 & 0 & -mg \end{vmatrix} = -myg \quad (b)$$

$\underbrace{\phantom{000}}$

$$\vec{F} = m\vec{g} = m(0, 0, -g) = (0, 0, -mg)$$

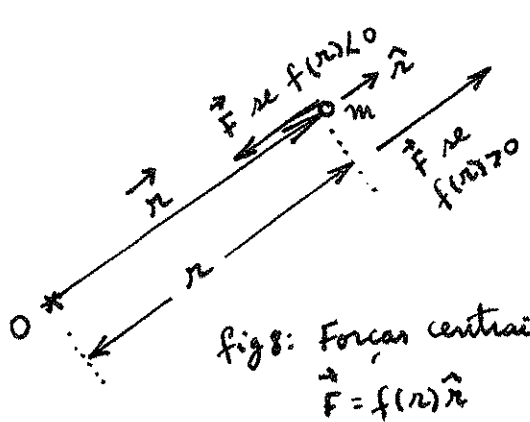
Equacionando (a) e (b) segundo (2) temos

$$-myg = ym \frac{dv_z}{dt} \Rightarrow m \frac{dv_z}{dt} = -mg \quad (\text{2a lei}),$$

ou simplesmente  $\frac{dv_z}{dt} = -g$ , de onde por integração

$$v_z = v_0 - gt \quad \text{e}, \quad \text{por } v_z = \frac{dz}{dt}, \quad z = z_0 + v_0 t - \frac{g}{2} t^2, \text{ como sabemos.}$$

Examinemos agora a seguinte situação. Suponhamos



que a força  $\vec{F}$  seja central (figura ao lado). Um exemplo é a força gravitacional (figura 4). Nesse caso,

$$\vec{\tau} = \vec{r} \times \vec{F} = \vec{r} \times f(r)\hat{r} = \vec{r} \times f(r) \frac{\hat{r}}{r} = \frac{f(r)}{r} \vec{r} \times \vec{r} = \vec{0} \quad (3)$$

$\underbrace{\phantom{000}}$

$$\vec{r} \times \vec{r} = 0.$$

Então, voltando com (3) em (2) temos  $\frac{d\vec{L}}{dt} = \vec{0} \Rightarrow \vec{L} = \text{constante.}$

1.7.12

Como aplicações, consideremos, como ao lado, o movimento de um satélite ao redor de um planeta, ou o de um planeta ao redor do Sol. A massa maior,  $M$ , é considerada aproximadamente fixa. Sabendo-se (por uma das leis de Kepler) que a trajetória é elíptica e portanto contida num plano, o momento angular  $\vec{L}$ , sendo fixo, termina por implicar

$$m \vec{V} \times \vec{r} = m \vec{v} \times \vec{R} \Rightarrow \vec{V} \times \vec{r} = \vec{v} \times \vec{R},$$

significando que  $\vec{V} > \vec{v}$ . Por que, na figura 9,  $\vec{L}$  tem a direção e o sentido indicados?

Notas: i) Assim como o trabalho de uma força  $\vec{F}$  é  $W_F = \int_i^f \vec{F} \cdot d\vec{r}$ , o impulso de  $\vec{F}$  é definido por

$$\vec{I}_F = \int_i^f \vec{F} dt \quad (\text{integração temporal de } \vec{F}).$$

Se  $\vec{F}$  é a força resultante temos

$$\vec{I}_F = \int_i^f \vec{F} dt = \int_i^f \frac{d\vec{P}}{dt} dt = \int_i^f d\vec{P} = \vec{P}_f - \vec{P}_i \\ = \Delta \vec{P},$$

ou seja, o impulso da força resultante é a variação do momento da partícula. Se a partícula estiver

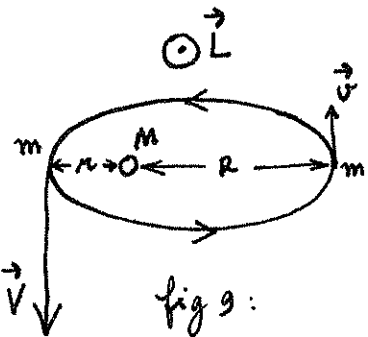


fig 9:

$$V = |\vec{V}|, v = |\vec{v}|$$

1.7.13

isolada no espaço,  $\vec{F} = \vec{0}$  e, portanto  $\vec{I}_F = \vec{0} = \Delta \vec{P}$ , o que implica  $\vec{p}$  constante.

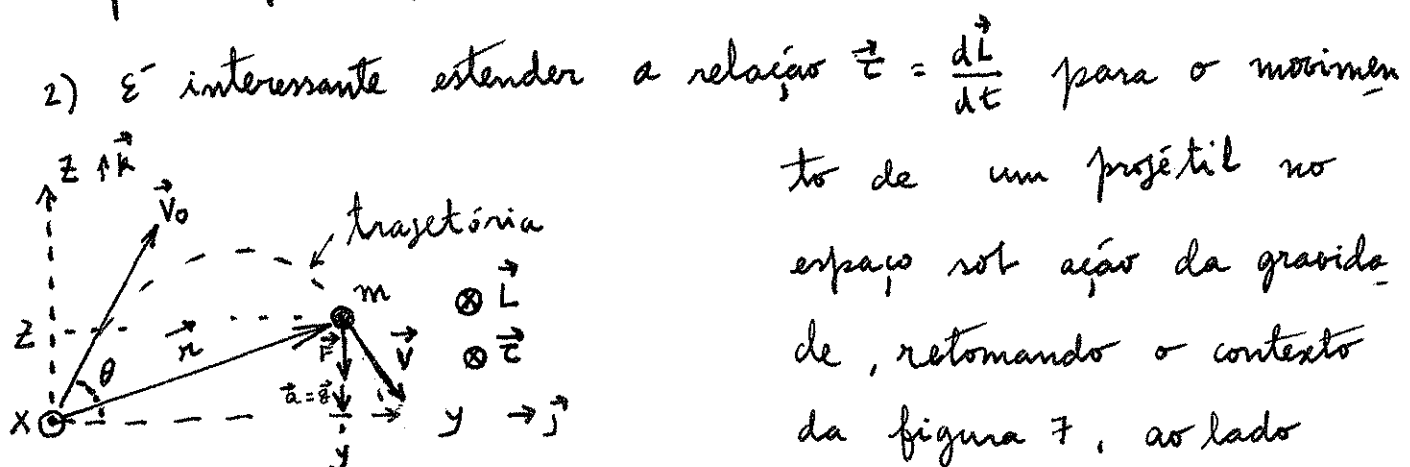


fig 10: lançamento de um projétil a uma velocidade  $\vec{v}_0$ , da origem.  $\vec{F} = (0, 0, -mg) = m\vec{g}$

$$v_x = 0 \text{ (movimento no plano } yz)$$

é interessante estender a relação  $\vec{t} = \frac{d\vec{L}}{dt}$  para o movimento de um projétil no espaço sob ação da gravidade, retomando o contexto da figura 7, ao lado

(fig 10), permitindo-se agora o movimento de m no plano. Acompanham do a figura, temos

$$\vec{n} = (0, y, z) = y\vec{j} + z\vec{k}$$

I, portanto,  $\vec{v} = \frac{d\vec{r}}{dt} = (0, \frac{dy}{dt}, \frac{dz}{dt}) = \frac{dy}{dt}\vec{j} + \frac{dz}{dt}\vec{k}$   
 $= v_y\vec{j} + v_z\vec{k}$ . Temos

$$\vec{t} = \vec{n} \times \vec{F} = \begin{vmatrix} \vec{i} & \vec{j} & \vec{k} \\ 0 & y & z \\ 0 & 0 & -mg \end{vmatrix} = -mg y \vec{i} \quad ①$$

$$\vec{L} = \vec{n} \times (m\vec{v}) = \begin{vmatrix} \vec{i} & \vec{j} & \vec{k} \\ 0 & y & z \\ 0 & mv_y & mv_z \end{vmatrix} = (mv_z - mzv_y)\vec{i} \quad ②$$

Se tomarmos y e z como variáveis no tempo, como devemos. e se considerarmos  $v_z$  e  $v_y$  também como variáveis, teremos

1.7.14

$$\begin{aligned}\dot{\vec{L}} &= \frac{d\vec{L}}{dt} = \left( m \underbrace{\frac{dy}{dt} v_z + my \frac{dv_z}{dt}}_{\vec{v}_y} - m \underbrace{\frac{dz}{dt} v_y - mz \frac{dv_y}{dt}}_{\vec{v}_z} \right) \vec{i} \\ &= \left( my \frac{dv_z}{dt} - mz \frac{dv_y}{dt} \right) \vec{i} \quad (3).\end{aligned}$$

Equacionando (1) e (3) segundo  $\vec{r} = \frac{d\vec{L}}{dt}$  temos

$$-mg y \vec{i} = \left( my \frac{dv_z}{dt} - mz \frac{dv_y}{dt} \right) \vec{i} \Rightarrow gy = y \frac{dv_z}{dt} - z \frac{dv_y}{dt} \quad (4)$$

Observe que, aparentemente, a equação (4) é insuficiente para a análise do movimento. A equação de Newton  $\vec{F} = m\vec{a} = \left( m \frac{dV_x}{dt}, m \frac{dV_y}{dt}, m \frac{dV_z}{dt} \right) = (0, m \frac{dv_y}{dt}, m \frac{dv_z}{dt})$  não dá uma expressão completa do movimento, porque com  $\vec{F} = (0, 0, -mg)$  temos

$$m \frac{dV_x}{dt} = 0 = 0 \quad (5) \text{ (compatível com } V_x = 0 \text{, como imposto),}$$

$$m \frac{dV_y}{dt} = 0 \Rightarrow \frac{dV_y}{dt} = 0 \Rightarrow V_y = \text{constante} = V_0 \cos \theta \quad (6),$$

$$m \frac{dV_z}{dt} = -mg \Rightarrow \frac{dV_z}{dt} = -g \Rightarrow V_z = V_0 \sin \theta - gt \quad (7).$$

Observe que (6) torna (4) equivalente a (7). Como exercício, mostre que (6) e (7) implicam  $V_y = \frac{dy}{dt} = V_0 \cos \theta \Rightarrow y = \int_0^t V_0 \cos \theta dt$   
 $\Rightarrow y = (V_0 \cos \theta)t$ ,  $\frac{dz}{dt} = V_0 \sin \theta - gt \Rightarrow z = V_0 \sin \theta t - \frac{1}{2}gt^2$   
e, por eliminação de  $t$ ,  $z = \tan \theta y - \frac{1}{2}g \frac{y^2}{V_0^2 \cos^2 \theta}$ , nos dando uma trajetória parabólica. Que resultados teríamos se fosse levantada a restrição inicial para  $\vec{r}$  no plano?

1.8.1

Para abordar um sistema de  $n$  partículas nós vamos primeiramente fixar algumas notações, em conformidade com o livro (capítulo 9).

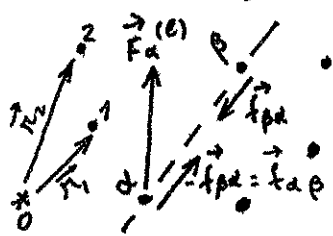


fig 1

A figura 1, ao lado, com  $n=9$  (9 partículas), esquematiza um caso de sistema de partículas. Usamos as letras gregas minúsculas  $\alpha, \beta, \delta$ , etc para representar o índice de contagem de partículas.

Por exemplo, dada a origem 0,

a soma vetorial das posições das 9 partículas é o vetor

$$\sum_{\alpha} \vec{r}_{\alpha} = \sum_{\alpha=1}^n \vec{r}_{\alpha} = \sum_{\alpha=1}^{n=9} \vec{r}_{\alpha} = \vec{r}_1 + \vec{r}_2 + \vec{r}_3 + \dots + \vec{r}_8 + \vec{r}_9.$$

Foram destacadas na figura 1 duas partículas,  $\alpha$  e  $\beta$ .

$\vec{f}_{\alpha\beta}$  = força sobre a partícula  $\alpha$  devida à interação com a partícula  $\beta$ .

A terceira lei de Newton exige

$$\vec{f}_{\alpha\beta} = -\vec{f}_{\beta\alpha} \quad (1).$$

Uma imposição adicional vai ser feita:  $\vec{f}_{\alpha\beta}$  age na direção da linha que une  $\alpha$  e  $\beta$  (figura ao lado).

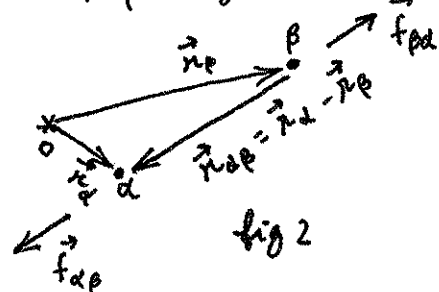


fig 2

Na figura 2,  $\vec{f}_{\alpha\beta}$ , reinterpretando o que foi dito acima, é um vetor paralelo a  $\vec{r}_{\alpha\beta}$ . Ora, dois vetores  $\vec{A}$  e

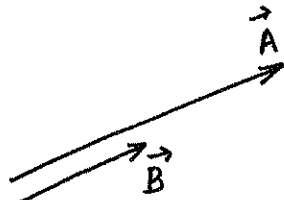


fig 3

$\vec{B}$  são paralelos se  $\vec{A} \times \vec{B} = \vec{0}$  (figura ao lado). Então, se  $\vec{f}_{\alpha\beta}$  age na direção que une  $\alpha$  e  $\beta$  teremos

$$\vec{r}_{\alpha\beta} \times \vec{f}_{\alpha\beta} = (\vec{r}_\alpha - \vec{r}_\beta) \times \vec{f}_{\alpha\beta} = \vec{0} \quad (2)$$

Com essas observações iniciais, podemos começar.

1) Momento linear do sistema e sua conservação.

$$\vec{P} = \sum_{\alpha} \vec{p}_{\alpha} = \sum_{\alpha} m_{\alpha} \vec{v}_{\alpha} = \text{momento total} \\ = \text{soma dos momentos.}$$

$$\frac{d\vec{P}}{dt} = \sum_{\alpha} m_{\alpha} \ddot{\vec{r}}_{\alpha} = \frac{d^2}{dt^2} \left( \sum_{\alpha} m_{\alpha} \vec{r}_{\alpha} \right) \quad (3)$$

Temos  $m_{\alpha} \ddot{\vec{r}}_{\alpha} = m_{\alpha} \frac{d\vec{v}_{\alpha}}{dt} = \vec{F}_{\alpha}$  = força resultante em  $\alpha$ .

$$\text{Ocorre que } \vec{F}_{\alpha} = \underbrace{\vec{F}_{\alpha}^{(e)}}_{\substack{\text{força em } \alpha \\ \text{devida a} \\ \text{corpos} \underline{\text{externos}} \\ \text{ao sistema}}} + \underbrace{\sum_{\beta \neq \alpha} \vec{f}_{\alpha\beta}}_{\substack{\text{força em } \alpha \text{ devida a } \beta \text{ (a} \\ \text{todos os } \beta \text{ diferentes} \\ \text{da própria partícula} \\ \alpha\text{)}}} \quad (4)$$

Colocando (4) em (3) temos

$$\begin{aligned}
 \frac{d\vec{P}}{dt} &= \sum_{\alpha} \vec{F}_{\alpha} \\
 &= \sum_{\alpha} \left( \vec{F}_{\alpha}^{(e)} + \sum_{\beta \neq \alpha} \vec{f}_{\alpha\beta} \right) \\
 &= \underbrace{\sum_{\alpha} \vec{F}_{\alpha}^{(e)}}_{\text{soma das forças externas sobre o sistema}} + \underbrace{\sum_{\alpha} \left( \sum_{\beta \neq \alpha} \vec{f}_{\alpha\beta} \right)}_{\text{soma das forças internas ao sistema.}} \quad ⑤ \\
 &= \vec{F}^{(e)}
 \end{aligned}$$

Para investigar a soma das forças internas, fagamos um exemplo explícito: Consideremos um sistema com 4 partículas ( $n=4$ ). Nesse caso

$$\begin{aligned}
 \sum_{\alpha} \left( \sum_{\beta \neq \alpha} \vec{f}_{\alpha\beta} \right) &= \sum_{\alpha=1}^{n=4} \left( \sum_{\beta \neq \alpha} \vec{f}_{\alpha\beta} \right) \\
 &= \sum_{\beta \neq 1} \vec{f}_{1\beta} + \sum_{\beta \neq 2} \vec{f}_{2\beta} + \sum_{\beta \neq 3} \vec{f}_{3\beta} + \sum_{\beta \neq 4} \vec{f}_{4\beta} \\
 &= (\vec{f}_{12} + \vec{f}_{13} + \vec{f}_{14}) \quad (\text{soma 1}) \\
 &\quad + (\vec{f}_{21} + \vec{f}_{23} + \vec{f}_{24}) \quad (\text{soma 2}) \\
 &\quad + (\vec{f}_{31} + \vec{f}_{32} + \vec{f}_{34}) \quad (\text{soma 3}) \\
 &\quad + (\vec{f}_{41} + \vec{f}_{42} + \vec{f}_{43}) \quad (\text{soma 4}) \\
 &= (\vec{f}_{12} + \vec{f}_{13} + \vec{f}_{14}) \\
 &\quad + (-\vec{f}_{12} + \vec{f}_{23} + \vec{f}_{24}) \\
 &\quad + (-\vec{f}_{13} - \vec{f}_{23} + \vec{f}_{34}) \\
 &\quad + (-\vec{f}_{14} - \vec{f}_{42} - \vec{f}_{34}) = \vec{0} \quad ⑥
 \end{aligned}$$

"leis de ação e reação"  
 $\vec{f}_{\alpha\beta} = -\vec{f}_{\beta\alpha}$

1.8.4

Isto significa que a soma das forças internas é nula!

Então colando ⑥ em ⑤ temos

$$\frac{d\vec{P}}{dt} = \vec{F}^{(e)} = \sum_{\alpha} \vec{F}_{\alpha}^{(e)} \quad ⑦$$

tasa de variação do momento total      soma das forças externas sobre o sistema (força externa total)

Note que o livro oferece uma alternativa para a expressão da soma de forças internas que torna a apresentação da questão mais compacta:

$$\sum_{\alpha} \left( \sum_{\beta \neq \alpha} \vec{f}_{\alpha\beta} \right) = \sum_{\alpha, \beta \neq \alpha} \vec{f}_{\alpha\beta} = \sum_{\alpha < \beta} (\vec{f}_{\alpha\beta} + \vec{f}_{\beta\alpha}) .$$

notações que apenas representa de outra forma a mesma soma:  
 soma para todos os  $\alpha$  e  $\beta$  diferentes de  $\alpha$

notações que representam a soma para todos os  $\alpha$  e  $\beta$  sujeitos à condição  $\beta > \alpha$ .

Prove que a linha acima alcança o resultado correto explicitamente, tomando o exemplo de nosso sistema de  $n=4$  partículas.

Voltaremos agora para a expressão ③, inserindo nela o resultado ⑦. Temos

1.8.5

$$\frac{d\vec{P}}{dt} = \vec{F}^{(e)} = \frac{d^2}{dt^2} \left( \sum_{\alpha} m_{\alpha} \vec{r}_{\alpha} \right) \quad (8).$$

Se definirmos  $\vec{R} = \text{posição do centro de massa}$  por

$$\vec{R} = \frac{\sum_{\alpha} m_{\alpha} \vec{r}_{\alpha}}{\sum_{\alpha} m_{\alpha}} = \frac{\sum_{\alpha} m_{\alpha} \vec{r}_{\alpha}}{M} \quad (9),$$

sendo  $M = \sum_{\alpha} m_{\alpha}$  = massa total do sistema, podemos escrever

$$\sum_{\alpha} m_{\alpha} \vec{r}_{\alpha} = M \vec{R} \quad (10).$$

Inserindo (10) em (8) temos

$$\frac{d\vec{P}}{dt} = \vec{F}^{(e)} = \frac{d^2}{dt^2} (M \vec{R}) = M \ddot{\vec{R}} \quad (11).$$

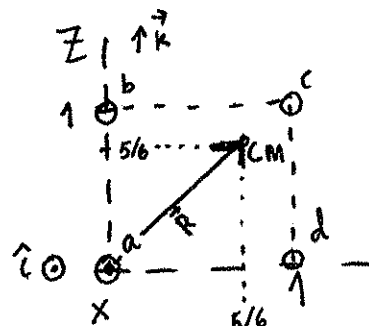
A relação (11) expressa duas coisas importantes:

- Se é nula a força externa total (sistema isolado ou "externamente equilibrado") o momento total  $\vec{P} = \sum_{\alpha} m_{\alpha} \vec{v}_{\alpha}$  é constante e  $\vec{R} = \vec{0} \Rightarrow \dot{\vec{R}} = \vec{v}_{CM} = \overrightarrow{v_{CM}}$  = velocidade do centro de massas = constante.

- A força externa total é igual à massa total "vezes" a aceleração do centro de massas  $\ddot{\vec{R}} = \vec{v}_{CM} = \vec{a}_{CM}$

1.8.6

Nota: exemplos para  $\vec{R}$  (figura abaixo)



(p/fora

do papel)

$$m_a = 1 \text{ kg} \quad m_c = 8 \text{ kg} \quad \vec{r}_a = \vec{0} = (0, 0, 0)$$

$$m_b = 2 \text{ kg} \quad \text{CM: centro de} \quad \vec{r}_b = \vec{i} = (0, 0, 1)$$

$$m_d = 2 \text{ kg} \quad \text{massas.} \quad \vec{r}_c = \vec{i} + \vec{j} = (0, 1, 1)$$

$$\vec{r}_d = \vec{j} = (0, 1, 0).$$

fig 4

$$\text{no exemplo da figura 4} \quad \vec{R} = \frac{m_a \vec{r}_a + m_b \vec{r}_b + m_c \vec{r}_c + m_d \vec{r}_d}{m_a + m_b + m_c + m_d} :$$

$$\vec{R} = \frac{1(0, 0, 0) + 2(0, 0, 1) + 8(0, 1, 1) + 2(0, 1, 0)}{1+2+8+2}$$

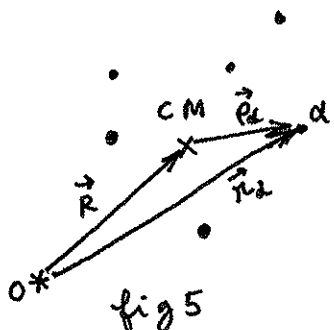
$$= \frac{(0, 10, 10)}{12} = (0, \frac{5}{6}, \frac{5}{6})$$

2) Energia do sistema e sua conservação.

a)  $T =$  energia cinética

$$= \sum_{\alpha} \frac{1}{2} m_{\alpha} (\vec{v}_{\alpha})^2 \quad (12)$$

$$\vec{v}_{\alpha}^2 = \vec{v}_{\alpha} \cdot \vec{v}_{\alpha} = v_{\alpha}^2 = |\vec{v}_{\alpha}|^2$$



Na figura 5, uma partícula é tomada num sistema de partículas.  $\vec{R}$  é a posição do centro de massas e  $\vec{r}_{\alpha} = \vec{r}_{\alpha} - \vec{R}$  é a

fig 5

1.8.7

posições de  $\alpha$  em relações ao centro de massas. Então

$$\vec{r}_\alpha = \vec{p}_\alpha + \vec{R} \Rightarrow \dot{\vec{r}}_\alpha = \dot{\vec{p}}_\alpha + \dot{\vec{R}}$$

$$\begin{aligned} (\dot{\vec{r}}_\alpha)^2 &= (\dot{\vec{r}}_\alpha) \cdot (\dot{\vec{r}}_\alpha) = (\dot{\vec{p}}_\alpha + \dot{\vec{R}}) \cdot (\dot{\vec{p}}_\alpha + \dot{\vec{R}}) \\ &= \underbrace{(\dot{\vec{p}}_\alpha) \cdot (\dot{\vec{p}}_\alpha)}_{(\dot{\vec{p}}_\alpha)^2} + \underbrace{(\dot{\vec{p}}_\alpha) \cdot \dot{\vec{R}} + \dot{\vec{R}} \cdot (\dot{\vec{p}}_\alpha)}_{\text{como } \vec{R} \cdot \dot{\vec{p}}_\alpha} + \underbrace{(\dot{\vec{R}}) \cdot (\dot{\vec{R}})}_{(\dot{\vec{R}})^2} \\ &= \dot{\vec{p}}_\alpha \cdot \dot{\vec{R}} \quad (\vec{a} \cdot \vec{b} = \vec{b} \cdot \vec{a}), \\ &\text{isso fica} \\ &2(\dot{\vec{p}}_\alpha) \cdot \dot{\vec{R}} \end{aligned}$$

Então

$$(\dot{\vec{r}}_\alpha)^2 = (\dot{\vec{p}}_\alpha)^2 + 2(\dot{\vec{p}}_\alpha) \cdot \dot{\vec{R}} + (\dot{\vec{R}})^2 \quad (13)$$

Substituindo (13) em (12) temos

$$T = \sum_{\alpha} \frac{1}{2} m_\alpha (\dot{\vec{p}}_\alpha)^2 + \sum_{\alpha} \frac{1}{2} m_\alpha 2(\dot{\vec{p}}_\alpha) \cdot \dot{\vec{R}} + \sum_{\alpha} \frac{1}{2} m_\alpha (\dot{\vec{R}})^2 \quad (14)$$

Agora,

$\sum_{\alpha} \frac{1}{2} m_\alpha (\dot{\vec{p}}_\alpha)^2 = \sum_{\alpha} \frac{1}{2} m_\alpha (\vec{v}'_\alpha)^2$  (15) com  $\vec{v}'_\alpha = \dot{\vec{p}}_\alpha$  = velocidade de  $\alpha$  em relações ao centro de massa. Então o primeiro no lado direito de (14) é a energia cinética "interna", em relações ao centro de massa.

Temos

$$\sum_{\alpha} \frac{1}{2} m_\alpha 2(\dot{\vec{p}}_\alpha) \cdot \dot{\vec{R}} = \dot{\vec{R}} \cdot \left( \sum_{\alpha} m_\alpha \dot{\vec{p}}_\alpha \right).$$

O corre que

$$\begin{aligned}
 \sum_{\alpha} m_{\alpha} \dot{\vec{r}}_{\alpha} &= \frac{d}{dt} \left( \sum_{\alpha} m_{\alpha} \vec{r}_{\alpha} \right) \\
 &= \frac{d}{dt} \left( \sum_{\alpha} m_{\alpha} (\vec{r}_{\alpha} - \vec{R}) \right) \\
 &= \sum_{\alpha} m_{\alpha} \frac{d\vec{r}_{\alpha}}{dt} - \frac{d}{dt} \sum_{\alpha} m_{\alpha} \vec{R} \\
 &= \underbrace{\frac{d}{dt} \sum_{\alpha} m_{\alpha} \vec{r}_{\alpha}}_{M \vec{R} \text{ por } ⑨} - \underbrace{\frac{d\vec{R}}{dt} \left( \sum_{\alpha} m_{\alpha} \right)}_M \\
 &= M \dot{\vec{R}} - M \dot{\vec{R}} = \vec{0}.
 \end{aligned}$$

Então

$$\sum_{\alpha} \frac{1}{2} m_{\alpha}^2 (\dot{\vec{r}}_{\alpha})^2 = 0 \quad ⑯.$$

Finalmente

$$\sum_{\alpha} \frac{1}{2} m_{\alpha} (\dot{\vec{R}})^2 = (\dot{\vec{R}})^2 \underbrace{\sum_{\alpha} \frac{m_{\alpha}}{2}}_{\frac{M}{2}} = \frac{M}{2} v^2 \quad ⑰, \text{ sendo}$$

$v = |\vec{v}| = |\dot{\vec{R}}|$  = velocidade do centro de massa em módulo.

Voltando com ⑮, ⑯ e ⑰ em ⑭ temos

$$\begin{aligned}
 T = \text{energia cinética do sistema} &= \sum_{\alpha} \frac{1}{2} m_{\alpha} (\dot{\vec{r}}_{\alpha})^2 \\
 &= \sum_{\alpha} \frac{1}{2} m_{\alpha} (v'_{\alpha})^2 + \frac{Mv^2}{2} = \text{"energia cinética interna"} \\
 &\quad + \text{energia cinética atribuída ao centro de massa. } ⑯.
 \end{aligned}$$

1.8.9

Quanto à possibilidade de conservação da energia do sistema, a questão se coloca de forma um tanto complicada. O resultado é o seguinte: se

$$E = T + U = \sum_{\alpha} \frac{m_{\alpha}}{2} (\vec{r}_{\alpha})^2 + \sum_{\alpha} U_{\alpha} + \sum_{\alpha < p} \bar{U}_{\alpha p} \quad (19)$$

é a energia, sendo  $U$  a potencial, composta pelas energias potenciais  $U_{\alpha}$  ( $\vec{r}_{\alpha}$ ), devidas às interações de cada partícula com o meio externo e  $\bar{U}_{\alpha p}$  ( $\vec{r}_{\alpha}, \vec{r}_p$ ), devidas às interações internas, supostamente de pares de partículas,  $E$  se conserva se todas as forças forem conservativas, isto é, se

$$\vec{F}_{\alpha}^{(e)} = -\vec{\nabla}_{\alpha} U_{\alpha} = -\underbrace{\frac{\partial U_{\alpha}}{\partial \vec{r}_{\alpha}}}_{\text{gradiente em relação às coordenadas de } \alpha} \quad (20)$$

apenas notação, e não divisão por vetor

$$\text{e } \vec{f}_{\alpha p} = -\vec{\nabla}_{\alpha} \bar{U}_{\alpha p} = -\underbrace{\frac{\partial \bar{U}_{\alpha p}}{\partial \vec{r}_{\alpha}}}_{\text{gradiente em relação às coordenadas de } \alpha} \quad (21).$$

Provemos, dadas as hipóteses. Temos

$$\frac{dE}{dt} = \frac{dT}{dt} + \frac{dU}{dt} \quad (22).$$

Primeiramente

$$\frac{dT}{dt} = \frac{d}{dt} \sum_{\alpha} \frac{m_{\alpha}}{2} (\dot{\vec{r}}_{\alpha})^2 = \sum_{\alpha} m_{\alpha} \ddot{\vec{r}}_{\alpha} \cdot \vec{r}_{\alpha} = \sum_{\alpha} \vec{F}_{\alpha} \cdot \vec{r}_{\alpha} \quad (23)$$

Agora,

$$\frac{dU}{dt} = \sum_{\alpha} \frac{dU_{\alpha}}{dt} + \sum_{\alpha < p} \frac{d\bar{U}_{\alpha p}}{dt} \quad (24)$$

1.8.10

Acontece que

$$\sum_{\alpha} \frac{dU_{\alpha}}{dt} = \sum_{\alpha} \frac{(\vec{\nabla}_{\alpha} U_{\alpha}) \cdot d\vec{r}_{\alpha}}{dt} = \sum_{\alpha} -\frac{\vec{F}_{\alpha}^{(e)} \cdot d\vec{r}_{\alpha}}{dt}$$

$$= \sum_{\alpha} -\vec{F}_{\alpha}^{(e)} \cdot \frac{d\vec{r}_{\alpha}}{dt} \quad (25),$$

pois

$$dU_{\alpha} = dU_{\alpha}(\vec{r}_{\alpha}) = \frac{\partial U_{\alpha}}{\partial x_{\alpha}} dx_{\alpha} + \frac{\partial U_{\alpha}}{\partial y_{\alpha}} dy_{\alpha} + \frac{\partial U_{\alpha}}{\partial z_{\alpha}} dz_{\alpha}$$

$$= \left( \frac{\partial U_{\alpha}}{\partial x_{\alpha}}, \frac{\partial U_{\alpha}}{\partial y_{\alpha}}, \frac{\partial U_{\alpha}}{\partial z_{\alpha}} \right) \cdot (dx_{\alpha}, dy_{\alpha}, dz_{\alpha})$$

$$= (\vec{\nabla}_{\alpha} U_{\alpha}) \cdot d\vec{r}_{\alpha} = -\vec{F}_{\alpha}^{(e)} \cdot d\vec{r}_{\alpha}$$

(Nota: o livro usa a convenção  $x_1 = x$ ,  $x_2 = y$ ,  $x_3 = z$ .

com ela escreve-se

$$dU_{\alpha}(\vec{r}_{\alpha}) = \frac{\partial U_{\alpha}}{\partial x_{1\alpha}} dx_{1\alpha} + \frac{\partial U_{\alpha}}{\partial x_{2\alpha}} dx_{2\alpha} + \frac{\partial U_{\alpha}}{\partial x_{3\alpha}} dx_{3\alpha} = \sum_{i=1}^3 \frac{\partial U_{\alpha}}{\partial x_{i\alpha}} dx_{i\alpha}$$

Agora,

$$\sum_{\alpha < \beta} \frac{d\bar{U}_{\alpha\beta}}{dt} = \sum_{\alpha < \beta} \frac{(\vec{\nabla}_{\alpha} \bar{U}_{\alpha\beta}) \cdot d\vec{r}_{\alpha} + (\vec{\nabla}_{\beta} \bar{U}_{\alpha\beta}) \cdot d\vec{r}_{\beta}}{dt}$$

$$= \sum_{\alpha < \beta} -\vec{f}_{\alpha\beta} \cdot \frac{d\vec{r}_{\alpha}}{dt} - \vec{f}_{\beta\alpha} \cdot \frac{d\vec{r}_{\beta}}{dt}.$$

Supondo a 3º lei, temos  $\vec{f}_{\beta\alpha} = -\vec{f}_{\alpha\beta}$ , com o que

$$\sum_{\alpha < \beta} \frac{d\bar{U}_{\alpha\beta}}{dt} = \sum_{\alpha < \beta} -\vec{f}_{\alpha\beta} \cdot \frac{d\vec{r}_{\alpha}}{dt} + \vec{f}_{\alpha\beta} \cdot \frac{d\vec{r}_{\beta}}{dt} \quad (26)$$

O corre que não é difícil mostrar que (26) equivale a

$$\sum_{\alpha < \beta} \frac{d\bar{U}_{\alpha\beta}}{dt} = \sum_{\alpha} \sum_{\beta \neq \alpha} -\vec{f}_{\alpha\beta} \cdot \frac{d\vec{r}_{\alpha}}{dt} \quad (27).$$

Para ver isso claramente, basta considerarmos um sistema de três partículas. Temos

$$\sum_{\alpha \neq \beta} -\vec{f}_{\alpha\beta} \cdot d\vec{r}_\alpha + \vec{f}_{\alpha\beta} \cdot d\vec{r}_\beta$$

$$= -\vec{f}_{12} \cdot d\vec{r}_1 + \vec{f}_{12} \cdot d\vec{r}_2 \\ -\vec{f}_{13} \cdot d\vec{r}_1 + \vec{f}_{13} \cdot d\vec{r}_3 \\ -\vec{f}_{23} \cdot d\vec{r}_2 + \vec{f}_{23} \cdot d\vec{r}_3 , \quad \left. \right\} \text{fatores obedecendo } \beta > \alpha$$

enquanto

$$\sum_{\alpha} \sum_{\beta \neq \alpha} -\vec{f}_{\alpha\beta} \cdot d\vec{r}_\alpha$$

$$= -\vec{f}_{12} \cdot d\vec{r}_1 - \vec{f}_{13} \cdot d\vec{r}_1 \\ + (-\vec{f}_{21} \cdot d\vec{r}_2 - \vec{f}_{23} \cdot d\vec{r}_2) \\ + (-\vec{f}_{31} \cdot d\vec{r}_3 - \vec{f}_{32} \cdot d\vec{r}_3) \quad \left. \right\} \text{reagrupamento}$$

$$= -\vec{f}_{12} \cdot d\vec{r}_1 - \vec{f}_{21} \cdot d\vec{r}_2 \\ -\vec{f}_{13} \cdot d\vec{r}_1 - \vec{f}_{31} \cdot d\vec{r}_3 \\ -\vec{f}_{23} \cdot d\vec{r}_2 - \vec{f}_{32} \cdot d\vec{r}_3 \quad \left. \right\} \downarrow \vec{f}_{\alpha\beta} = -\vec{f}_{\beta\alpha} \quad (3^{\text{a}} \text{ lei}) \text{ nessa coluna}$$

$$= -\vec{f}_{12} \cdot d\vec{r}_1 + \vec{f}_{12} \cdot d\vec{r}_2 \\ -\vec{f}_{13} \cdot d\vec{r}_1 + \vec{f}_{13} \cdot d\vec{r}_3 \\ -\vec{f}_{23} \cdot d\vec{r}_2 + \vec{f}_{23} \cdot d\vec{r}_3 ,$$

o que mostra a equivalência. Voltando agora com ②7 e ②5 em ②4 temos

$$\frac{dU}{dt} = \sum_{\alpha} \left( -\vec{F}_{\alpha}^{(\text{e})} \cdot \frac{d\vec{r}_{\alpha}}{dt} \right) + \sum_{\alpha} \left( \sum_{\beta \neq \alpha} -\vec{f}_{\alpha\beta} \cdot \frac{d\vec{r}_{\alpha}}{dt} \right)$$

$$= \sum_{\alpha} \left( -\vec{F}_{\alpha}^{(\text{e})} + \sum_{\beta \neq \alpha} -\vec{f}_{\alpha\beta} \right) \cdot \frac{d\vec{r}_{\alpha}}{dt} = \sum_{\alpha} -\vec{F}_{\alpha} \cdot \frac{d\vec{r}_{\alpha}}{dt} \quad ②8$$

Colocando agora ②8 e ②3 em ②2 temos finalmente

$$\frac{dE}{dt} = \sum_{\alpha} \vec{F}_{\alpha} \cdot \dot{\vec{r}}_{\alpha} + \sum_{\alpha} -\vec{F}_{\alpha} \cdot \dot{\vec{r}}_{\alpha} = 0 ,$$

ou seja,  $E$  é constante.

3) Momento angular e sua conservação no sistema.

Temos

$$\begin{aligned} \vec{L} &= \sum_{\alpha} m_{\alpha} \vec{r}_{\alpha} \times \vec{v}_{\alpha} = \sum_{\alpha} \vec{r}_{\alpha} \times (m_{\alpha} \vec{v}_{\alpha}) = \sum_{\alpha} \vec{r}_{\alpha} \times \vec{p}_{\alpha} . \\ &= \sum_{\alpha} m_{\alpha} \vec{r}_{\alpha} \times \frac{d\vec{r}_{\alpha}}{dt} \quad (29). \end{aligned}$$

Observe que pela figura 5  $\vec{r}_{\alpha} = \vec{p}_{\alpha} + \vec{R}$ . Então

$$\begin{aligned} \vec{L} &= \sum_{\alpha} m_{\alpha} (\vec{p}_{\alpha} + \vec{R}) \times (\dot{\vec{p}}_{\alpha} + \dot{\vec{R}}) \\ &= \sum_{\alpha} m_{\alpha} \vec{p}_{\alpha} \times \dot{\vec{p}}_{\alpha} + \underbrace{\sum_{\alpha} m_{\alpha} \vec{p}_{\alpha} \times \dot{\vec{R}}}_{= (\sum_{\alpha} m_{\alpha} \vec{p}_{\alpha}) \times \dot{\vec{R}}} + \underbrace{\sum_{\alpha} m_{\alpha} \vec{R} \times \dot{\vec{p}}_{\alpha}}_{\vec{R} \times \frac{d}{dt} (\sum_{\alpha} m_{\alpha} \vec{p}_{\alpha})} + \sum_{\alpha} m_{\alpha} \vec{R} \times \dot{\vec{R}} . \\ &\quad \text{por } ⑨ \\ &\quad \text{(ver dedução da relação ⑯)} \end{aligned}$$

Temos então

$$\begin{aligned} \vec{L} &= \sum_{\alpha} m_{\alpha} \vec{p}_{\alpha} \times \dot{\vec{p}}_{\alpha} + \sum_{\alpha} m_{\alpha} \vec{R} \times \dot{\vec{R}} = \sum_{\alpha} m_{\alpha} \vec{p}_{\alpha} \times \dot{\vec{p}}_{\alpha} + (\sum_{\alpha} m_{\alpha}) \vec{R} \times \dot{\vec{R}} \\ &= \underbrace{\sum_{\alpha} m_{\alpha} \vec{p}_{\alpha} \times \dot{\vec{p}}_{\alpha}}_{\text{momento angular}} + M \vec{R} \times \dot{\vec{R}} \quad (30) \\ &\quad \text{momento angular do CM.} \end{aligned}$$

Momento angular  
em relação ao CM ("externo")

1.8.13

Agora, partindo de 29 temos

$$\begin{aligned}\frac{d\vec{L}}{dt} &= \sum_{\alpha} m_{\alpha} \underbrace{\frac{d\vec{r}_{\alpha}}{dt} \times \frac{d\vec{r}_{\alpha}}{dt}}_{= \vec{0} (\vec{A} \times \vec{A} = \vec{0})} + \sum_{\alpha} m_{\alpha} \vec{r}_{\alpha} \times \frac{d^2 \vec{r}_{\alpha}}{dt^2} \\ &= \sum_{\alpha} \vec{r}_{\alpha} \times \underbrace{m_{\alpha} \frac{d^2 \vec{r}_{\alpha}}{dt^2}}_{\vec{F}_{\alpha}} = \sum_{\alpha} \vec{r}_{\alpha} \times \vec{F}_{\alpha}\end{aligned}$$

Como

$$\vec{F}_{\alpha} = \vec{F}_{\alpha}^{(e)} + \sum_{\beta \neq \alpha} \vec{f}_{\alpha\beta} \quad ④,$$

temos

$$\begin{aligned}\frac{d\vec{L}}{dt} &= \sum_{\alpha} \vec{r}_{\alpha} \times \left( \vec{F}_{\alpha}^{(e)} + \sum_{\beta \neq \alpha} \vec{f}_{\alpha\beta} \right) \\ &= \underbrace{\sum_{\alpha} \vec{r}_{\alpha} \times \vec{F}_{\alpha}^{(e)}}_{\text{torque total externo } \vec{N}^{(e)}} + \underbrace{\sum_{\alpha} \sum_{\beta \neq \alpha} \vec{r}_{\alpha} \times \vec{f}_{\alpha\beta}}_{\text{torque } \vec{N}_{\text{int das forças internas}}} \quad ⑤\end{aligned}$$

Ocorre que o seguinte torque é possível:

$$\sum_{\alpha} \sum_{\beta \neq \alpha} \vec{r}_{\alpha} \times \vec{f}_{\alpha\beta} = \sum_{\beta} \sum_{\alpha \neq \beta} \vec{r}_{\beta} \times \vec{f}_{\beta\alpha},$$

pois tanto faz para a soma para  $\alpha \neq \beta$  que começemos por  $\alpha$  ou  $\beta$ . Então

$$\vec{N}_{\text{int}} = \frac{1}{2} \left[ \sum_{\alpha} \sum_{\beta \neq \alpha} \vec{r}_{\alpha} \times \vec{f}_{\alpha\beta} + \sum_{\beta} \sum_{\alpha \neq \beta} \vec{r}_{\beta} \times \vec{f}_{\beta\alpha} \right].$$

1.8.14

Na segunda soma do resultado anterior, não importa se a primeira somatória é sobre  $\alpha$  ou  $\beta$ , contanto que eliminemos sempre o caso  $\alpha = \beta$ . Então

$$\begin{aligned}\vec{N}_{int} &= \frac{1}{2} \left[ \sum_{\alpha} \sum_{\beta \neq \alpha} \vec{r}_{\alpha} \times \vec{f}_{\beta \alpha} + \sum_{\alpha} \sum_{\beta \neq \alpha} \vec{r}_{\beta} \times \vec{f}_{\beta \alpha} \right] \\ &= \frac{1}{2} \sum_{\alpha} \sum_{\beta \neq \alpha} \vec{r}_{\alpha} \times \vec{f}_{\beta \alpha} + \vec{r}_{\beta} \times \vec{f}_{\beta \alpha}.\end{aligned}$$

Como, pela terceira lei,  $\vec{f}_{\beta \alpha} = -\vec{f}_{\alpha \beta}$ , o resultado acima fica

$$\vec{N}_{int} = \frac{1}{2} \sum_{\alpha} \sum_{\beta \neq \alpha} (\vec{r}_{\alpha} - \vec{r}_{\beta}) \times \vec{f}_{\beta \alpha} \quad (32)$$

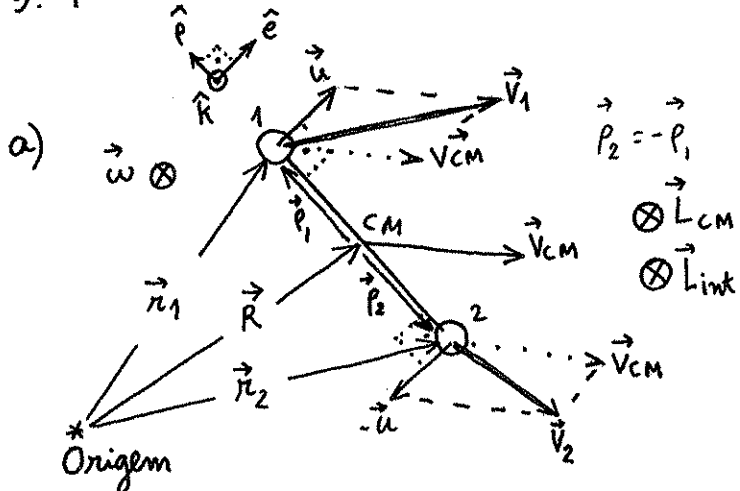
Colocando (2) em (32) temos  $\vec{N}_{int} = \vec{0}$  (33).

Com isso então (31) fica

$$\frac{d\vec{L}}{dt} = \vec{N}^{(e)} = \text{torque total externo},$$

e se  $\vec{N}^{(e)} = \vec{0}$  teremos  $\vec{L}$  constante.

1.9.1



Ao lado temos uma figura explicativa da situação. As velocidades dos corpos 1 e 2 (massas do halteres)

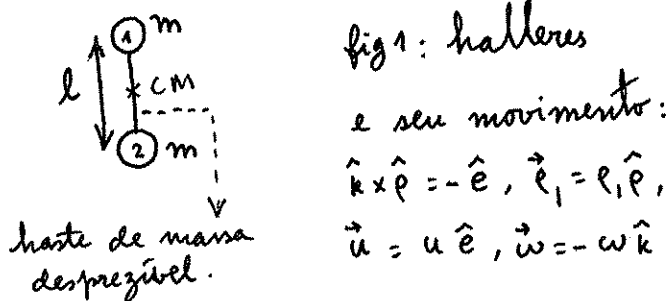


fig 1: halteres

e seu movimento:

$$\hat{k} \times \vec{p} = -\hat{e}, \vec{r}_1 = l_1 \hat{p}, \\ \vec{u} = u \hat{e}, \vec{\omega} = -\omega \hat{k}$$

$$\text{não } \vec{V}_1 = \frac{d \vec{r}_1}{dt} \text{ e } \vec{V}_2 = \frac{d \vec{r}_2}{dt}.$$

$$\vec{V}_{CM} = \frac{d \vec{R}}{dt}. \text{ Como}$$

$$\vec{r}_1 = \vec{R} + \vec{p}_1 \text{ temos}$$

$$\frac{d \vec{r}_1}{dt} = \vec{V}_1 = \frac{d}{dt} (\vec{R} + \vec{p}_1) = \frac{d \vec{R}}{dt} + \frac{d \vec{p}_1}{dt} \\ = \vec{V}_{CM} + \vec{u} (\vec{r}_1),$$

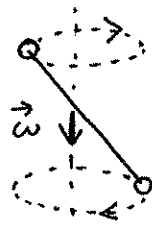
levando em conta que  $\frac{d \vec{p}_1}{dt} = \vec{u}$  = velocidade de 1 em relações ao centro de massas, localizado no ponto médio do haltere. Se estamos restringindo o movimento do haltere a um plano, é mais fácil ver que

$$\frac{d \vec{r}_2}{dt} = \vec{V}_2 = \frac{d}{dt} (\vec{R} + \vec{p}_2) \\ = \frac{d \vec{R}}{dt} + \frac{d}{dt} (\vec{p}_2) = \vec{V}_{CM} + \frac{d}{dt} (\vec{p}_2) \\ = \vec{V}_{CM} + (-\vec{u}) (\vec{r}_2).$$

O movimento de rotações do haltere é o movi

## 1.9.2

mento de 1 e 2 em relação ao CM. Pela restrição que estamos fazendo, essa rotação tem velocidade angular  $\vec{\omega}$ , como indicado, perpendicular à linha que une as massas 1 e 2. Note pela figura abaixo que essa restrição colocada na questão não é de forma alguma uma necessidade natural.



Agora, dadas as restrições e o resultado da questão 4.

dessa lista, considerando  $|\hat{r}| = |\hat{e}| = |\hat{k}| = 1$ ,

$$\vec{u}_1 = \vec{\omega} \times \vec{r}_1$$

$$= (-\omega \hat{k}) \times (\vec{r}_1, \hat{p}) = -\omega \frac{l}{2} \underbrace{\hat{k} \times \hat{p}}_{-\hat{e}} = \omega \frac{l}{2} \hat{e} \quad ①$$

$$\vec{r}_1 = |\vec{r}_1| = \frac{l}{2}$$

De forma semelhante, a velocidade  $-\vec{u}_2$ , de 2, em relação ao centro de massa, é

$$-\vec{u}_2 = \vec{\omega} \times \vec{r}_2 = (-\omega \hat{k}) \times (-\vec{r}_1, \hat{p}) = -\underbrace{\omega \frac{l}{2}}_{\vec{r}_2 = -\vec{r}_1} \hat{e} \quad ②$$

Chamaremos de  $\vec{L}_{int}$  o momento angular "interno", isto é, o momento angular do sistema em relação ao centro de massa. Temos, se  $\vec{L}$  = momento angular total,

$$\vec{L} = \vec{r}_1 \times \vec{p}_1 + \vec{r}_2 \times \vec{p}_2$$

fig 2: outra configuração de rotações do hatteres, fora do exigido na questão.

1.9.3

ou

$$\vec{L} = \underbrace{(\vec{R} + \vec{\ell}_1) \times (m \frac{d\vec{r}_1}{dt})}_{\vec{p}_1 = m\vec{v}_1} + (\vec{R} + \vec{\ell}_2) \times (m \frac{d\vec{r}_2}{dt})$$

$$= m(\vec{R} + \vec{\ell}_1) \times (\vec{v}_{CM} + \vec{u}) + m(\vec{R} + \vec{\ell}_2) \times (\vec{v}_{CM} - \vec{u}) ;$$

$\vec{v}_{CM}$  por ( $\vec{r}_1$ )       $\vec{\ell}_2 = -\vec{\ell}_1$        $\vec{v}_{CM}$  por ( $\vec{r}_2$ )

$$\vec{L} = m \left[ (\vec{R} \times \vec{v}_{CM} + \vec{R} \times \vec{u} + \vec{\ell}_1 \times \vec{v}_{CM} + \vec{\ell}_1 \times \vec{u}) + (\vec{R} \times \vec{v}_{CM} - \vec{R} \times \vec{u} - \vec{\ell}_1 \times \vec{v}_{CM} + \vec{\ell}_1 \times \vec{u}) \right]$$

$$= \underbrace{\vec{R} \times (2m\vec{v}_{CM})}_{2m=M=\text{massa total}} + 2m\vec{\ell}_1 \times \vec{u} = \vec{R} \times \vec{P}_{CM} + 2m\vec{\ell}_1 \times \vec{u}$$

$\vec{P}_{CM} = M\vec{v}_{CM}$   
= momento do CM

$$= \vec{L}_{CM} + \vec{L}_{int} \quad ③.$$

$$\begin{array}{ll} \vec{R} \times \vec{P}_{CM} & 2m\vec{\ell}_1 \times \vec{u} \\ = \text{momento} & = \text{momento} \\ \text{angular} & \text{angular} \\ \text{do CM} & \text{"interno"} \end{array}$$

O momento angular  $\vec{L}_{int}$  estão, em virtude de

① e ③ fica

$$\begin{aligned} \vec{L}_{int} &= 2m\vec{\ell}_1 \times \vec{u} = 2m\vec{\ell}_1 \hat{e} \times \left( \frac{\omega l}{2} \hat{e} \right) = 2m \frac{l}{2} \frac{\omega l}{2} \hat{e} \times \hat{e} \\ &\quad \vec{\ell}_1 = \frac{l}{2} \qquad \qquad \qquad = \frac{ml^2}{2} (-\hat{w}\hat{k}) \\ &\qquad \qquad \qquad = \frac{ml^2}{2} \vec{\omega} = I\vec{\omega}, \end{aligned}$$

se definirmos  $I = ml^2/2 = \underline{\text{momento de inércia}}$  do halteres.

1.9.4

A relação  $\vec{L}_{int} = I \vec{\omega}$  ④ mostra que  $\vec{L}_{int}$  tem a direção e o sentido dados na figura 1.

b) Vamos agora mostrar que se, como sugere a figura ao lado, o halteres é lançado em rotações, como indicado,

com velocidade angular  $\vec{\omega}$ , o centro de massa vai se movimentar numa trajetória parabólica, com  $\vec{v}_{CM}$  tangente a essa trajetória, enquanto a rotação  $\vec{\omega}$  do halteres permanece fixa.

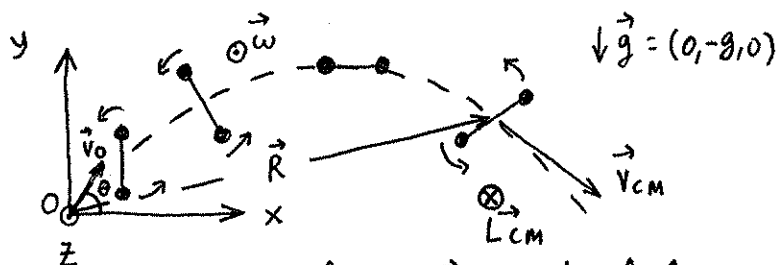


fig 2:  $\vec{v}_0$  = velocidade inicial do CM

Usaremos o que foi discutido na questão 8. Temos

$$M \ddot{\vec{R}} = \vec{F}^{(e)} = \vec{F}_1^{(e)} + \vec{F}_2^{(e)}$$

m

massa x  
aceleração  
do centro  
de massa

( $M = 2m$  = massa  
total)

soma das  
forças  
externas

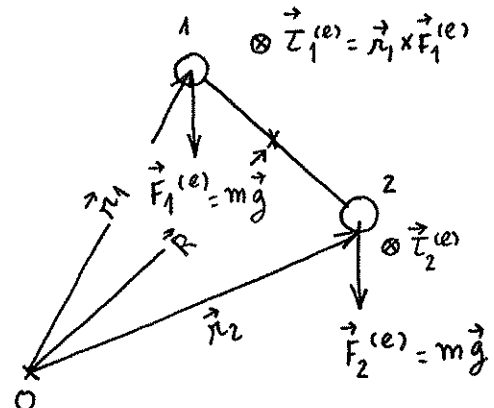


fig 3 (forças  
internas não desenhadas)

Com o auxílio da figura 3, temos

$$M \ddot{\vec{R}} = m \vec{g} + m \vec{g} \Rightarrow 2m \ddot{\vec{R}} = 2m \vec{g} \Rightarrow \ddot{\vec{R}} = \vec{g} \text{ ⑤.}$$

Se  $\vec{R} = (x, y, 0)$ , ⑤ fica  $(\ddot{x}, \ddot{y}, 0) = (0, -g, 0)$ ,

1.9.5

o que nos dá

$$\ddot{x} = 0 \Rightarrow \dot{x} = \text{constante} = \underbrace{v_0 \cos \theta}_{\substack{\text{componente } x \\ \text{da velocidade}}} \Rightarrow x = (v_0 \cos \theta)t \quad (6),$$

$\underbrace{\text{componente } x}_{\substack{\text{da velocidade} \\ \text{initial do CM}}}$

$$\ddot{y} = -g \Rightarrow \dot{y} = v_0 \sin \theta - gt \Rightarrow y = (v_0 \sin \theta)t - \frac{g}{2} t^2 \quad (7)$$

$\underbrace{\text{componente } y}_{\substack{\text{da velocidade} \\ \text{do CM em } t=0.}}$

De (6) escrevemos  $t = \frac{x}{v_0 \cos \theta}$ . Colocando isso em (7) teremos

$$y = v_0 \sin \theta \frac{x}{v_0 \cos \theta} - \frac{g}{2} \frac{x^2}{v_0^2 \cos^2 \theta} = \tan \theta x - \frac{g}{2} \frac{x^2}{v_0^2 \cos^2 \theta} \quad (8),$$

que é a equação da parábola para a trajetória do CM. Note que  $y=0$  (halteres no solo),

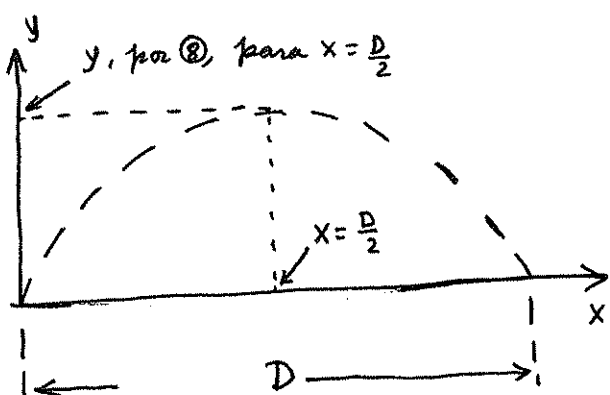


fig 4: trajetória do CM.

é possível com

$$\tan \theta x - \frac{g}{2 v_0^2 \cos^2 \theta} x^2 = 0 \Rightarrow \begin{cases} x=0 \\ x=D = \frac{2 v_0^2 \sin \theta \cos \theta}{g} \end{cases}$$

$D$  é o alcance (figura ao lado), máximo para um dado  $v_0$  se  $\theta = 45^\circ$

1.9.6

Para o momento angular do sistema, levando em conta a questão 8 e a figura 3, temos

$$\frac{d}{dt} (\vec{L}_{cm} + \vec{L}_{int}) = \vec{\tau}_1^{(e)} + \vec{\tau}_2^{(e)} \quad (9)$$

taxa de variação

do momento angular

total

Torque externo

total, soma

dos torques

externos sobre 1 e 2

Como

$$\vec{L}_{cm} = \vec{R} \times (\overbrace{M \vec{V}_{cm}}^{\sim}) = 2m \vec{R} \times \frac{d\vec{R}}{dt} = 2m \vec{R} \times \ddot{\vec{R}} \quad (10),$$

$$\vec{\tau}_1^{(e)} = \vec{r}_1 \times \vec{F}_1^{(e)} = \vec{r}_1 \times m\vec{g} \quad (11) \quad e \quad \vec{\tau}_2^{(e)} = \vec{r}_2 \times m\vec{g} \quad (12),$$

(10), (11) e (12) em (9) nos dá

$$\begin{aligned} \frac{d\vec{L}_{cm}}{dt} + \frac{d\vec{L}_{int}}{dt} &= \frac{d}{dt} (2m \vec{R} \times \ddot{\vec{R}}) + \vec{L}_{int} = 2m \vec{R} \times \ddot{\vec{R}} + 2m \vec{R} \times \ddot{\vec{R}} + \vec{L}_{int} \\ &= \vec{0} \\ &= \vec{r}_1 \times m\vec{g} + \vec{r}_2 \times m\vec{g} = \underbrace{(m\vec{r}_1 + m\vec{r}_2)}_{= M\vec{R}} \times \vec{g} = 2m \vec{R} \times \vec{g}. \end{aligned} \quad (13)$$

$$= M\vec{R} = 2m\vec{R},$$

$$\text{em virtude} \\ \text{de } \vec{R} = \frac{\vec{r}_1 + \vec{r}_2}{m+m}$$

Como, por (5),  $\vec{R} = \vec{g}$ , (13) fica

$$2m \vec{R} \times \ddot{\vec{R}} + \vec{L}_{int} = 2m \vec{R} \times \ddot{\vec{R}} \Rightarrow \frac{d\vec{L}_{int}}{dt} = \vec{0}, \text{ implicando,} \\ \text{por } \vec{L} = I\vec{\omega}, \vec{\omega} = \vec{0} \Rightarrow \vec{\omega} \text{ constante.}$$

1.10.1

Aplicaremos a relação

$$I = \sum_{\alpha=1}^n m_\alpha (r_\alpha)^2,$$

em que  $r_\alpha$  = distância da partícula  $\alpha$  ao eixo (figura av lado). Se se trata de um corpo rígido de massa continuamente distribuída, usamos  $I = \int dm r^2$ .

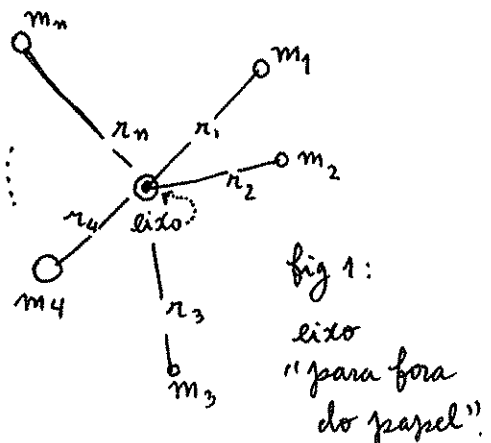
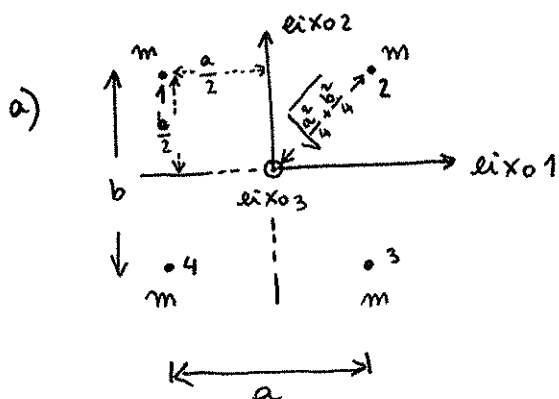


fig 1:

eixo  
"para fora  
do papel".



$I_1$  (em relação ao eixo1):

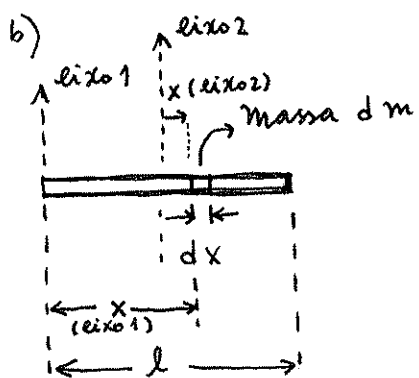
$$I_1 = m\left(\frac{b}{2}\right)^2 + m\left(\frac{b}{2}\right)^2 + m\left(\frac{b}{2}\right)^2 + m\left(\frac{b}{2}\right)^2 \\ \text{massa1} \quad \text{massa2} \quad \text{massa3} \quad \text{massa4}$$

$$= mb^2.$$

$$I_2 = m\left(\frac{a}{2}\right)^2 + m\left(\frac{a}{2}\right)^2 + m\left(\frac{a}{2}\right)^2 + m\left(\frac{a}{2}\right)^2 = ma^2$$

$$I_3 = m\left(\frac{a^2}{4} + \frac{b^2}{4}\right) + m\left(\frac{a^2}{4} + \frac{b^2}{4}\right) + m\left(\frac{a^2}{4} + \frac{b^2}{4}\right) + m\left(\frac{a^2}{4} + \frac{b^2}{4}\right) = m(a^2 + b^2)$$

Note que o momento de inércia varia com a escolha do eixo.



Se a barra é homogênea então

$$\frac{dm}{dx} = \frac{m}{l} \Rightarrow dm = \frac{m}{l} dx,$$

o que nos dá

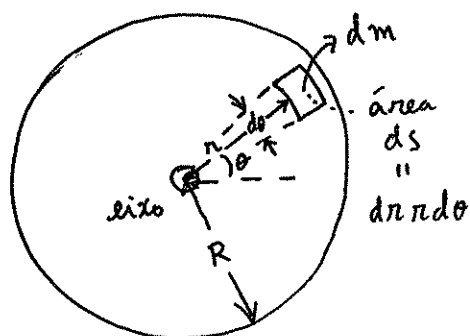
$$I_1 = \int_0^l x^2 dm = \int_0^l x^2 \frac{m}{l} dx \\ = \frac{m}{l} \frac{l^3}{3} = \frac{ml^2}{3}$$

1.10.2

Para o exo 2 ,

$$I_2 = \int_{-\frac{R}{2}}^{\frac{R}{2}} x^2 dm = \frac{m}{\ell} \int_{-\frac{R}{2}}^{\frac{R}{2}} x^2 dx = \frac{m\ell^2}{12} .$$

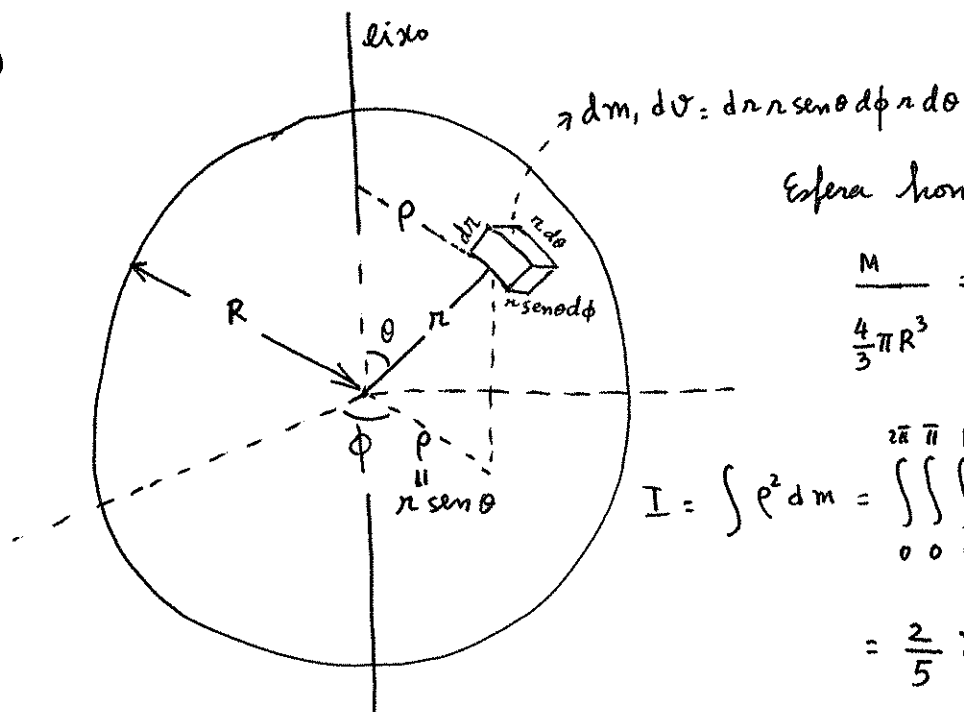
c)



$$\begin{aligned} I &= \int dm r^2 \\ &= \int \frac{m}{\pi R^2} ds r^2 = \frac{m}{\pi R^2} \iint_0^{2\pi} r dr d\theta r^2 \\ &= \frac{mR^2}{2} \end{aligned}$$

$$\frac{dm}{ds} = \frac{m}{\pi R^2} \text{ (disco homogêneo)}$$

d)

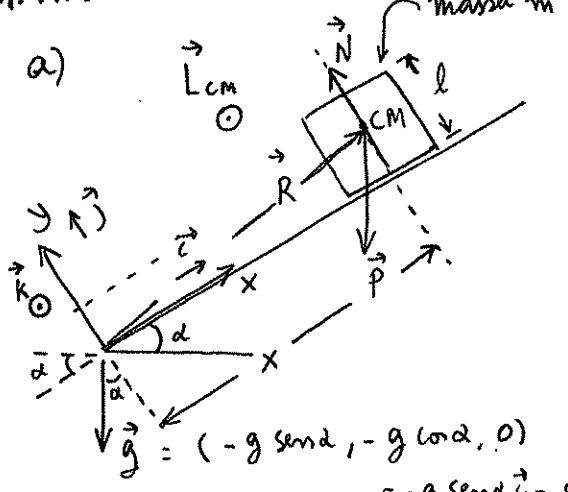


Efera homogênea:

$$\frac{M}{\frac{4}{3}\pi R^3} = \frac{dm}{dv} = \frac{dm}{r^2 \operatorname{sen}\phi dr d\theta d\phi}$$

$$\begin{aligned} I &= \int r^2 dm = \iiint_0^{2\pi} \iiint_0^{\pi} (r \operatorname{sen}\theta)^2 \frac{M}{\frac{4}{3}\pi R^3} r^2 \operatorname{sen}\theta dr d\theta d\phi \\ &= \frac{2}{5} MR^2 \end{aligned}$$

### 1.1.1.1



Para o bloco (figura 1)

$$m \ddot{\vec{R}} = \vec{N} + \vec{P} \quad \textcircled{1} \quad (\text{equações do momento p/ o centro de massa})$$

fig 1

Como  $\vec{R} = \vec{x} + \frac{l}{2} \vec{j} \Rightarrow \ddot{\vec{R}} = \ddot{\vec{x}} + \left( \frac{d}{dt} \left( \frac{l}{2} \right) \vec{j} \right) = 0$ ,

$\vec{N} = N \vec{j} = (0, N, 0) \quad \text{e} \quad \vec{P} = m \vec{g} = -mg \sin \alpha \vec{i} - mg \cos \alpha \vec{j}$ ,  $\textcircled{1}$  fica

$$m \ddot{\vec{x}} = -mg \sin \alpha \vec{i} + (N - mg \cos \alpha) \vec{j}$$

ou

$$(m \ddot{x}, 0, 0) = (-mg \sin \alpha, N - mg \cos \alpha, 0)$$

de onde

$$m \ddot{x} = -mg \sin \alpha \Rightarrow \ddot{x} = -g \sin \alpha \quad (\text{aceleração do CM}) \textcircled{2}$$

e  $0 = N - mg \cos \alpha \Rightarrow N = mg \cos \alpha \quad (\text{"reação" normal}) \textcircled{3}$ .

Equações para o momento angular:

$$\frac{d}{dt} (\vec{L}_{cm} + \vec{L}_{int}) = (\vec{x}) \times \vec{N} + \vec{R} \times \vec{P} \quad \textcircled{4}$$

$$= \vec{0} \quad (\text{o corpo não gira em relação ao CM})$$

Note que, para o torque da força  $\vec{N}$ , estamos implicitamente assumindo que essa força, como  $\vec{P}$ , deve "atravessar o CM", para que não se faça um torque capaz de variar  $\vec{L}_{int}$ . Se houvesse atrito as coisas seriam diferentes.

Como

$$\vec{L}_{CM} = \vec{R} \times (m \vec{R}) \Rightarrow \frac{d\vec{L}_{CM}}{dt} = m \overset{\overset{\rightarrow}{R}}{\underset{=0}{\times}} \overset{\overset{\rightarrow}{R}}{\underset{=0}{\times}} + m \vec{R} \times \ddot{\vec{R}}$$

$$\Rightarrow \frac{d\vec{L}_{CM}}{dt} = m \vec{R} \times \ddot{\vec{R}} \quad (3) ,$$

$$x \vec{i} \times \vec{N} = x \vec{i} \times (\underset{\vec{k}}{N}) = x N \underset{\vec{i}}{i} \times \underset{\vec{j}}{j} = x N \underset{\vec{k}}{k} = (0, 0, x N) \quad (4)$$

$$\begin{aligned} e \vec{R} \times \vec{P} &= (x \vec{i} + \frac{\ell}{2} \vec{j}) \times (-mg \sin \alpha \vec{i} - mg \cos \alpha \vec{j}) \\ &= -x mg \sin \alpha \underset{\vec{i}}{i} \times \underset{\vec{i}}{i} - x mg \cos \alpha \underset{\vec{k}}{k} \times \underset{\vec{j}}{j} \\ &\quad - \frac{\ell}{2} mg \sin \alpha \underset{\vec{j}}{j} \times \underset{\vec{i}}{i} - \frac{\ell}{2} mg \cos \alpha \underset{\vec{k}}{k} \times \underset{\vec{j}}{j} \\ &= (\frac{\ell}{2} mg \sin \alpha - x mg \cos \alpha) \underset{\vec{k}}{k} \quad (5) \end{aligned}$$

temos, colocando (3), (4) e (5) em (2),

$$\begin{aligned} m \vec{R} \times \ddot{\vec{R}} &= (x N + \frac{\ell}{2} mg \sin \alpha - x mg \cos \alpha) \underset{\vec{k}}{k} \\ (x \vec{i} + \frac{\ell}{2} \vec{j}) \times (\ddot{x} \vec{i}) &= x \ddot{x} \underset{\vec{i}}{i} \times \underset{\vec{i}}{i} + \frac{\ell}{2} \ddot{x} \underset{\vec{k}}{k} \times \underset{\vec{j}}{j} \end{aligned}$$

ou

$$-\frac{\ell}{2} \ddot{x} = x N + \frac{\ell}{2} mg \sin \alpha - x mg \cos \alpha \quad (6) ,$$

equação que implica que existe uma variação do momento angular do CM no sistema de eixos usado.

Note que em virtude da equação ⑩ ( $N = mg \cos \alpha$ ), ⑥ fica

$$-\frac{l}{2} \ddot{x} = \frac{l}{2} mg \sin \alpha \Rightarrow \ddot{x} = -g \sin \alpha,$$

equivalente à equação ⑨.

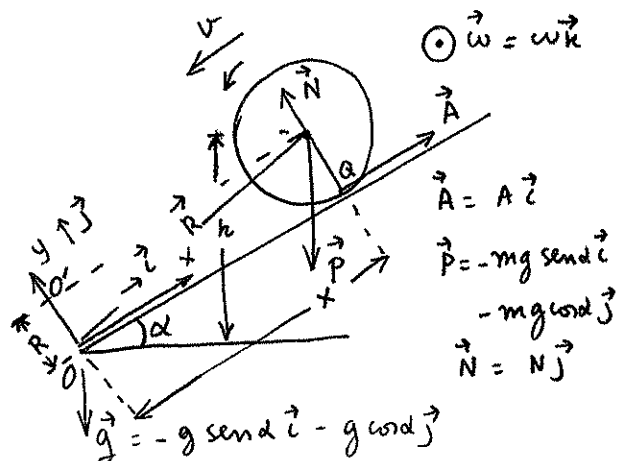


fig 2: cilindro  
de raio  $R$ ,  
massa  $m$ .

$$I = \frac{mR^2}{2}$$

relações ao  
eixo do cilindro.

Ao lado temos o caso do cilindro. Por comodidade supomos que ele dexe, para que  $\vec{\omega} = \omega \vec{k}$ .

$\vec{R} = x \vec{i} + R \vec{j}$  é a posição do CM. Note que

$$|\vec{R}| \neq R.$$

Como o contato é "puntual", supomos que  $\vec{N}$  "atravessa o CM".

Quando o ponto Q no cilindro

está em contato com a rampa sua velocidade deve ser nula, sendo portanto  $\vec{A}$  um atrito estático.

Para o movimento do centro de massas escrevemos

$$m \ddot{\vec{R}} = \vec{N} + \vec{P} + \vec{A} \Rightarrow \ddot{x} \vec{i} = (A - mg \sin \alpha) \vec{i} + (N - mg \cos \alpha) \vec{j}$$

$$\Rightarrow \ddot{x} = A - mg \sin \alpha \quad ⑦$$

$$\Rightarrow 0 = N - mg \cos \alpha \Rightarrow N = mg \cos \alpha \quad ⑧$$

$A$  é desconhecido e o problema não terminou para  $\ddot{x}$ !

1.11.4

Está clara para você a insuficiência da equação ⑦ para a determinação de  $\ddot{x}$ ? Você pensa estar autorizado, por exemplo, a escrever  $A = \mu N$  com  $\mu$  constante?

Para a equação do momento angular  $\frac{d\vec{L}}{dt} = \vec{\tau}^{(e)} = \text{torque "total"}$  devido às forças externas é preciso cuidado. Isso queremos o sistema de referência com origem em O. Os resultados finais não devem variar com a escolha de uma outra origem, como O' na figura 2, mas os passos intermediários poderiam dar a impressão de estarmos fazendo algo muito diferente.

Antes de continuar, comece pensando no seguinte: está claro para você que nesse problema  $\vec{N}$ ,  $\vec{P}$  e  $\vec{A}$  são externas? Externas a quem?

Agora, em relação a O escrevemos

$$\begin{aligned}\frac{d\vec{L}}{dt} &= \frac{d}{dt} (\vec{L}_{cm} + \vec{L}_{int}) = \vec{R} \times m \ddot{\vec{R}} + I \dot{\vec{\omega}} \\ &\quad \underbrace{\qquad\qquad\qquad}_{I \dot{\vec{\omega}}} \quad \underbrace{\qquad\qquad\qquad}_{\vec{R} \times (m \ddot{\vec{R}})} \rightarrow \text{lembre-se: } \vec{R} \times m \ddot{\vec{R}} = \vec{0} \quad \underbrace{\qquad\qquad\qquad}_{= \vec{\tau} \times A \vec{z} = \vec{0}} \\ &= \vec{R} \times (\vec{N} + \vec{P} + \vec{A}) + I \frac{d\vec{\omega}}{dt} \vec{k} = \vec{R} \times \vec{P} + \underbrace{(\vec{x} \vec{i}) \times \vec{N} + (\vec{x} \vec{i}) \times \vec{A}}_{\text{isto equivale a } \vec{R} \times \vec{N}:} \\ &\quad \underbrace{m \ddot{\vec{R}}}_{\vec{R} \times} \quad \downarrow \\ &\quad \vec{R} \times \vec{N} = (\vec{x} \vec{i} + R \vec{j}) \times \vec{N} \vec{j} \\ &\quad = (\vec{x} \vec{i}) \times \vec{N} \vec{j} + R \vec{N} \vec{j} \times \vec{j} \\ &\quad = 0\end{aligned}$$

$$\therefore \vec{R} \times m \ddot{\vec{R}} + I \dot{\vec{\omega}} = \vec{R} \times (\vec{N} + \vec{P} + \vec{A}) + I \dot{\vec{\omega}} \vec{k} = \vec{R} \times (\vec{N} + \vec{P}), \text{ ou ainda}$$

1.11.5

$$\vec{R} \times \vec{A} + I \dot{\omega} \vec{k} = \vec{0} \Rightarrow I \dot{\omega} \vec{k} = - (\vec{x}^2 + R^2) \times A \vec{i}$$
$$= - R A \vec{j} \times \vec{i} = \underline{R A \vec{k}},$$

ou seja,

$$I \dot{\omega} = R A \textcircled{9}. \quad \left\{ \begin{array}{l} \text{Vc, alternativamente,} \\ \text{pensando na rotação} \\ \text{do cilindro em relação} \\ \text{ao centro de massa,} \\ \text{poderia imediatamente} \\ \text{"manjar" essa equação.} \end{array} \right.$$

Devemos agora estabelecer a relação que existe entre  $\dot{\omega}$  e  $\ddot{x}$ . Mostraremos que se a velocidade de Q é zero no contato devemos ter a "familiar" relação  $v_{cn} = \dot{x} = \omega R \Rightarrow \ddot{x} = \ddot{\omega} R \textcircled{10}$ , que colocada em  $\textcircled{9}$  nos dá

$$I \frac{\ddot{x}}{R} = R A \textcircled{11}$$

Vejamos. Na figura abaixo examinamos a cinemática do ponto Q no cilindro em rotação.

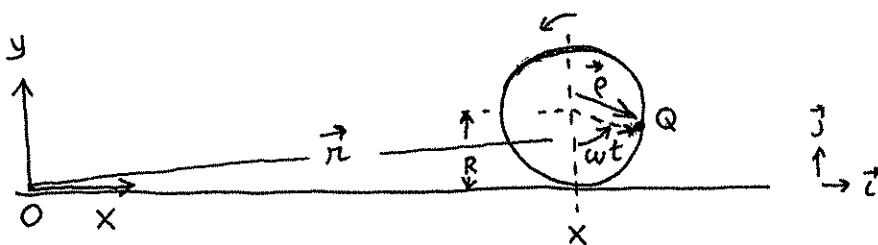


fig 3

1.11.6

Pela figura 3 a posição de Q é

$$\begin{aligned}\vec{r} &= \vec{x} \hat{i} + R \vec{j} + \vec{p} \\ &= \vec{x} \hat{i} + R \vec{j} + R \sin \omega t \hat{i} - R \cos \omega t \vec{j}.\end{aligned}$$

Então, sendo  $\frac{dx}{dt} = \dot{x} = V_{CM}$ ,

$$\frac{d\vec{r}}{dt} = V_{CM} \hat{i} + \underbrace{\frac{dR}{dt} \vec{j}}_0 + R \omega \cos \omega t \hat{i} + R \omega \sin \omega t \vec{j}.$$

É claro pela figura que, no instante  $t=0$ ,  $\omega t=0$  e Q está em contato com o plano (que está em repouso). Se não há deslizamento,

$$\left. \frac{d\vec{r}}{dt} \right|_{t=0} = V_{CM} \hat{i} + R \omega \hat{i} = \vec{0} \Rightarrow V_{CM} = \dot{x} = \omega R.$$

Note: em  $t=0$ ,  $\cos \omega t=1$  e  $\sin \omega t=0$

Isto explica a equação ⑩.

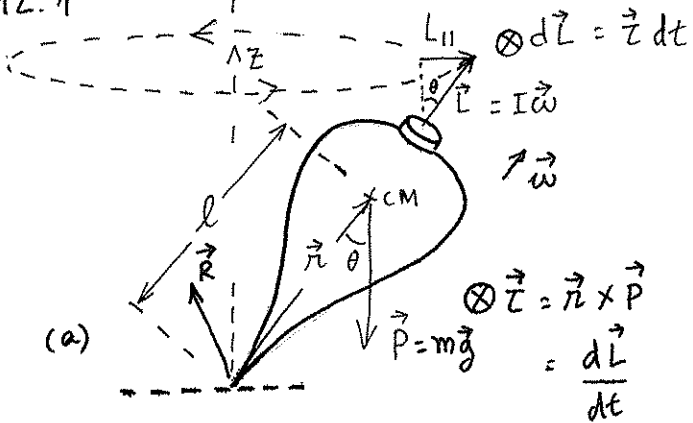
Substituindo A por ⑪ e colocando o resultado em ⑦ teremos

$$\ddot{x} = \frac{I}{R^2} \ddot{\theta} - mg \operatorname{sen} \theta \quad ⑫.$$

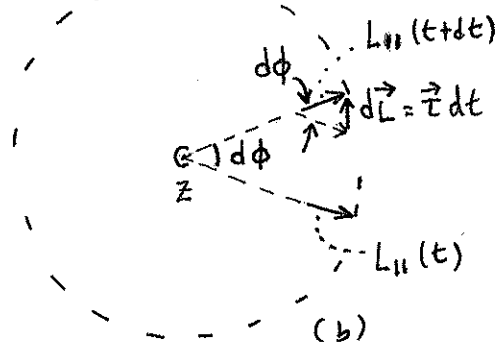
Observe que se  $I = \frac{mR^2}{2}$ , teremos  $\ddot{\theta} = -2g \operatorname{sen} \theta$ , independentemente do valor de R.

b) A razão pela qual a energia  $E = \frac{mv_{CM}^2}{2} + \frac{I\omega^2}{2} + mgh$  se conserva é simples. Sendo  $\vec{V}_A = 0$  no contato, é nulo o trabalho de  $\vec{A}$ !

1.12.1



(a)



(b)

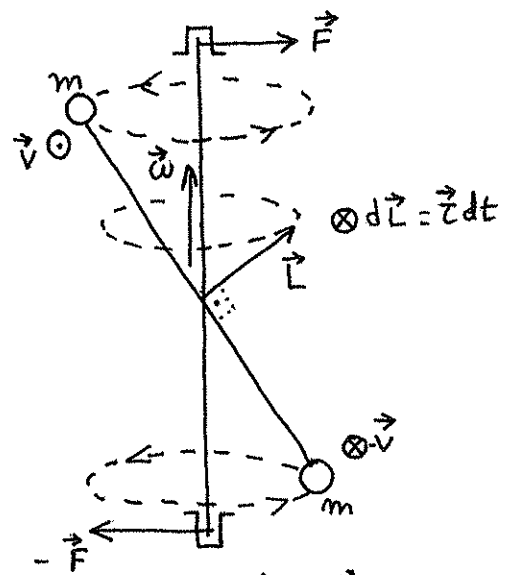
fig 1: precessão de um giroscópio em ventos lateral (a) e superior (b).

Nos guiaremos pelas figuras acima e pela aproximação em que sendo  $|\vec{\omega}|$  relativamente grande o momento angular se aproxima por  $\vec{L} = I\vec{\omega}$ . Desconsideramos também a nutação, que faz  $\theta$  ser variável.

$L_{||}$  faz um movimento circular uniforme:  $|d\vec{L}| = L_{||} d\phi$   
 $\Rightarrow |d\vec{L}| = L \sin\theta d\phi$ . Como  $|d\vec{L}| = |\vec{\tau} dt| = |\vec{\tau}| dt = |\vec{n} \times \vec{p}| dt$   
 $= l p \sin\theta dt$ , temos  $l p \sin\theta dt = L \sin\theta d\phi = I\omega \sin\theta d\phi \Rightarrow$   
 $\frac{d\phi}{dt} = \dot{\phi} = \text{velocidade angular de precessão} = \frac{lp}{I\omega}$

Um caso semelhante de precessão de  $\vec{L}$  está ao lado.

O halteres gira apoiado em mancais sem atrito. As forças  $\vec{F}$  e  $-\vec{F}$  aplicadas pelos mancais "produzem" o torque  $\vec{\tau}$  necessário.

fig 2:  $\vec{v}$  e  $-\vec{v}$  são as velocidades das massas.

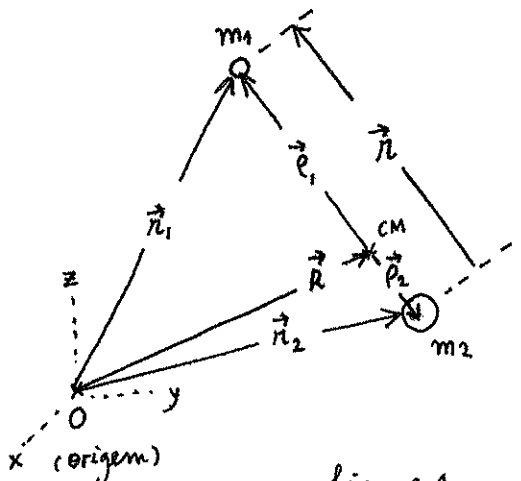


figura 1

Acompanhemos a figura ao lado, com

$$\vec{R} = \frac{\vec{m}_1 \vec{r}_1 + \vec{m}_2 \vec{r}_2}{m_1 + m_2} \quad (1).$$

$\vec{r}$  é a posição da massa 1 em relação à massa 2.  $\vec{r}_1$  é a posição da massa 1 em relação ao centro de massa (CM)

de massa (CM) e  $\vec{r}_2$  é a posição da massa 2 em relação ao CM. O é a origem do referencial "de laboratório" (Lab), que vê o centro de massas em movimento.

Pela figura temos

$$\vec{r}_1 = \vec{R} + \vec{r}_1 \quad (2), \quad \vec{r}_2 = \vec{R} + \vec{r}_2 \quad (3) \text{ e } \vec{r} = \vec{r}_1 - \vec{r}_2 \quad (4).$$

Por (2) e (1), levando (4) em conta,

$$\vec{r}_1 = \vec{r}_1 - \vec{R} = \vec{r}_1 - \frac{m_1 \vec{r}_1 + m_2 \vec{r}_2}{m_1 + m_2} = \frac{m_2 (\vec{r}_1 - \vec{r}_2)}{m_1 + m_2} = \frac{m_2}{m_1 + m_2} \vec{r},$$

o que nos dá

$\vec{v}'_1$  = velocidade da massa 1 em relação ao centro de massas

$$= \frac{d\vec{r}_1}{dt} = \frac{m_2}{m_1 + m_2} \frac{d\vec{r}}{dt} \Rightarrow \vec{v}'_1 = \left( \frac{m_2}{m_1 + m_2} \right) \vec{r} \quad (5).$$

Agora, por (3) e (1), levando (4) em conta,

$$\vec{r}_2 = \vec{r}_2 - \vec{R} = \frac{m_1 (\vec{r}_2 - \vec{r}_1)}{m_1 + m_2} = -\frac{m_1}{m_1 + m_2} (\vec{r}_1 - \vec{r}_2) = -\left( \frac{m_1}{m_1 + m_2} \right) \vec{r},$$

dando  $\vec{v}'_2 = \frac{d\vec{r}_2}{dt} = -\left( \frac{m_1}{m_1 + m_2} \right) \vec{r} \quad (6)$

1.13. 2

Examinando as equações (5) e (6), chamando  $\vec{r}$  de  $\vec{w}$ , é fácil perceber que  $\vec{v}_1$  e  $\vec{v}'_1$  são antiparalelos. Por (5),

$$\vec{v}'_1 = \left( \frac{m_2}{m_1 + m_2} \right) \vec{w} = \underbrace{\frac{m_2}{m_1} \left( \frac{m_1}{m_1 + m_2} \right)}_{(-\vec{v}'_2)} \vec{w} = \frac{m_2}{m_1} (-\vec{v}'_2) = -\frac{m_2}{m_1} \vec{v}'_2 \text{ (7).}$$

Isto significa que em relações

ao centro de massas (referencial do

CM, em que o centro de massas está

em repouso) as velocidades das

massas 1 e 2 sempre são opostas, antes e depois de uma eventual colisão (figura 2). Além disso, (7) pode ser interpretada assim:

$$\vec{v}'_1 = -\frac{m_2}{m_1} \vec{v}'_2 \Rightarrow m_1 \vec{v}'_1 = -m_2 \vec{v}'_2 \Rightarrow m_1 \vec{v}'_1 + m_2 \vec{v}'_2 = \vec{0}.$$

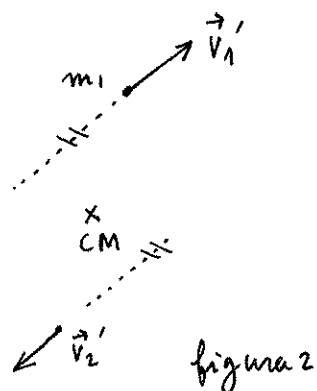


figura 2

Então, como esperado,  $\vec{0}$  é a quantidade de movimento do sistema no referencial do centro de massas, que automaticamente se conserva.

Suponhamos agora que ocorre uma colisão e que ela é elástica. Nas figuras abaixo vamos caracterizar o que ocorre nos sistemas lab (de laboratório) e CM (do centro de massas). Vamos considerar que uma

1.13.3

das partículas, inicialmente, estava em repouso.

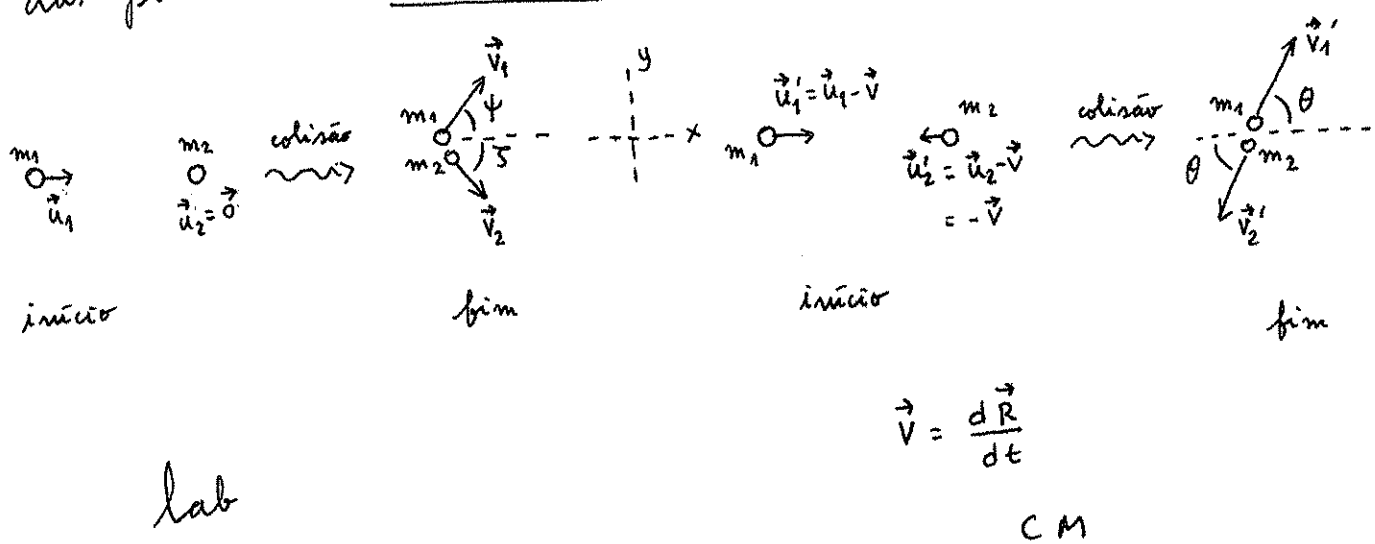


figura 3

$$\begin{aligned} \text{Na figura 3 } \vec{V} &= \frac{d\vec{R}}{dt} = \frac{m_1}{m_1+m_2} \frac{d\vec{r}_1}{dt} + \frac{m_2}{m_1+m_2} \frac{d\vec{r}_2}{dt} \\ &= \underbrace{\frac{m_1}{m_1+m_2} \vec{u}_1 + \frac{m_2}{m_1+m_2} \vec{u}_2}_{=\vec{0}} = \frac{m_1}{m_1+m_2} \vec{v}_1 + \frac{m_2}{m_1+m_2} \vec{v}_2 = \text{velocidade do} \\ &\quad \text{centro de massas, que } \underline{\text{não varia}} \text{ na colisão.} \end{aligned}$$

Agora, podemos aplicar as leis de conservação do momento (sempre válida) e da energia (pois a colisão é elástica) no referencial do centro de massas. Temos, no referencial CM, levando-se em conta o sistema x y dado,

$$m_1 u'_1 - m_2 u'_2 = 0 \quad (8) \quad (\text{momento inicial})$$

$$\left. \begin{aligned} m_1 v'_1 \cos \theta - m_2 v'_2 \cos \theta &= 0 \quad (9) \\ m_1 v'_1 \sin \theta - m_2 v'_2 \sin \theta &= 0 \quad (10) \end{aligned} \right\} \Rightarrow \begin{aligned} m_1 v'_1 - m_2 v'_2 &= 0 \quad (11) \\ \text{por (9) ou (10).} \end{aligned}$$

$$\frac{m_1}{2} (u'_1)^2 + \frac{m_2}{2} (u'_2)^2 = \frac{m_1}{2} (v'_1)^2 + \frac{m_2}{2} (v'_2)^2 \quad (\text{colisão elástica}) \quad (12).$$

1.13.4

De (8) e (11) temos  $u'_1 = \frac{m_2}{m_1} u'_2$  (13) e  $v'_1 = \frac{m_2}{m_1} v'_2$  (14).

Colorando (13) e (14) em (12) temos

$$\begin{aligned}\frac{m_1}{2} \frac{m_2^2}{m_1^2} (u'_1)^2 + \frac{m_2}{2} (u'_2)^2 &= \frac{1}{2} \left( \frac{m_2^2}{m_1} + m_2 \right) (u'_2)^2 \\ &= \frac{m_1}{2} \frac{m_2^2}{m_1^2} (v'_2)^2 + \frac{m_2}{2} (v'_2)^2 = \frac{1}{2} \left( \frac{m_2^2}{m_1} + m_2 \right) (v'_2)^2\end{aligned}$$

$\Rightarrow u'_2 = v'_2$  (15). Voltando com (15) em (12), finalmente,

temos

$$\frac{m_1}{2} (u'_1)^2 + \frac{m_2}{2} (v'_2)^2 = \frac{m_1}{2} (v'_1)^2 + \frac{m_2}{2} (v'_2)^2 \Rightarrow u'_1 = v'_1 \quad (16).$$

As relações (15) e (16) mostram que, no referencial do centro de massa a colisão elástica produz apenas um dessvio das partículas, sem alteração no seu módulo, como mostra a figura 4.

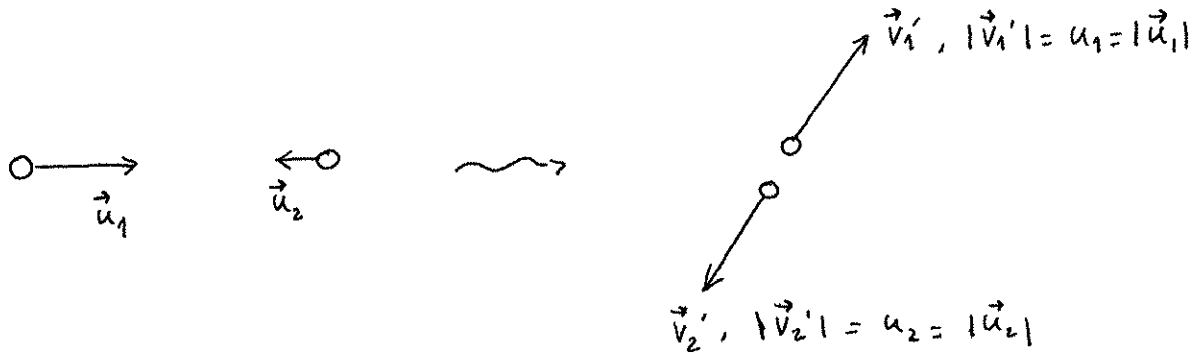


figura 4: colisão elástica no referencial do CM.

1.14.1

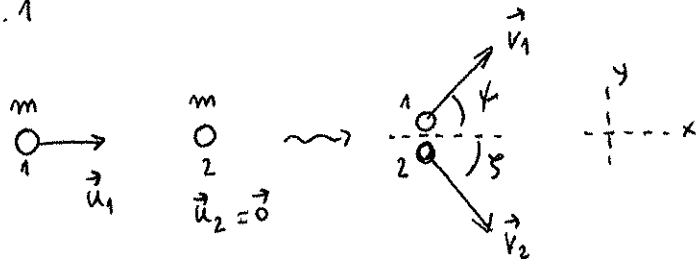


figura 1

Acompanhamos a figura abaixo, no referencial lab (questão 13 dessa lista).

$$\left\{ \begin{array}{l} m u_1 = m v_1 \cos \varphi + m v_2 \cos \sigma \quad (1) \text{ (conserv. do momento, eixo } x) \\ 0 = m v_1 \sin \varphi + m v_2 \sin \sigma \quad (2) \text{ (conserv. do momento, eixo } y) \\ \frac{m}{2} u_1^2 = \frac{m}{2} v_1^2 + \frac{m}{2} v_2^2 \Rightarrow u_1^2 = v_1^2 + v_2^2 \quad (\text{cons. da energia}) \quad (3) \end{array} \right.$$

Note que a conservação do momento pode também ser escrita

como

$$m \vec{u}_1 = m \vec{v}_1 + m \vec{v}_2 \Rightarrow \vec{u}_1 = \vec{v}_1 + \vec{v}_2 \quad (4)$$

$$\begin{aligned} \text{Ocorre que de (4) temos } \vec{u}_1 \cdot \vec{u}_1 &= u_1^2 = (\vec{v}_1 + \vec{v}_2) \cdot (\vec{v}_1 + \vec{v}_2) \\ &= \vec{v}_1 \cdot \vec{v}_1 + \vec{v}_1 \cdot \vec{v}_2 + \vec{v}_2 \cdot \vec{v}_1 + \vec{v}_2 \cdot \vec{v}_2 \\ &\stackrel{\sim}{=} \| \vec{v}_1 \|^2 = v_1^2 \qquad \qquad \stackrel{\sim}{=} \vec{v}_1 \cdot \vec{v}_2 \\ &= v_1^2 + v_2^2 + 2 \vec{v}_1 \cdot \vec{v}_2 \quad (5) \end{aligned}$$

De (5) e (3) temos

$$u_1^2 = v_1^2 + v_2^2 = v_1^2 + v_2^2 + 2 \vec{v}_1 \cdot \vec{v}_2 \Rightarrow \vec{v}_1 \cdot \vec{v}_2 = 0 \quad (6) \therefore$$

ou  $\vec{v}_1 = 0$  e  $\vec{v}_2 = \vec{u}_1$  para conservar o momento ou então  $\vec{v}_1$  e  $\vec{v}_2$  são perpendiculares ( $\varphi + \sigma = \pi/2$ ). Observe,

no entanto, que se conhecemos  $u_1$ , sobram em geral como incógnitas  $v_1$ ,  $v_2$ ,  $\varphi$  e  $\sigma$ . Como (1), (2) e (3) são apenas 3 equações, os principípios de conservação

1.14.2

do momento e energia são insuficientes, em geral, para a resolução do problema.

Uma coisa que é possível é correlacionar (figura abaixo,  $\theta$  com  $\phi$  ou  $\psi$ ) (figura 2)

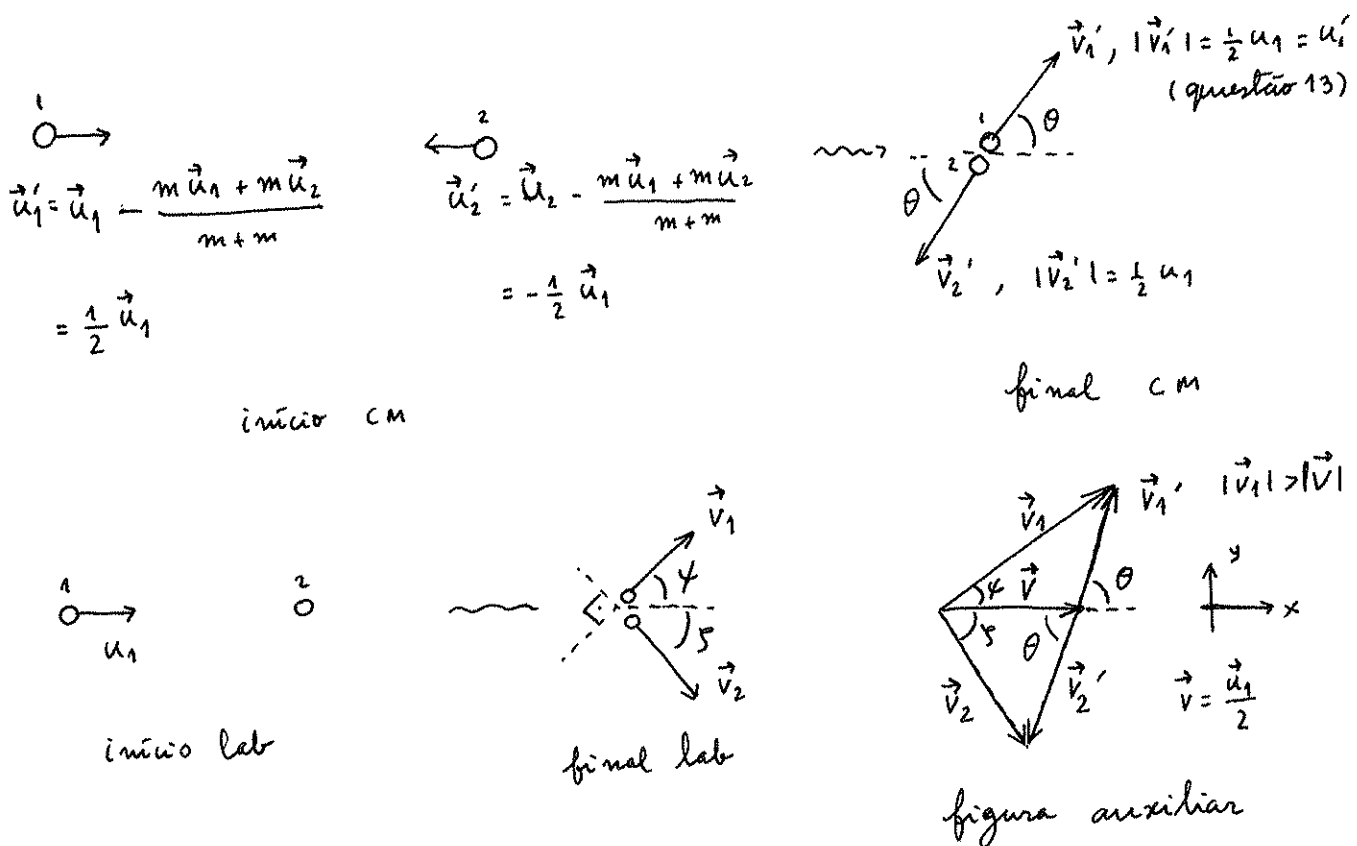


figura 2

A figura auxiliar se explica assim:  $\vec{v}$  = velocidade do centro de massa =  $\frac{m_1 \vec{u}_1 + m_2 \vec{u}_2}{m_1 + m_2} = \frac{m_1 \vec{u}_1}{2m} = \frac{\vec{u}_1}{2}$ .

Na figura auxiliar  $\vec{v}_1 = \vec{v} + \vec{v}_1' \Rightarrow \vec{v}_1' = \vec{v}_1 - \vec{v}$  = velocidade relativa da partícula 1 em relação ao CM. Da mesma forma  $\vec{v}_2' = \vec{v}_2 - \vec{v}$ . Então a figura auxiliar

1.14.3

corresponde precisamente às definições de  $\vec{v}_1'$  e  $\vec{v}_2'$ . Observe (ver questão 13) que no referencial CM  $\vec{v}_1'$  e  $\vec{v}_2'$  são anti-paralelos, sendo  $\theta$  o desvio da partícula 1 no CM.

Pela figura auxiliar temos

$$v_1 \cos \varphi = v + v_1' \cos \theta \quad (\text{eixo } x) \quad (7)$$

$$\text{e } v_1 \sin \varphi = v_1' \sin \theta \quad (\text{eixo } y) \quad (8)$$

Dividindo (8) por (7) temos  $\tan \varphi = \frac{v_1' \sin \theta}{v + v_1' \cos \theta}$  (9). Ocorre

que pela figura 2 temos  $v_1' = |\vec{v}_1'| = \frac{1}{2} u_1$  e  $v = \frac{1}{2} u_1$ . Então

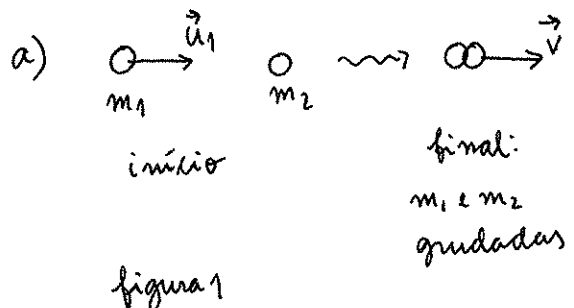
(9) fica

$$\tan \varphi = \frac{\frac{1}{2} u_1 \sin \theta}{\frac{1}{2} u_1 + \frac{1}{2} u_1 \cos \theta} \Rightarrow \tan \varphi = \frac{\sin \theta}{1 + \cos \theta} \quad (10).$$

(10) se escreve formalmente como  $\varphi = \arctan \left( \frac{\sin \theta}{1 + \cos \theta} \right)$ . Como

$$\text{vimos, } \gamma = \frac{\pi}{2} - \varphi$$

1.15.1



$$m_1 u_1 = (m_1 + m_2) v \text{ (momento)}$$

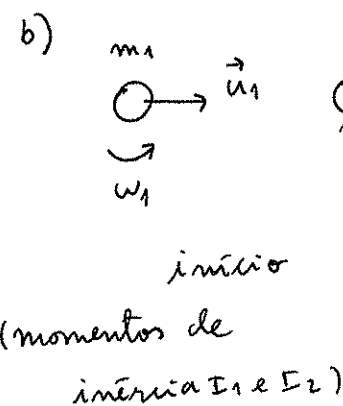
$$\Rightarrow v = \frac{m_1}{m_1 + m_2} u_1 \quad (\wedge)$$

$$\Delta E = \frac{m_1 + m_2}{2} v^2 - \frac{m_1}{2} u_1^2$$

$$= \frac{m_1 + m_2}{2} \left( \frac{m_1}{m_1 + m_2} u_1 \right)^2 - \frac{m_1}{2} u_1^2$$

$$= \frac{1}{2} \left[ \frac{m_1^2}{m_1 + m_2} - m_1 \right] u_1^2 = -\frac{m_1 m_2}{2(m_1 + m_2)} u_1^2$$

Pode ocorrer desvio  
nesse caso?



$$m_1 u_1 = (m_1 + m_2) v \text{ (momento)}$$

$$\Rightarrow v = \frac{m_1}{m_1 + m_2} u_1 \quad (\wedge)$$

$$I_1 w_1 = I w$$

(momento  
angular)

$$\Delta E = \underbrace{\frac{m_1 + m_2}{2} v^2 - \frac{m_1}{2} u_1^2}_{\text{translação}} + \underbrace{\frac{I}{2} \cdot \omega^2 - \frac{I_1}{2} w_1^2}_{\text{rotação}}$$

Termine o cálculo de  $\Delta E$ . Podemos escrever  $I = I_1 + I_2$ ?

1.16. (2.2).1

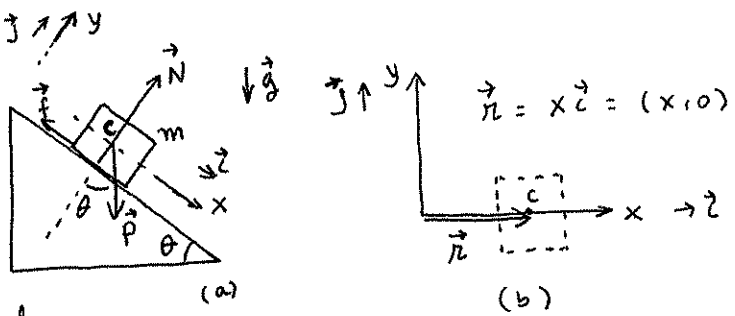


figura 1:

$$\begin{aligned}\vec{g} &= g \sin \theta \hat{i} - g \cos \theta \hat{j} \\ &= (g \sin \theta, -g \cos \theta)\end{aligned}$$

Na figura 1 (a) temos as forças sobre o bloco na hipótese de que ainda há um equilíbrio estático.  $\vec{f}$  é a força de atrito, que na hipótese de o bloco estar "subindo" teria sentido contrário ao indicado.

Na hipótese de o bloco estar "subindo" teria sentido contrário ao indicado.

Você deve estar em condições de escrever  $\vec{N} = N \hat{j}$  (1) ( $N$  sendo a projeção de  $\vec{N}$  sobre o eixo  $y$ ),  $\vec{p} = m g \sin \theta \hat{i} - m g \cos \theta \hat{j}$  (2)  $= m \vec{g}$  e  $\vec{f} = f \hat{i}$  (3) ( $f$  sendo a projeção de  $\vec{f}$  sobre o eixo  $x$ :  $f < 0$  na hipótese da figura). Pela figura 1 (b), a aceleração é  $\vec{a} = \frac{d^2 \vec{x}}{dt^2} = \frac{d^2}{dt^2} (x \hat{i}) = \frac{d^2 x}{dt^2} \hat{i}$  (4). Juntando tudo isso a segunda lei de Newton fica sendo

$$\begin{aligned}\vec{N} + \vec{p} + \vec{f} &= m \vec{a} \Rightarrow N \hat{j} + m g \sin \theta \hat{i} - m g \cos \hat{j} + f \hat{i} = m \frac{d^2 x}{dt^2} \hat{i} \\ \Rightarrow (m g \sin \theta + f) \hat{i} + (N - m g \cos \theta) \hat{j} &= m \underbrace{\frac{d^2 x}{dt^2}}_{\ddot{x}} \hat{i} \\ \Rightarrow \begin{cases} m g \sin \theta + f = m \ddot{x} & (5) \\ N - m g \cos \theta = 0 & (6) \end{cases}\end{aligned}$$

A equação (5), acima, nos interessa. Imediatamente antes do escorregamento  $\ddot{x} = 0$  e  $f = -\mu_s |\vec{N}| = -\mu_s N$  (supomos  $N > 0$ ). (5) fica então  $m g \sin \theta - \mu_s N = 0$  (7). Você deve poder mostrar que substituindo  $N$  por (6) em (7) temos  $\tan \theta = \mu_s$  (8). O valor máximo de  $\theta$  corresponde a uma solução "razoável" de (8) tal que  $\tan \theta = \tan \theta_{\max} = \mu_s$ .

1.16.(2.5).1

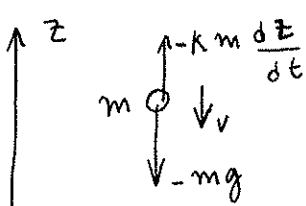


figura 1

Note que supomos, ao lado,

$$v = \frac{dz}{dt} < 0 \quad . \quad -km \frac{dz}{dt} \text{ será } \underline{\text{positiva}} \text{,}$$

representando força de resistência no sentido positivo, se opõe a v.

$$\text{2a. lei: } m \frac{dv}{dt} = -kmv - mg \Rightarrow \frac{dv}{dt} = -kv - g \Rightarrow \frac{dv}{kv + g} = -dt$$

$$\Rightarrow \frac{dv}{v + \frac{g}{k}} = -kt \Rightarrow \int_{v_0}^v \frac{dv}{v + \frac{g}{k}} = -k \int_0^t dt \quad (1) \quad (v_0 = \text{veloci-})$$

dade em  $t=0$ ,  $v = \text{velocidade no instante } t=0$ . Devemos obter

$$I = \int \frac{dv}{v + \frac{g}{k}} \quad . \quad \text{Com } u = v + \frac{g}{k}, \quad du = dv \text{ e então}$$

$$I = \int \frac{du}{u} = \ln u \quad (\text{considerando } u > 0).$$

Então, voltando a (1)

$$\int_{v_0}^v \frac{dv}{v + \frac{g}{k}} = \ln \left( v + \frac{g}{k} \right) - \ln \left( v_0 + \frac{g}{k} \right) = \ln \left[ \frac{\left( v + \frac{g}{k} \right)}{\left( v_0 + \frac{g}{k} \right)} \right] = -kt$$

$$\Rightarrow e^{-kt} = \frac{v + \frac{g}{k}}{v_0 + \frac{g}{k}} \Rightarrow v = -\frac{g}{k} + \left( v_0 + \frac{g}{k} \right) e^{-kt} \quad (2)$$

$$\text{Como } v = \frac{dz}{dt}, \quad dz = \left[ -\frac{g}{k} + \left( v_0 + \frac{g}{k} \right) e^{-kt} \right] dt \Rightarrow$$

1.16. (2.5). 2

$$\begin{aligned} \int_{z(0)=h}^z dz &= \int_0^t \left[ -\frac{g}{k} + \left( v_0 + \frac{g}{k} \right) e^{-kt} \right] dt \\ z(t) &= h - \frac{g}{k} t - \frac{k v_0 + g}{k^2} (e^{-kt} - 1) \end{aligned}$$

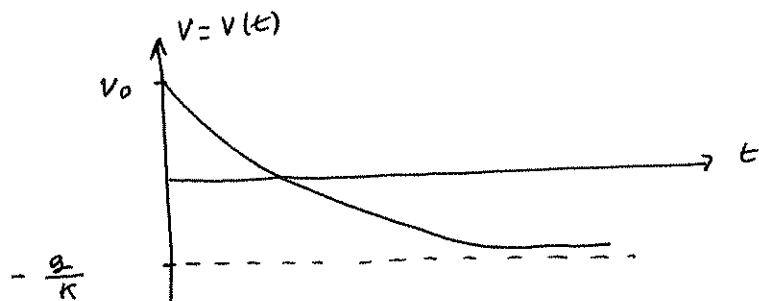
$$\Rightarrow z = h - \frac{g}{k} t - \frac{k v_0 + g}{k^2} (e^{-kt} - 1) \quad (3).$$

Observação: fazendo  $e^{-kt} = 1 - kt - \frac{k^2 t^2}{2} + \dots$  ( $k$  pequeno),

mostre que  $\underline{z = h - v_0 t - \frac{1}{2} g t^2 - \frac{v_0 k}{2} t^2 + \dots}$

primeira  
correção  
devida ao atrito

Nota: Você deveria poder levantar o gráfico de  $v(t)$  como um esboço. Exemplo abaixo para  $v_0 > 0$ .



$-\frac{g}{k}$  = vel. terminal (ver livro)

A que movimento poderia corresponder o gráfico acima?

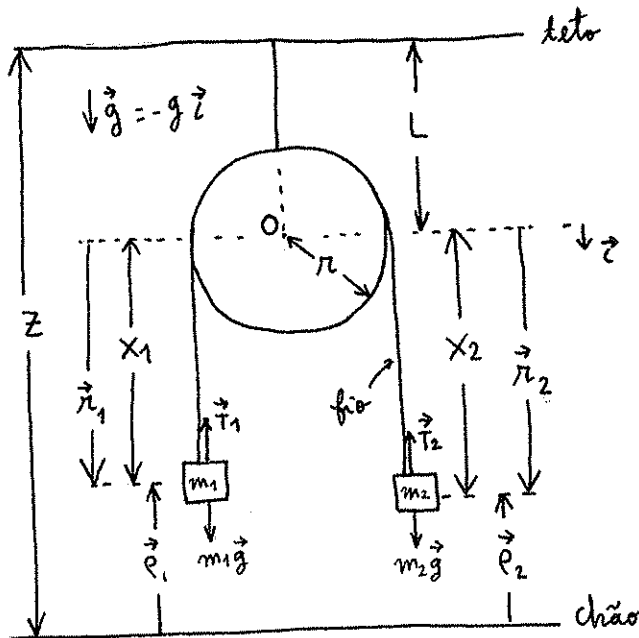


figura 1: máquina de Atwood. Sendo o fio inextensível,  $x_1 + x_2 = l_0 = \text{constante}$ .

A figura 1 nos serve de referência. Suponha  $m_1 > m_2$ .

Dois casos devem ser considerados:

- a) (centro O da polia em repouso ( $\ddot{z} = 0$  e  $\ddot{l} = 0$ )

Segundo a figura 1 (origem no centro de polia)

$$\vec{T}_1 = -T \hat{i} \quad (1), \quad \vec{T}_2 = -T \hat{i} \quad (2)$$

$$\text{e } x_1 + x_2 = l_0 = \text{constante} \quad (3),$$

o que implica  $\frac{d^2}{dt^2}(x_1 + x_2) = \underbrace{\frac{d^2}{dt^2}(l_0)}_{=0} \Rightarrow \ddot{x}_1 + \ddot{x}_2 = 0 \Rightarrow \ddot{x}_1 = -\ddot{x}_2 \quad (4).$

As leis de Newton ficam,

$$\text{para } m_1, \quad m_1 \ddot{x}_1 = m_1 \vec{g} + \vec{T}_1 \Rightarrow m_1 \ddot{x}_1 = m_1 g - T \quad (5)$$

$$\text{e para } m_2, \quad m_2 \ddot{x}_2 = m_2 \vec{g} + \vec{T}_2 \Rightarrow m_2 \ddot{x}_2 = m_2 g - T \quad (6).$$

Você pode substituir T, por (5), em (6). Levando depois (4) em conta teremos  $\ddot{x}_1 = -\ddot{x}_2 = g(m_1 - m_2)/(m_1 + m_2) \quad (7)$  e  $T = 2m_1m_2g/(m_1 + m_2) \quad (8)$ .

b) Se existe aceleração  $\alpha = -\ddot{z}$  do teto em relação ao chão

teremos de usar o chão como origem (por que?). Agora as posições,

em relação ao solo, são  $\vec{r}_1$  e  $\vec{r}_2$ . Temos  $\vec{r}_1 = -(z - L - x_1) \hat{i} \quad (9)$ ,

$\vec{r}_2 = -(z - L - x_2) \hat{i} \quad (10)$ . As leis de Newton serão agora  $m_1 \ddot{\vec{r}}_1 = (m_1 g - T) \hat{i} \quad (11)$  e  $m_2 \ddot{\vec{r}}_2 = (m_2 g - T) \hat{i} \quad (12)$ . A condição (4) continua sendo válida.

Você deveria poder mostrar que, neste caso,  $\ddot{x}_1 = (g - \alpha)(m_1 - m_2)/(m_1 + m_2) \quad (13)$ .

1.16 . (2.10).1 Movimento da carga q (massa m) no campo  $\vec{B} = B_0 \vec{j} = (0, B_0, 0)$ , lançada com velocidade  $\vec{v}_0 = (x_0, y_0, z_0)$  da posição  $\vec{r}_0 = (x_0, y_0, z_0)$ .

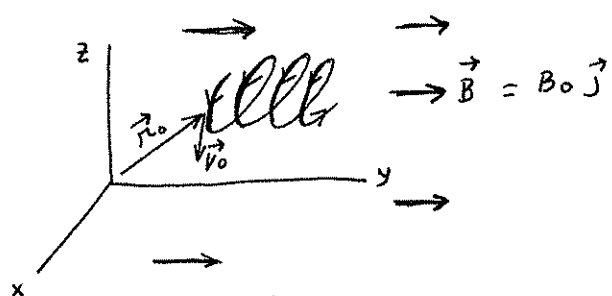


figura 1

Como na figura ao lado, espera-se um movimento helicoidal "contornando" algumas linhas de  $\vec{B}$ .

Temos

$$\vec{F} = q \vec{v} \times \vec{B} = m \frac{d^2 \vec{r}}{dt^2} \quad \text{on}$$

$$q \vec{v} \times \vec{B} = m \frac{d\vec{v}}{dt} \quad \text{. Com } \vec{v} = v_x \vec{i} + v_y \vec{j} + v_z \vec{k} = u \vec{i} + v \vec{j} + w \vec{k}$$

$(u = v_x, v = v_y, w = v_z)$ , temos

$$m \frac{du}{dt} \vec{i} + m \frac{dv}{dt} \vec{j} + m \frac{dw}{dt} \vec{k} = q \vec{v} \times \vec{B} = q \begin{vmatrix} \vec{i} & \vec{j} & \vec{k} \\ u & v & w \\ 0 & B_0 & 0 \end{vmatrix}$$

$$= q (-B_0 w, 0, u B_0)$$

$$= -q B_0 w \vec{i} + 0 \vec{j} + u B_0 \vec{k} ,$$

de onde

$$m \frac{du}{dt} = -q B_0 w \quad (1)$$

$$m \frac{dv}{dt} = 0 \Rightarrow v = v_y = \text{constante} \Rightarrow y = ut + y_0 \quad (2)$$

$$m \frac{dw}{dt} = q B_0 u \quad (3)$$

Agora (1) e (3) podem ser escritas como um par de equações acopladas,

1.16. (2.10). 2

$$\frac{du}{dt} = \dot{u} = -\frac{qB_0}{m} w \Rightarrow \dot{u} = -\alpha w \quad (4),$$

$$\frac{dw}{dt} = \dot{w} = \frac{qB_0}{m} u \Rightarrow \dot{w} = \alpha u \quad (5), \text{ com } \alpha = \frac{qB_0}{m} \quad (6).$$

Derivando (4):  $\ddot{u} = -\alpha \dot{w}$  (7). Colocando (5) em (7) temos

$$\ddot{u} = -\alpha (\alpha u) \Rightarrow \ddot{u} + \alpha^2 u = 0 \Rightarrow u = u(t) = A \cos \alpha t + B \sin \alpha t \quad (8)$$

Se  $u(t=0) = u_0 = \dot{x}_0$  = componente x da velocidade inicial,

temos

$$u(t=0) = A \cos \alpha \cdot 0 + B \sin \alpha \cdot 0 = A = u_0 = \dot{x}_0.$$

Então, voltando a (8),

$$u = \dot{x}_0 \cos \alpha t + B \sin \alpha t \quad (9).$$

Como  $u = \frac{dx}{dt}$ , temos, por (9),  $\frac{dx}{dt} = \dot{x}_0 \cos \alpha t + B \sin \alpha t$

$$\Rightarrow x(t) = \frac{\dot{x}_0}{\alpha} \sin \alpha t - \frac{B}{\alpha} \cos \alpha t + C \quad (10)$$

Se  $x(t=0) = x_0$  = componente x da posição inicial, temos

$$x(t=0) = x_0 = \frac{\dot{x}_0}{\alpha} \sin \alpha \cdot 0 - \frac{B}{\alpha} \cos \alpha \cdot 0 + C = x_0 \Rightarrow C = x_0 + \frac{B}{\alpha}$$

de onde, voltando a (10),

$$x(t) = \frac{\dot{x}_0}{\alpha} \sin \alpha t - \frac{B}{\alpha} (-1 + \cos \alpha t) + x_0$$

$$\Rightarrow x(t) = x_0 + \frac{\dot{x}_0}{\alpha} \sin \alpha t + \frac{B}{\alpha} (1 - \cos \alpha t) \quad (11).$$

Evidentemente o problema não termina aqui. Colocando (9) em (5) temos

$$\dot{w} = \frac{dw}{dt} = \alpha u = \alpha \dot{x}_0 \cos \alpha t + \alpha B \sin \alpha t, \text{ de onde}$$

1.16. (2.10).3

$$w = \dot{x}_0 \sin \alpha t - B \cos \alpha t + D \quad (12).$$

O corre que (12) deve ser compatível com (4),  $\dot{u} = -\alpha w$ .

Com  $u$  dada por (9) e  $w$  por (12) temos

$$-\dot{x}_0 \alpha \sin \alpha t + B \alpha \cos \alpha t = -\alpha (\dot{x}_0 \sin \alpha t - B \cos \alpha t + D),$$

de onde  $D=0$ . Voltando a (12) isso implica

$$w = \dot{x}_0 \sin \alpha t - B \cos \alpha t \quad (13).$$

Como em  $t=0$   $w = w(t=0) = w_0 = \dot{z}_0$ , temos

$$\dot{z}_0 = \dot{x}_0 \sin \alpha \cdot 0 - B \cos \alpha \cdot 0 \Rightarrow B = -\dot{z}_0 \quad (14)$$

Com isso (13) fica

$$w = \dot{x}_0 \sin \alpha t + \dot{z}_0 \cos \alpha t \quad (15)$$

Além disso, voltando a (9) e (10) devemos ter, por (14),

$$u = \dot{x}_0 \sin \alpha t - \dot{z}_0 \sin \alpha t \quad (16)$$

$$x(t) = x_0 + \frac{\dot{x}_0}{\alpha} \sin \alpha t - \frac{\dot{z}_0}{\alpha} (1 - \cos \alpha t) \quad (17).$$

Retornando a (15), com  $w = \frac{dz}{dt}$ ,

$$\frac{dz}{dt} = \dot{x}_0 \sin \alpha t + \dot{z}_0 \cos \alpha t \Rightarrow z(t) = -\frac{\dot{x}_0}{\alpha} \cos \alpha t + \frac{\dot{z}_0}{\alpha} \sin \alpha t + E \quad (18)$$

Como  $z(t=0) = -\frac{\dot{x}_0}{\alpha} \cos \alpha \cdot 0 + \frac{\dot{z}_0}{\alpha} \sin \alpha \cdot 0 + E = z_0$ , temos

$$E = z_0 + \frac{\dot{z}_0}{\alpha} \quad (19), \quad \text{de onde, de volta a (18),}$$

$$z(t) = z_0 + \frac{\dot{x}_0}{\alpha} (1 - \cos \alpha t) + \frac{\dot{z}_0}{\alpha} \sin \alpha t \quad (20).$$

1.16. (2.10).4

A projeção da trajetória sobre o plano  $xz$ , como sugere a fig. 1, deve ser circular. De fato, reescrevemos (17) e (20) nas formas

$$x(t) - x_0 + \frac{\dot{z}_0}{\alpha} = \frac{\dot{x}_0}{\alpha} \sin \alpha t + \frac{\dot{z}_0}{\alpha} \cos \alpha t \quad (21)$$

e

$$z(t) - z_0 - \frac{\dot{x}_0}{\alpha} = -\frac{\dot{x}_0}{\alpha} \cos \alpha t + \frac{\dot{z}_0}{\alpha} \sin \alpha t \quad (22).$$

Ocorre que

$$\frac{\dot{x}_0}{\alpha} \sin \alpha t + \frac{\dot{z}_0}{\alpha} \cos \alpha t = \sqrt{\left(\frac{\dot{x}_0}{\alpha}\right)^2 + \left(\frac{\dot{z}_0}{\alpha}\right)^2} \frac{\frac{\dot{x}_0}{\alpha} \sin \alpha t + \frac{\dot{z}_0}{\alpha} \cos \alpha t}{\sqrt{\left(\frac{\dot{x}_0}{\alpha}\right)^2 + \left(\frac{\dot{z}_0}{\alpha}\right)^2}} \quad (23).$$

Se definirmos  $\frac{(\dot{x}_0/\alpha)}{\sqrt{(\dot{x}_0/\alpha)^2 + (\dot{z}_0/\alpha)^2}} = \cos \theta$  e  $\frac{(\dot{z}_0/\alpha)}{\sqrt{(\dot{x}_0/\alpha)^2 + (\dot{z}_0/\alpha)^2}} = \sin \theta$ ,

reescrevemos (23) na forma

$$\frac{\dot{x}_0}{\alpha} \sin \alpha t + \frac{\dot{z}_0}{\alpha} \cos \alpha t = A \sin(\alpha t + \theta) \quad (24),$$

com  $A = \sqrt{(\dot{x}_0/\alpha)^2 + (\dot{z}_0/\alpha)^2}$  (25). Com essas definições, temos

$$\begin{aligned} -\frac{\dot{x}_0}{\alpha} \cos \alpha t + \frac{\dot{z}_0}{\alpha} \sin \alpha t &= A \left[ \left( \frac{-\dot{x}_0}{A} \right) \cos \alpha t + \left( \frac{\dot{z}_0}{A} \right) \sin \alpha t \right] \\ &= A (-\cos \theta \cos \alpha t + \sin \theta \sin \alpha t) \\ &= -A \cos(\alpha t + \theta) \quad (25) \end{aligned}$$

Com (24) e (25) reescrevemos (21) e (22) na forma

1.16. (2.10).5

$$x - x_0 + \frac{\dot{z}_0}{\alpha} = A \sin(\alpha t + \theta) \quad (26)$$

$$e \quad z - z_0 - \frac{\dot{x}_0}{\alpha} = -A \cos(\alpha t + \theta) \quad (27).$$

Em virtude de (27) e (28) temos

$$\left( x - x_0 + \frac{\dot{z}_0}{\alpha} \right)^2 + \left( z - z_0 - \frac{\dot{x}_0}{\alpha} \right)^2 = A^2,$$

a equação de uma circunferência no plano  $xz$  com centro em  $x_c = x_0 - \frac{\dot{z}_0}{\alpha}$  e  $z_c = z_0 + \frac{\dot{x}_0}{\alpha}$  e raio

$$A = \sqrt{\frac{(\dot{x}_0)^2}{\alpha^2} + \frac{(\dot{z}_0)^2}{\alpha^2}} = \frac{m}{qB_0} \sqrt{(\dot{x}_0)^2 + (\dot{z}_0)^2}$$

1.16.(2.11).1

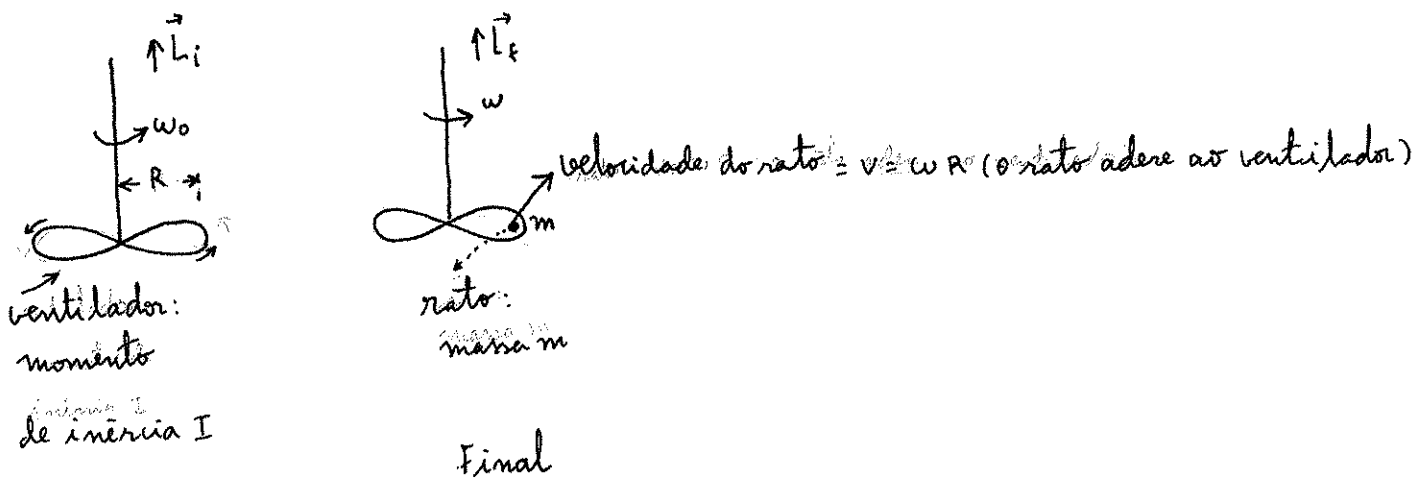


figura 1

A figura 1 serve de apoio. Apenas vamos nos preocupar com a conservação do momento angular. Há uma conservação de energia? E do momento linear?

$$\text{Em módulo, } L_i = I\omega_0 = L_f = \underbrace{I\omega + m(\omega R)R}_{\mathbf{v}} \quad (1)$$

$\underbrace{mVR}$  é um  
momento angular  
"de translação"  
do rato, ao  
final

De (1),

$$\frac{\omega}{\omega_0} = \frac{I}{I+MR^2} \quad (2).$$

1.16.(2.13).1

Essa questão se encontra bem explicada no texto TM. O modelo de resolução está também analisado em detalhe no problema 2.43 de TM, desenvolvido na questão 17 dessa lista. Vamos aqui então fazer um esboço auxiliar.

Se  $V(x) = -wd^2 \frac{x^2 + d^2}{x^4 + 8d^4}$  podemos dizer que  $V(x)$  é sempre negativo e que portanto não há  $x$  real tal que  $V(x) = 0$ . Por outro lado, se  $x$  é suficientemente grande, em módulo,  $d^2$  e  $d^4$  serão desprezíveis e  $V(x)$  vai tender a  $V(x) = -wd^2 \frac{x^2}{x^4} = -wd^2 \frac{1}{x^2}$ , de forma que  $\lim_{x \rightarrow \pm\infty} V(x) = 0$ .

Para os extremos, ou pontos de equilíbrio, temos

$$\begin{aligned} \frac{dV(x)}{dx} &= -F(x) = -(\text{força sobre a partícula}) = 0, \text{ ou} \\ \frac{d}{dx} \left[ -wd^2 \frac{x^2 + d^2}{x^4 + 8d^4} \right] &= -wd^2 \frac{d}{dx} \left[ \frac{(x^2 + d^2)}{x^4 + 8d^4} \right] = -wd^2 \frac{d}{dx} \underbrace{\left[ (x^2 + d^2)(x^4 + 8d^4)^{-1} \right]}_{\text{produto}} \\ &= -wd^2 \left[ \left( \frac{d}{dx} (x^2 + d^2) \right) (x^4 + 8d^4)^{-1} + (x^2 + d^2) \left( \frac{d}{dx} (x^4 + 8d^4)^{-1} \right) \right] \\ &= \frac{d(x^4 + 8d^4)^{-1}}{d(x^4 + 8d^4)} \frac{d(x^4 + 8d^4)}{d x} \\ &= - (x^4 + 8d^4)^{-2} 4x^3 \end{aligned}$$

$$= -wd^2 2x \left[ \frac{-x^4 - 2d^2x^2 + 8d^4}{(x^4 + 8d^4)^2} \right] = 0,$$

$\uparrow x=0$  é uma possibilidade.....

$\downarrow$  a outra raiz daria x imaginário!

$$\text{implicando } x^4 + 2d^2x^2 - 8d^4 = 0 \Rightarrow x^2 = \frac{-2d^2 + \sqrt{4d^4 + 32d^4}}{2}$$

$$\Rightarrow x = \pm d\sqrt{2}, \text{ além de } x=0.$$

1.16. (2.13).2

Devemos nos lembrar que  $U(x=0) = -Wd^2 \frac{0^2+d^2}{0^4+8d^4} = -\frac{W}{8}$  e

que  $U(x=-d\sqrt{2}) = -Wd^2 \frac{2d^2+d^2}{4d^4+8d^4} = -\frac{W}{6}$ .

Abaixo temos o gráfico de  $U(x)$ , no qual se notam o ponto de equilíbrio instável  $x=0$ , no qual  $U(x)$  tem um máximo local, e os pontos de equilíbrio estável  $x=\pm d\sqrt{2}$ , nos quais  $U(x)$  é mínimo. Quatro possibilidades para a energia mecânica  $E = T + U$  são consideradas. Para  $E=E_1$  o movimento é impossível. Para  $E=E_2$  a partícula pode oscilar nos espaços  $D_1$  ou  $D_2$ . Para  $E=E_3$  o movimento ocorre no intervalo  $D$ . Finalmente, para  $E=E_4 > 0$  o movimento é não-limitado, isto é, sem pontos de retorno (nos quais  $\dot{x}=0$ ).

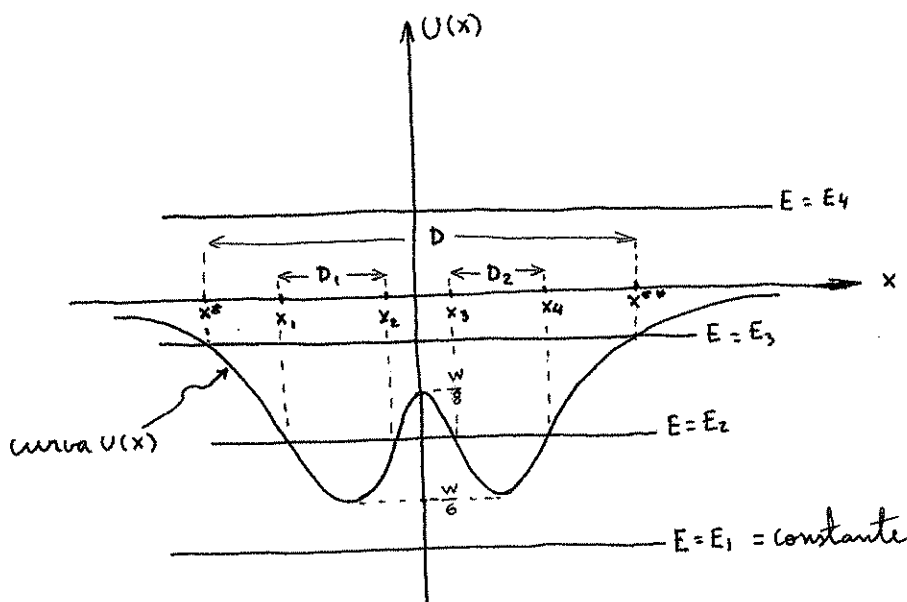
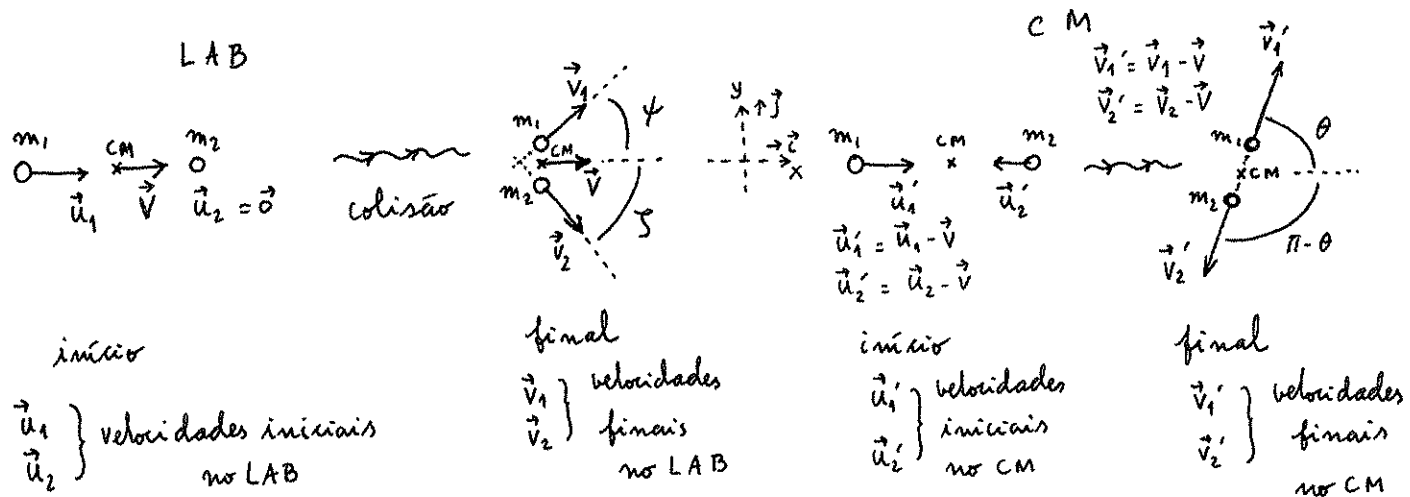


figura 1. Pontos de retorno : a) Para  $E=E_2$  :  $x_1$  e  $x_2$  ou  $x_3$  e  $x_4$ .  
b) Para  $E=E_3$  :  $x^*$  e  $x^{**}$ .

1.16.(9.6).1

Antes da abordagem do exemplo 9.6 de TM, vamos apresentar alguns resultados preliminares sobre a colisão de duas partículas de massas  $m_1$  e  $m_2$  no caso elástico (caso em que há conservação de energia, além do momento).

A figura abaixo explica as notações utilizadas, de acordo com TM. Consideraremos  $m_2$  inicialmente parada no referencial do laboratório (LAB). No referencial CM (centro de massa) em que o centro de massa permanece em repouso, as duas massas vão ter velocidades iniciais não-nulas. Os dois referenciais são inerciais.



$\vec{V}$  = velocidade do CM no sistema LAB

$$= \frac{m_1 \vec{u}_1 + m_2 \vec{u}_2}{m_1 + m_2} = \frac{m_1}{m_1 + m_2} \vec{u}_1$$

$$= \frac{m_1 \vec{v}_1' + m_2 \vec{v}_2'}{m_1 + m_2} \quad (1) \text{ a velocidade}$$

do CM é a mesma no início e no final por conservação do momento. ISSO OCORRE MESMO SE A ENERGIA NÃO SE CONSERVA.

$\vec{V}'$  = velocidade do CM no sistema CM =  $\vec{0}$

$$= \frac{m_1 \vec{u}_1' + m_2 \vec{u}_2'}{m_1 + m_2}$$

$$= \frac{m_1 \vec{v}_1' + m_2 \vec{v}_2'}{m_1 + m_2} \quad (2)$$

figura 1: Colisão de  $m_1$  com  $m_2$  nos sistemas LAB e CM.

Não é muito difícil perceber que, no referencial CM,

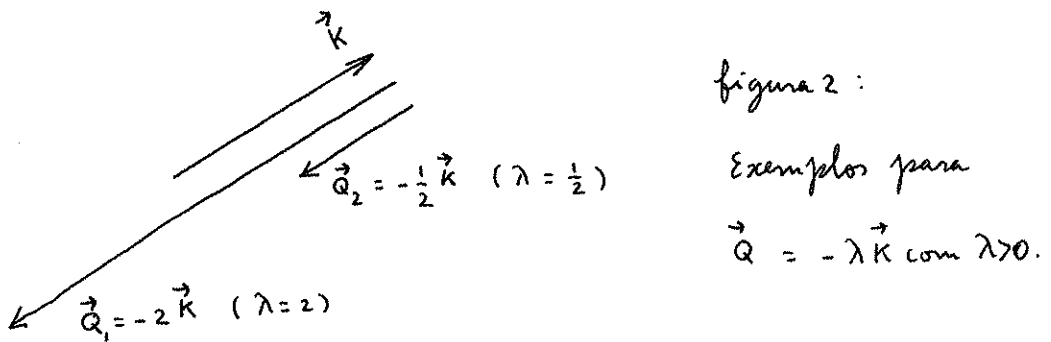
1.16. (9.6). 2

diferentemente do que ocorre no referencial LAB as partículas  $m_1$  e  $m_2$  terão sempre velocidades na mesma direção e opostas. Pela relação (2) isso fica claro, porque ela implica

$$m_1 \vec{u}'_1 + m_2 \vec{u}'_2 = \vec{0} \Rightarrow \vec{u}'_2 = -\underbrace{\frac{m_1}{m_2}}_{\substack{\text{escalar} \\ \text{negativo}}} \vec{u}'_1 \quad (3)$$

$$\text{e } m_1 \vec{v}'_1 + m_2 \vec{v}'_2 = \vec{0} \Rightarrow \vec{v}'_2 = -\frac{m_1}{m_2} \vec{v}'_1 \quad (4).$$

Devemos agora nos lembrar que se temos dois vetores  $\vec{k}$  e  $\vec{q}$  relacionados por  $\vec{q} = -\lambda \vec{k}$ , com  $\lambda > 0$ , esses vetores serão "opostos", na mesma direção (figura abaixo). Então, como na figura 1,  $\vec{v}'_1$  e  $\vec{v}'_2$  estarão "em oposição".



Em termos de módulos, (3) e (4) implicam

$$|\vec{u}'_2| = \left| -\frac{m_1}{m_2} \vec{u}'_1 \right| \Rightarrow u'_2 = \frac{m_1}{m_2} u'_1 \Rightarrow m_2 u'_2 = m_1 u'_1 \quad (5)$$

$$\text{e } |\vec{v}'_2| = \left| -\frac{m_1}{m_2} \vec{v}'_1 \right| \Rightarrow v'_2 = \frac{m_1}{m_2} v'_1 \Rightarrow m_2 v'_2 = m_1 v'_1 \quad (6),$$

em que  $u'_2 = |\vec{u}'_2|$ ,  $u'_1 = |\vec{u}'_1|$ ,  $v'_2 = |\vec{v}'_2|$  e  $v'_1 = |\vec{v}'_1|$ .

Considerando agora que a colisão é elástica, deve haver conservação da energia, inclusive no referencial CM.

1.16.(9.6).3

Então escrevemos

$$\frac{m_1}{2} u_1'^2 + \frac{m_2}{2} u_2'^2 = \frac{m_1}{2} v_1'^2 + \frac{m_2}{2} v_2'^2 \quad (7).$$

Tendo em vista (5) e (6), (7) fica, sendo  $u_2' = m_1 u_1 / m_2$  e  $v_2' = m_1 v_1 / m_2$ ,

$$\frac{m_1}{2} u_1'^2 + \frac{m_2}{2} \left( \frac{m_1}{m_2} \right)^2 u_1'^2 = \frac{m_1}{2} v_1'^2 + \frac{m_2}{2} \left( \frac{m_1}{m_2} \right) v_1'^2,$$

de onde

$$\left( m_1 + \frac{m_1^2}{m_2} \right) u_1'^2 = \left( m_1 + \frac{m_1^2}{m_2} \right) v_1'^2 \Rightarrow u_1' = v_1' \quad (8).$$

Também, substituindo (5) e (6) em (7) sendo  $u_2' = m_2 u_1' / m_1$  e  $v_1' = m_2 u_1' / m_1$ , teremos

$$\frac{m_1}{2} \left( \frac{m_2}{m_1} \right)^2 u_2'^2 + \frac{m_2}{2} u_2'^2 = \frac{m_1}{2} \left( \frac{m_2}{m_1} \right)^2 v_2'^2 + \frac{m_2}{2} v_2'^2 \Rightarrow u_2' = v_2' \quad (9).$$

As relações (5) e (6), juntamente com (8) e (9), mostram que a descrição da colisão no sistema CM é relativamente simples, particularmente se a colisão é elástica, porque neste caso o único processo, no referencial CM, foi um simples desvio das partículas, sem alteração nos módulos das velocidades.

Como as coisas devem ser observadas no referencial LAB, no qual a descrição do movimento não é tão simples, é interessante fazer os cálculos no referencial

1.16. (9-6).4

CM e realizar uma transformação dessas contas para o referencial LAB. Para isso faremos uso da figura abaixo (ver figura 9-11 de TM).

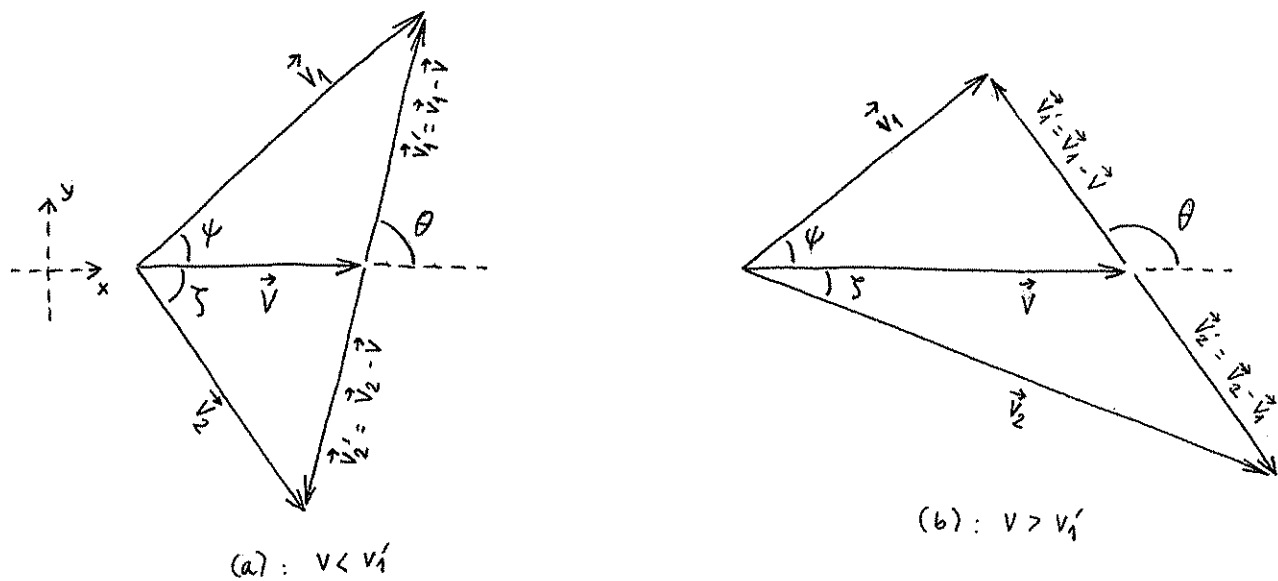


figura 3

Registrarmos na figura 3 os dois casos de geometria da colisão. Examinando o caso (a) da figura 3, podemos escrever

$$\left\{ \begin{array}{l} v_1 \sin \varphi = v'_1 \sin \theta \\ v_1 \cos \varphi = v'_1 \cos \theta \end{array} \right. \quad (10)$$

$$\left\{ \begin{array}{l} v_1 \sin \varphi = v'_1 \sin \theta \\ v_1 \cos \varphi = v'_1 \cos \theta \Rightarrow v_1 \cos \varphi - v = v'_1 \cos \theta \end{array} \right. \quad (11)$$

relacionando o ângulo  $\varphi$  no sistema LAB ao ângulo  $\theta$  no sistema CM e, para o ângulo  $\gamma$ ,

$$\left\{ \begin{array}{l} v_2 \sin \gamma = v'_2 \sin \theta \\ v_2 \cos \gamma = v'_2 \cos \theta \end{array} \right. \quad (12)$$

$$\left\{ \begin{array}{l} v_2 \sin \gamma = v'_2 \sin \theta \\ v_2 \cos \gamma + v'_2 \cos \theta = v'_2 \cos \theta \end{array} \right. \quad (13)$$

Como ficariam as relações (10), (11), (12) e (13) na geometria (b) da figura 3?

Por exemplo, por (10) e (11),

$$\frac{v_1 \operatorname{sen} \varphi}{v_1 \cos \varphi} = \operatorname{tg} \varphi = \frac{v'_1 \operatorname{sen} \theta}{v'_1 \cos \theta + v} \Rightarrow \operatorname{tg} \varphi = \frac{\operatorname{sen} \theta}{\cos \theta + \frac{v}{v'_1}} \quad (14).$$

Ocorre que, por (8),  $v/v'_1 = v/u'_1$ . Por outro lado, pela figura 1,  $v = m_1 u_1 / (m_1 + m_2)$  e  $u'_1 = u_1 - v = u_1 - m_1 u_1 / (m_1 + m_2) = m_2 u_1 / (m_1 + m_2)$ . Então  $v/v'_1 = v/u'_1 = m_2/m_1$  (15). Inserindo (15) em (14) temos

$$\operatorname{tg} \varphi = \frac{\operatorname{sen} \theta}{\cos \theta + \frac{m_1}{m_2}} \quad (15).$$

Usando (12) e (13), além de considerações do tipo das usadas para encontrar (15), obtemos

$$\operatorname{tg} \beta = \frac{\operatorname{sen} \theta}{\frac{v}{v'_1} - \cos \theta} = \frac{\operatorname{sen} \theta}{1 - \cos \theta} = \operatorname{cotg} \left( \frac{\theta}{2} \right) \quad (16).$$

Retornando ao exemplo 9.6 de TM, ele pede o ângulo máximo de espalhamento  $\varphi$  para  $m_1 > m_2$  e  $m_1 = m_2$  no caso da figura 3 (b) ( $v > v'_1$ ) se entendemos  $\vec{V}$  e  $v'_1$  dados.

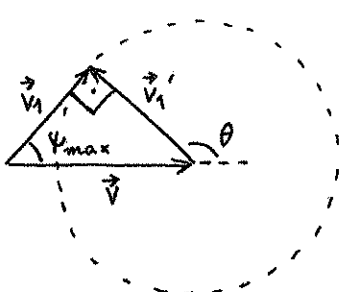


figura 4

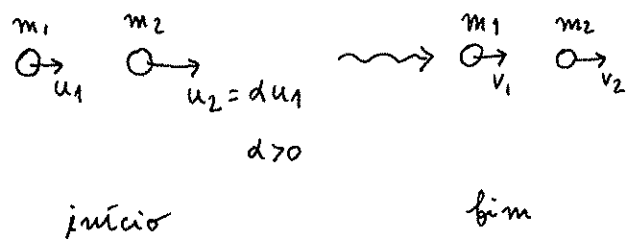
A figura 4, caso especial da figura 3(b) sem referência ao ângulo  $\beta$ , considera  $v'_1 = |\vec{v}'_1|$  constante, representado por uma circunferência. Refletindo, você vai verificar que  $\varphi_{\max}$  deve corresponder à situação apresentada.

Temos, pela figura 4,  $\operatorname{sen} \varphi_{\max} = \frac{v'_1}{v}$ . Por (8),  $v'_1 = u'_1$  e, por (15),  $(u'_1/v) = m_2/m_1$ . Então  $\operatorname{sen} \varphi_{\max} = m_2/m_1$  (17). Se  $m_1 > m_2$ ,  $\operatorname{sen} \varphi_{\max} = 0 \Rightarrow \varphi_{\max} = \pi$  ( $\varphi_{\max} = 0$  não tem sentido). Se  $m_1 = m_2$ ,  $\varphi_{\max} = \pi/2$ .

1.16.(9.7).1

Na colisão elástica ao lado, frontal, sem desvio, pede-se

a condição pela qual  $v_1 = 0$ .



Supõe-se energias cinéticas iniciais iguais.

Momento:  $m_1 u_1 + m_2 u_2 = m_1 v_1 + m_2 v_2 \quad (1)$ . Com  $u_2 = \alpha u_1$  e se  $v_1 = 0$  temos

$$(m_1 + \alpha m_2) u_1 = m_2 v_2 \quad (2).$$

Energia:  $\frac{m_1 u_1^2}{2} + \frac{m_2 u_2^2}{2} = \frac{m_1 v_1^2}{2} + \frac{m_2 v_2^2}{2}$ , implicando

$$m_1 u_1^2 + m_2 u_2^2 = m_1 v_1^2 + m_2 v_2^2. \text{ Com } u_2 = \alpha u_1,$$

e  $v_1 = 0$  temos

$$(m_1 + \alpha^2 m_2) u_1^2 = m_2 v_2^2 \quad (3).$$

Por (2) e (3),

$$\frac{(m_2 v_2)^2}{m_2 v_2^2} = \frac{(m_1 + \alpha^2 m_2) u_1^2}{(m_1 + \alpha^2 m_2) u_1^2} \Rightarrow \alpha = \frac{m_2 - m_1}{2m_2} \quad (4) \text{ (mostre isso)}.$$

Se as energias cinéticas iniciais são iguais,

$$\frac{m_1}{2} u_1^2 = \frac{m_2}{2} u_2^2 \Rightarrow m_1 u_1^2 = m_2 \alpha^2 u_1^2 \Rightarrow \alpha^2 = \frac{m_1}{m_2} \quad (5).$$

Mostre agora que por (4) e (5) teremos  $\alpha = \sqrt{2} - 1$ .

1.16.(9.9).1

O coeficiente de restituição é, numa colisão frontal (figura)

$$\epsilon = \frac{|v_2 - v_1|}{|u_2 - u_1|} \quad (1).$$

Está implícito que tratamos da colisão de duas massas,  $m_1$  e  $m_2$ . Devemos mostrar que na colisão elástica frontal  $\epsilon = 1$ .



figura 1.

Momento :  $m_1 u_1 + m_2 u_2 = m_1 v_1 + m_2 v_2 \quad (1)$

Energia :  $m_1 u_1^2 + m_2 u_2^2 = m_1 v_1^2 + m_2 v_2^2 \quad (2)$

De (1) temos  $m_1(u_1 - v_1) = -m_2(u_2 - v_2) \quad (3)$  e de (2) temos  $m_1(u_1^2 - v_1^2) = -m_2(u_2^2 - v_2^2) \quad (4)$ . Então, de (3) e (4),

$$\frac{m_1(u_1 - v_1)}{m_1(u_1^2 - v_1^2)} = \frac{-m_2(u_2 - v_2)}{-m_2(u_2^2 - v_2^2)} \Rightarrow \frac{1}{u_1 + v_1} = \frac{1}{u_2 + v_2} \quad \text{ou}$$

$$u_1 + v_1 = u_2 + v_2 \quad (5).$$

Tomando (5) e (1) como um sistema, do qual temos

$$v_1 = \frac{(m_1 - m_2)u_1 + 2m_2u_2}{m_1 + m_2} \quad (6), \quad v_2 = \frac{(m_2 - m_1)u_2 + 2m_1u_1}{m_1 + m_2} \quad (7).$$

Então, com (6) e (7),

$$\epsilon = \frac{|v_2 - v_1|}{|u_2 - u_1|} = \frac{|u_1 - u_2|}{|u_2 - u_1|} = 1$$

1.16. (9.10). 1

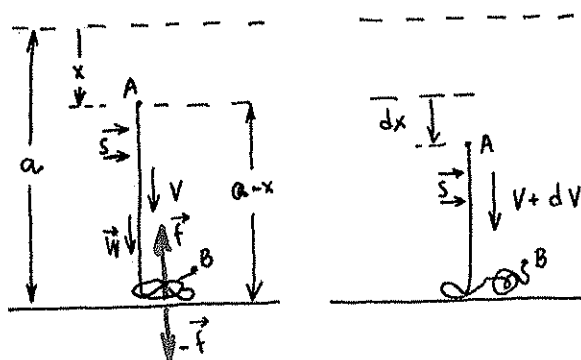


figura 1

A figura ao lado tenta representar a situação.  
a é o comprimento total da corda. Nos instantes  $t$  e  $t+dt$  retratamos duas configurações sucessivas. Sobre a corda atuam as forças

$\vec{W}$  (peso) e  $\vec{f}$  ("reação" do chão, cuja contra-partida de "ação e reação") é a força  $-\vec{f}$  sobre o chão).  $W$  é o peso da corda,  $\rho a g$  ( $\rho$  = densidade linear da corda), em módulo. Se  $f = 1\vec{f}1$ , não ocorre o equilíbrio  $f = W$ , porque o segmento  $a-x$  da corda carrega uma quantidade de movimento variável, na medida em que  $x$  é variável. Como  $s$ , um segmento da corda que não está em contato com o chão, não está, hipoteticamente, "sob tensão" ou "sob tração", ele deve estar em queda livre. Então supomos que o ponto A da corda está em queda livre. Se a corda foi solta, temos  $x = \frac{1}{2}gt^2$  (1). A variação de momento da corda será

$$dp = \rho(a-x-dx)(V+dV) - \rho(a-V)V = (W-f)dt = (\rho ag - f)dt. \quad (2)$$

Desprezando o produto infinitesimal  $dx \cdot dV$  e inserindo (1), que implica  $dx = gt \, dt$  (3), em (2), teremos  $f = -3\rho g x$ .

1.16. (9.13)

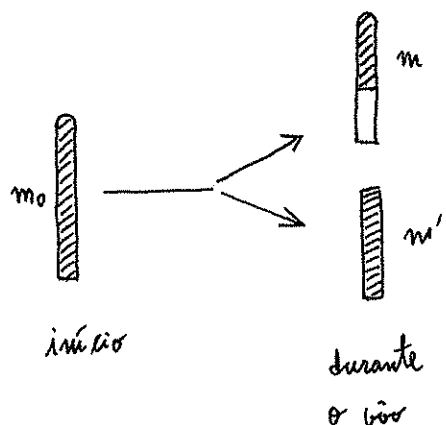


figura 1

Devemos analisar a ação da gravidade sobre um foguete no qual  $\alpha = -\frac{dm}{dt}$  = constante é a taxa temporal de queima de combustível.

Na figura 1 temos  $m_0$  = massa inicial do foguete = constante. Se  $m'$  é a massa do combustível expelido, após a queima, temos  $m_0 = m + m'$ . Então

$$dm_0 = 0 = dm + dm' \Rightarrow dm = -dm' \quad (1).$$

Pela figura 2 a variação de momento do sistema deve ser

$$\begin{aligned} dp &= (m - dm')(v + dv) + dm'(v - u) - mv \\ &= m dv - dm'v + dm'v - dm'u \\ &= m dv - u dm' \quad (2), \end{aligned}$$

desprezando produtos de infinitesimais.

Colocando (1) em (2) temos

$$dp = m dv + u dm \quad (3).$$

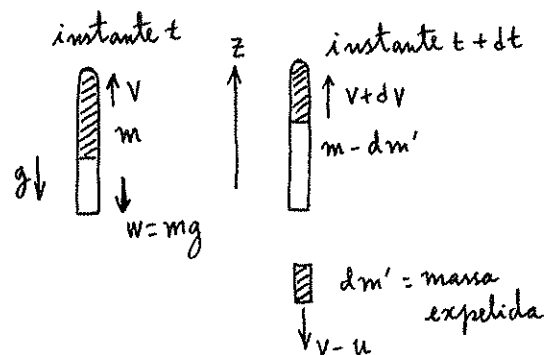


figura 2: Supomos  $u$  = velocidade com que os gases são expelidos em relação ao foguete = constante.

Supomos que a força peso (gravitacional) é a única atuante, de intensidade  $W = mg$ . Como essa força é contrária ao sentido  $z$  crescente, escrevemos, usando (3),

$$dp = m dv + u dm = -mg dt. \text{ Definindo } \alpha = -\frac{dm}{dt} \text{ teremos}$$

$$dv = \left( \frac{g}{\alpha} - \frac{u}{m} \right) dm \Rightarrow v = \frac{g}{\alpha} (m - m_0) + u \ln \left( \frac{m_0}{m} \right) = \frac{dz}{dt} \quad (4). \text{ Então,}$$

$$\text{considerando } \alpha = \frac{m_0 - m}{t} = -\frac{m - m_0}{t}, \text{ teremos } z(t) = -\frac{gt^2}{2} - u \int_0^t \ln \left( 1 - \frac{\alpha}{m_0} t \right) dt \quad (5).$$

1.17. (2.1). 1

a) Vamos, por simplicidade, neste e nos outros itens, supor um corpo de massa unitária ( $m=1$ ). Se a força é  $F(x,t) = f(x) g(t)$  temos

$$\frac{dV}{dt} = F(x,t) = f(x) g(t) \quad (1).$$

Não deve ser possível integrar (1), em geral, por meio de separações de variáveis. O melhor que podemos fazer, nesse sentido, é tomar a forma

$$\frac{dV}{f(x)} = g(t) dt \quad (2).$$

Embora o lado direito seja integrável, o esquerdo ainda não é.

Numa outra busca, procuramos escrever (1) na forma

$$dV - f(x) g(t) dt = 0 \quad (3).$$

Poderíamos pensar numa função  $\psi(v,t,x)$  tal que

$$d\psi = \frac{\partial \psi}{\partial v} dv + \frac{\partial \psi}{\partial t} dt + \frac{\partial \psi}{\partial x} dx = 0 \quad (\text{"superfícies" + constante}) \quad (4).$$

Comparando (4) e (3)  $\psi$  existiria se

$$\frac{\partial \psi}{\partial v} = 1 \quad (5), \quad \frac{\partial \psi}{\partial t} = -f(x) g(t) \quad (6) \quad \text{e} \quad \frac{\partial \psi}{\partial x} = 0 \quad (7).$$

(7) implicaria  $\psi$  independente de  $x$ :  $\psi = \psi(v,t)$  (8). Ocorre que isso é incompatível com (6), em geral.

Outra possibilidade, em princípio, seria considerar para (3) um fator integrante  $\mu(v,t,x)$  tal que

$$\mu(v,t,x) dv - \mu(v,t,x) f(x) g(t) dt = 0 \quad (9).$$

Agora a comparação entre (9) e (4) nos daria

$$\frac{\partial \psi}{\partial v} = \mu(v,t,x) \quad (10), \quad \frac{\partial \psi}{\partial t} = -\mu(v,t,x) f(x) g(t) \quad (11), \quad \frac{\partial \psi}{\partial x} = 0 \quad (12).$$

1.17. (2.1).2

(12) pode ser aplicada em (10) e (11):

$$\frac{\partial}{\partial x} \left( \frac{\partial \psi}{\partial v} \right) = \frac{\partial}{\partial v} \left( \frac{\partial \psi}{\partial x} \right) = 0 = \frac{\partial}{\partial x} \mu(v, t, x) = 0 \quad (13)$$

\ supondo  
diferenciabilidade

$$^e \frac{\partial}{\partial x} \left( \frac{\partial \psi}{\partial t} \right) = \frac{\partial}{\partial t} \left( \frac{\partial \psi}{\partial x} \right) = 0 = - \left[ \frac{\partial}{\partial x} \mu(v, t, x) \right] f(x) g(t) - \mu(v, t, x) f'(x) g(t) \quad (14).$$

Ocorre que (13) implica  $\mu(v, t, x) = \mu(v, t)$  (independência com  $x$ ) e,

em (14), (13) implica

$$\mu(v, t) f'(x) g(t) = 0 \quad (15).$$

De maneira geral, esperamos que (15) seja possível para alguma  $\mu(v, t) \neq 0$ . Isto não parece em geral possível, a menos que tenha-  
mos  $f'(x) = 0$ , o que é muito restritivo.

Essas considerações sobre a integrabilidade de (1) não implicam uma não integrabilidade geral se (1) é pensada como equação diferencial de 2ª ordem. Se  $V = dx/dt$ , (1) fica

$$\frac{d^2 x}{dt^2} = f(x) g(t) \quad (16).$$

Como exemplo,  $\frac{d^2 x}{dt^2} = x t$  ( $f(x) = x$ ,  $g(t) = t$ ) é solúvel na forma  $x(t) = \sum_{n=0}^{\infty} a_n t^{n+2}$ , sendo uma equação de Airy. Em geral, no entanto, a equação não é linear para qualquer forma de  $f(x)$ , o que pode ser um complicador.

1.17. (2.1).3

(b)  $F(\dot{x}, t) = F(v, t) = f(\dot{x}) g(t) = f(v) g(t)$ . Nesse caso temos

$$\frac{dv}{dt} = f(v) g(t) \Rightarrow \frac{dv}{f(v)} = g(t) dt \quad (1).$$

Sendo (1) integrável, em geral, a equação do movimento é integrável.

(c)  $F(x, \dot{x}) = f(x) g(\dot{x}) \Rightarrow \frac{dv}{dt} = f(x) g(v) \quad (1).$

Reorganizamos (1) :

$$\frac{dv}{dt} = \frac{dv}{dx} \frac{dx}{dt} = v \frac{dv}{dx} = f(x) g(v);$$

$$\frac{v dv}{g(v)} = f(x) dx \quad (2).$$

(2) é integrável, e portanto a equação do movimento é integrável.

1.17.(2.2).1

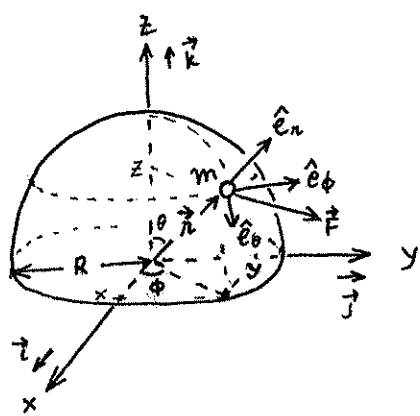


figura 1: partícula sobre  
uma esfera:  $|\vec{r}| = R = r$

$\vec{F}(\theta, \phi) = \vec{F}$  é a força sobre  
a partícula, de massa  
m.  $x = r \sin \theta \cos \phi$ ,  $y = r \sin \theta \sin \phi$ ,  
 $z = r \cos \theta$ .

No figura 1 temos um esquema  
da situação. Temos, se  $\vec{v}$  é a  
velocidade de m,

$$\begin{aligned}\vec{F} &= F(\theta, \phi) \hat{e}_r + G(\theta, \phi) \hat{e}_\theta + H(\theta, \phi) \hat{e}_\phi \\ &= m \frac{d\vec{v}}{dt} \quad (1).\end{aligned}$$

Devemos então obter a acelera-  
ção  $\frac{d\vec{v}}{dt}$  em coordenadas esféricas  
e aplicar o resultado a (1).

No caso especial em que  $|\vec{r}| = R$ . Com a ajuda da própria  
figura 1, suspendendo a exigência  $|\vec{r}| = R$ , vamos então  
obter a aceleração em coordenadas esféricas.

Primeiramente,

$$\begin{aligned}\hat{e}_r &= \frac{\frac{\partial \vec{r}}{\partial r}}{\left| \frac{\partial \vec{r}}{\partial r} \right|} = \frac{\frac{\partial}{\partial r}(x\hat{i} + y\hat{j} + z\hat{k})}{\left| \frac{\partial \vec{r}}{\partial r} \right|} = \frac{\frac{\partial}{\partial r}(r \sin \theta \cos \phi \hat{i} + r \sin \theta \sin \phi \hat{j} + r \cos \theta \hat{k})}{\partial r} \\ &= \frac{\sin \theta \cos \phi \hat{i} + \sin \theta \sin \phi \hat{j} + \cos \theta \hat{k}}{\underbrace{\sqrt{\sin^2 \theta \cos^2 \phi + \sin^2 \theta \sin^2 \phi + \cos^2 \theta}}_{\sin^2 \theta (\cos^2 \phi + \sin^2 \phi)}} = \frac{\sin \theta \cos \phi \hat{i} + \sin \theta \sin \phi \hat{j} + \cos \theta \hat{k}}{\underbrace{\sin^2 \theta + \cos^2 \theta}_{1}}, \quad (2)\end{aligned}$$

1.17.(2.2).2

$$\hat{e}_\theta = \frac{\frac{\partial \vec{r}}{\partial \theta}}{\left| \frac{\partial \vec{r}}{\partial \theta} \right|} = \frac{\frac{\partial}{\partial \theta} (r \sin \theta \cos \phi \hat{i} + r \sin \theta \sin \phi \hat{j} + r \cos \theta \hat{k})}{\left| \frac{\partial \vec{r}}{\partial \theta} \right|}$$

$$= \frac{r \cos \theta \cos \phi \hat{i} + r \cos \theta \sin \phi \hat{j} - r \sin \theta \hat{k}}{\sqrt{r^2 \cos^2 \theta \cos^2 \phi + r^2 \cos^2 \theta \sin^2 \phi + r^2 \sin^2 \theta}}$$

$$= \cos \theta \cos \phi \hat{i} + \cos \theta \sin \phi \hat{j} - \sin \theta \hat{k} \quad (3),$$

$$\hat{e}_\phi = \frac{\frac{\partial \vec{r}}{\partial \phi}}{\left| \frac{\partial \vec{r}}{\partial \phi} \right|} = \frac{\frac{\partial}{\partial \phi} (r \sin \theta \cos \phi \hat{i} + r \sin \theta \sin \phi \hat{j} + r \cos \theta \hat{k})}{\left| \frac{\partial \vec{r}}{\partial \phi} \right|}$$

$$= \frac{-r \sin \theta \sin \phi \hat{i} + r \sin \theta \cos \phi \hat{j}}{\sqrt{r^2 \sin^2 \theta \sin^2 \phi + r^2 \sin^2 \theta \cos^2 \phi}}$$

$$= -\sin \phi \hat{i} + \cos \phi \hat{j} \quad (4).$$

$\underbrace{n^2 \sin^2 \theta (\sin^2 \phi + \cos^2 \phi)}_{=1}$

$\underbrace{r \sin \theta}_{=1}$

Com a ajuda de (2), (3) e (4) podemos encontrar  $\frac{d\hat{e}_r}{dt}$ ,

$\frac{d\hat{e}_\theta}{dt}$  e  $\frac{d\hat{e}_\phi}{dt}$  em termos de  $\hat{e}_r$ ,  $\hat{e}_\theta$  e  $\hat{e}_\phi$ . Temos

$$\begin{aligned} \frac{d\hat{e}_r}{dt} &= \frac{d}{dt} (\sin \theta \cos \phi \hat{i} + \sin \theta \sin \phi \hat{j} + \cos \theta \hat{k}) \\ &= (\dot{\theta} \cos \theta \cos \phi - \dot{\phi} \sin \theta \sin \phi) \hat{i} + (\dot{\theta} \cos \theta \sin \phi + \dot{\phi} \sin \theta \cos \phi) \hat{j} - \dot{\theta} \sin \theta \hat{k} \\ &= \dot{\theta} (\cos \theta \cos \phi \hat{i} + \cos \theta \sin \phi \hat{j} - \sin \theta \hat{k}) + \dot{\phi} (-\sin \theta \sin \phi \hat{i} + \sin \theta \cos \phi \hat{j}) \\ &\qquad \qquad \qquad \hat{e}_\theta \text{ por (3)} \qquad \qquad \qquad \sin \theta \hat{e}_\phi \text{ por (4)} \\ &= \dot{\theta} \hat{e}_\theta + \dot{\phi} \sin \theta \hat{e}_\phi \quad (5), \end{aligned}$$

1.17-(2.2).3

$$\frac{d\hat{\mathbf{e}}_\theta}{dt} = \frac{d}{dt} (\cos\theta \cos\phi \hat{i} + \cos\theta \sin\phi \hat{j} - \sin\theta \hat{k}) = -\dot{\theta} \hat{\mathbf{e}}_r + \dot{\phi} \cos\theta \hat{\mathbf{e}}_\phi \quad (6)$$

$$e \frac{d\hat{\mathbf{e}}_\phi}{dt} = \frac{d}{dt} (-\sin\phi \hat{i} + \cos\phi \hat{j}) = -\dot{\phi} (\cos\phi \hat{i} + \sin\phi \hat{j}) \quad (7)$$

Em analogia com os casos anteriores esperamos que  $\frac{d\hat{\mathbf{e}}_\phi}{dt}$  se

expresse em termos de  $\hat{\mathbf{e}}_r = \hat{\mathbf{e}}_\theta$  porque, por (4) e (7),

$\hat{\mathbf{e}}_\phi \cdot \frac{d\hat{\mathbf{e}}_\phi}{dt} = 0$ . Por (2) e (3) temos

$$\hat{\mathbf{e}}_r \sin\theta = \sin^2\theta \cos\phi \hat{i} + \sin^2\theta \sin\phi \hat{j} + \sin\theta \cos\theta \hat{k}$$

$$e \hat{\mathbf{e}}_\theta \cos\theta = \cos^2\theta \cos\phi \hat{i} + \cos^2\theta \sin\phi \hat{j} - \cos\theta \sin\theta \hat{k}.$$

Então, somando,  $\hat{\mathbf{e}}_r \sin\theta + \hat{\mathbf{e}}_\theta \cos\theta = \cos\phi \hat{i} + \sin\phi \hat{j}$  (8). Por

(7) e (8), então,

$$\frac{d\hat{\mathbf{e}}_\phi}{dt} = -\dot{\phi} \sin\theta \hat{\mathbf{e}}_r - \dot{\phi} \cos\theta \hat{\mathbf{e}}_\theta \quad (9).$$

Agora, para uma situação não restrita ao movimento sobre a esfera, temos, usando (5),

$$\vec{r} = r \hat{\mathbf{e}}_r \Rightarrow \dot{\vec{r}} = \vec{v} = \dot{r} \hat{\mathbf{e}}_r + r \dot{\hat{\mathbf{e}}}_r = \dot{r} \hat{\mathbf{e}}_r + r (\dot{\theta} \hat{\mathbf{e}}_\theta + \dot{\phi} \sin\theta \hat{\mathbf{e}}_\phi),$$

sendo a aceleração  $\vec{a} = (\vec{d}\vec{v}/dt)$  obtida numa segunda derivada.

Em novo caso especial, com  $|r| = R$  constante,  $\dot{r} = 0 = \ddot{r}$  e portanto

$$\vec{r} = R \hat{\mathbf{e}}_r \Rightarrow \dot{\vec{r}} = \vec{v} = R \dot{\hat{\mathbf{e}}}_r = R (\dot{\theta} \hat{\mathbf{e}}_\theta + \dot{\phi} \sin\theta \hat{\mathbf{e}}_\phi) \quad (10).$$

1.12.(2.2).4

Derivando (10), usando (6) e (9)

$$\begin{aligned}\frac{d\vec{r}}{dt} &= R(\ddot{\theta}\hat{e}_\theta + \dot{\theta}\frac{d\hat{e}_\theta}{dt} + \ddot{\phi}\sin\theta\hat{e}_\phi + \dot{\phi}\dot{\theta}\cos\theta\hat{e}_\phi + \dot{\phi}\sin\theta\frac{d\hat{e}_\phi}{dt}) \\ &= -R(\dot{\theta}^2 + \dot{\phi}^2\sin^2\theta)\hat{e}_r + R(\ddot{\theta} - \dot{\phi}^2\sin\theta\cos\theta)\hat{e}_\theta \\ &\quad + R(2\dot{\phi}\dot{\theta}\cos\theta + \ddot{\phi}\sin\theta)\hat{e}_\phi \quad (11).\end{aligned}$$

Voltando com (11) em (1) as três equações do movimento vão ficar

$$F(\theta, \phi) = -mR(\dot{\theta}^2 + \dot{\phi}^2\sin^2\theta) \quad (12),$$

$$G(\theta, \phi) = mR(\ddot{\theta} - \dot{\phi}^2\sin\theta\cos\phi) \quad (13),$$

$$H(\theta, \phi) = mR(2\dot{\phi}\dot{\theta}\cos\theta + \ddot{\phi}\sin\theta) \quad (14).$$

1.17. (2.8). 1

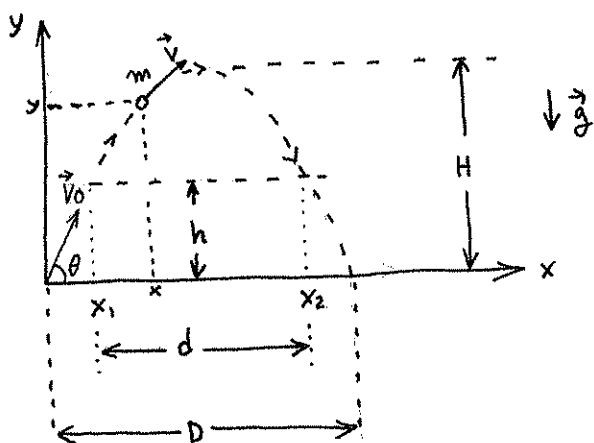


figura 1

Na figura 1 a partícula passa por dois pontos a uma mesma altura  $h$ . Pede-se para obter  $d = \frac{v_0}{g} \sqrt{v_0^2 - 4gh}$  no caso em que  $\theta$  é ajustada para o máximo alcance  $D$ .

Para analisar as condições que nos dão o alcance máximo temos de partir de

$$\begin{aligned} x &= v_0 \sin \theta t & (1) \\ y &= v_0 \cos \theta t - \frac{1}{2} gt^2 & (2) \end{aligned} \quad \left\{ \text{que se obtém pela 2ª lei de Newton a uma massa } m \text{ qualquer.} \right.$$

O alcance  $D$  corresponde a  $y = 0$ . Por (2),

$$v_0 \cos \theta t - \frac{1}{2} gt^2 = 0 \Rightarrow \begin{cases} t = 0 \text{ ("óbvia")} \\ t = T = \frac{2v_0 \cos \theta}{g} = \text{"tempo de vôo"} \end{cases} \quad (3).$$

$D$  corresponde ao valor de  $x$  quando  $t = T$ . Por (1),

$$D = x(t = T) = v_0 \sin \theta \frac{2v_0 \cos \theta}{g} = \frac{2v_0}{g} \sin \theta \cos \theta \quad (4).$$

Observe que, dado  $v_0$ ,  $D$  é uma função de  $\theta$ . Então, usando (4),

$$\frac{dD}{d\theta} = \frac{2v_0}{g} \underbrace{(\cos \theta \cos \theta - \sin \theta \sin \theta)}_{\cos^2 \theta - \sin^2 \theta} = 0 \text{ na condição de } \underline{\text{máximo}} D \quad (5).$$

Então, para  $D$  máxima, devemos ter  $\cos^2 \theta - \sin^2 \theta = 0 \Rightarrow 1 - 2 \sin^2 \theta = 0 \Rightarrow \sin \theta = 1/\sqrt{2} = \cos \theta \quad (6) \quad (\theta = 45^\circ)$ .

1.17. (2.8).2

Agora (6) pode ser recolocada em (1) e (2), resultando

$$x = \frac{v_0}{r_2} t \quad (7)$$

$$\text{e } y = \frac{v_0}{r_2} t - \frac{1}{2} g t^2 \quad (8).$$

De (7),  $t = \sqrt{2}x/v_0$ , com o que (8) fica  $y = x - \frac{g}{v_0^2} x^2$  (9).

Os pontos  $x_1$  e  $x_2$  na figura 1 correspondem a  $y = h$ . Por (9),

$$h = x - \frac{g}{v_0^2} x^2 \Rightarrow x^2 - \frac{v_0^2}{g} x + \frac{v_0^2 h}{g} = 0 \Rightarrow x = \frac{\frac{v_0^2}{g} \pm \sqrt{(\frac{v_0^2}{g})^2 - 4(\frac{v_0^2}{g})h}}{2}. \quad (10)$$

Ajudados pela figura 1, vemos que  $x_1$  é a menor das raízes em (10) e  $x_2$  é a maior:

$$x_1 = \frac{v_0^2}{2g} - \frac{1}{2} \sqrt{\frac{v_0^2}{g} \left( \frac{v_0^2}{g} - 4h \right)} \quad (11)$$

$$\text{e } x_2 = \frac{v_0^2}{2g} + \frac{1}{2} \sqrt{\frac{v_0^2}{g} \left( \frac{v_0^2}{g} - 4h \right)} \quad (12).$$

Então

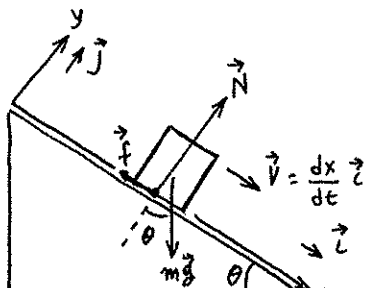
$$\begin{aligned} d &= x_2 - x_1 = \sqrt{\frac{v_0^2}{g} \left( \frac{v_0^2}{g} - 4h \right)} \\ &= \sqrt{\frac{v_0^2}{g^2} (v_0^2 - 4gh)} = \frac{v_0}{g} \sqrt{v_0^2 - 4gh} \quad (13). \end{aligned}$$

1.17. (2.15).A

A figura 1, ao lado, nos serve de guia.

Se o bloco percorre no eixo x uma distância d, partindo do repouso, pede-se para mostrar que

$$t = \frac{\cosh^{-1}(e^{kd})}{\sqrt{Kg \operatorname{sen}\theta}}$$



$$f = |\vec{f}| = Km v^2$$

fig 1

é o intervalo de tempo de percurso.

As equações de Newton são

$$-mg \operatorname{cos}\theta + N = 0 \quad (1) \quad (\text{eixo } y)$$

$$\text{e } mg \operatorname{sen}\theta - Km v^2 = m \frac{dv}{dt} \quad (2) \quad (\text{eixo } x).$$

Já que (1) apenas fixa N, somente (2) nos interessa. de (2),

$$\frac{dv}{dt} = g \operatorname{sen}\theta - Kv^2 \Rightarrow \frac{dv}{g \operatorname{sen}\theta - Kv^2} = dt \Rightarrow \underbrace{\int_{v(t=0)=0}^t}_{\text{repouso em } t=0} \frac{dv}{g \operatorname{sen}\theta - Kv^2} = \int_0^t dt \quad (3).$$

Como

$$I = \int \frac{dv}{g \operatorname{sen}\theta - Kv^2} = \frac{1}{2\sqrt{kg \operatorname{sen}\theta}} \ln \left( \frac{\sqrt{g \operatorname{sen}\theta} + \sqrt{K} v}{\sqrt{g \operatorname{sen}\theta} - \sqrt{K} v} \right) \quad (4), \quad (3) \text{ fica}$$

$$\frac{1}{2\sqrt{kg \operatorname{sen}\theta}} \ln \left( \frac{\sqrt{g \operatorname{sen}\theta} + \sqrt{K} v}{\sqrt{g \operatorname{sen}\theta} - \sqrt{K} v} \right) - \frac{1}{2\sqrt{kg \operatorname{sen}\theta}} \underbrace{\ln \left( \frac{\sqrt{g \operatorname{sen}\theta}}{\sqrt{g \operatorname{sen}\theta}} \right)}_1 = \int_0^t dt = t ;$$

$\ln 1 = 0 \quad (I \text{ em } v=0)$

$$\ln \left( \frac{\sqrt{g \operatorname{sen}\theta} + \sqrt{K} v}{\sqrt{g \operatorname{sen}\theta} - \sqrt{K} v} \right) = 2\sqrt{kg \operatorname{sen}\theta} t \quad (5)$$

1.17. (2.15).2

(5) deve ser elaborada para obtermos  $v(t)$ . Se  $\ln a = b$ ,  $e^b = a$ . aplicando isso a (5) teremos

$$\frac{\sqrt{g \operatorname{sen} \theta} + \sqrt{k} v}{\sqrt{g \operatorname{sen} \theta} - \sqrt{k} v} = e^{2\sqrt{k g \operatorname{sen} \theta} t} \quad (6),$$

de onde

$$\sqrt{g \operatorname{sen} \theta} + \sqrt{k} v = \sqrt{g \operatorname{sen} \theta} e^{2\sqrt{k g \operatorname{sen} \theta} t} - \sqrt{k} v e^{2\sqrt{k g \operatorname{sen} \theta} t};$$

$$\sqrt{k} v (1 + e^{2\sqrt{k g \operatorname{sen} \theta} t}) = \sqrt{g \operatorname{sen} \theta} (e^{2\sqrt{k g \operatorname{sen} \theta} t} - 1);$$

$$v = \sqrt{\frac{g \operatorname{sen} \theta}{k}} \frac{e^{2\sqrt{k g \operatorname{sen} \theta} t} - 1}{e^{2\sqrt{k g \operatorname{sen} \theta} t} + 1} = v(t) \quad (7).$$

Uma possível forma conveniente de expressar (7) usa as definições de seno e cosseno hiperbólicos,  $\operatorname{senh}$  e  $\cosh$ . Temos

$$\begin{aligned} \operatorname{senh} \epsilon &= \frac{1}{2} (e^\epsilon - e^{-\epsilon}) \\ \cosh \epsilon &= \frac{1}{2} (e^\epsilon + e^{-\epsilon}) \end{aligned} \quad \left. \Rightarrow \text{tangente hiperbólica de } \epsilon = \operatorname{tanh} \epsilon = \frac{\operatorname{senh} \epsilon}{\cosh \epsilon} \right. \\ &= \frac{e^\epsilon - e^{-\epsilon}}{e^\epsilon + e^{-\epsilon}}.$$

Rearanjando,

$$\operatorname{tgh} \epsilon = \frac{e^{-\epsilon} (e^{2\epsilon} - 1)}{e^{-\epsilon} (e^{2\epsilon} + 1)} = \frac{e^{2\epsilon} - 1}{e^{2\epsilon} + 1} \quad (8).$$

Usando (8) em (7) teremos, com  $2\epsilon = 2\sqrt{k g \operatorname{sen} \theta} t$ ,

$$v(t) = \frac{dx}{dt} = \sqrt{\frac{g \operatorname{sen} \theta}{k}} \operatorname{tgh}(\sqrt{k g \operatorname{sen} \theta} t) \quad (9).$$

Agora

1.17. (2.15). 3

$$dx = \sqrt{\frac{g \operatorname{sen} \theta}{\kappa}} \operatorname{tgh}(\sqrt{\kappa g \operatorname{sen} \theta} t) dt \Rightarrow x(t) = \int_0^t dx = \sqrt{\frac{g \operatorname{sen} \theta}{\kappa}} \int_0^t \operatorname{tgh}(\sqrt{\kappa g \operatorname{sen} \theta} t) dt \quad (10).$$

Agora,

$$\int \operatorname{tgh} \theta t dt = \frac{1}{\theta} \ln(\operatorname{cosh} \theta t) \quad (11).$$

Aplicando (11) em (10) teremos

$$x(t) = \sqrt{\frac{g \operatorname{sen} \theta}{\kappa}} \frac{1}{\sqrt{\kappa g \operatorname{sen} \theta}} \left[ \ln(\operatorname{cosh} \sqrt{\kappa g \operatorname{sen} \theta} t) - \underbrace{\ln(\operatorname{cosh} 0)}_{\operatorname{cosh} 0 = \frac{e^0 + e^{-0}}{2} = 1} \right];$$

$$\ln \operatorname{cosh} 0 = \ln 1 = 0$$

$$x(t) = \frac{1}{\kappa} \ln(\operatorname{cosh} \sqrt{\kappa g \operatorname{sen} \theta} t) \quad (12).$$

(12), com  $x = d$ , corresponde ao resultado desejado. Prova:

$$x = \frac{1}{\kappa} \ln(\operatorname{cosh} \sqrt{\kappa g \operatorname{sen} \theta} t) \Rightarrow \ln(\operatorname{cosh} \sqrt{\kappa g \operatorname{sen} \theta} t) = x \kappa = Kd$$

$$\Rightarrow e^{Kd} = \operatorname{cosh}(\sqrt{\kappa g \operatorname{sen} \theta} t) \Rightarrow \sqrt{\kappa g \operatorname{sen} \theta} t = \operatorname{cosh}^{-1}(e^{Kd}) ;$$

se  $\alpha = \operatorname{cosh} \epsilon$ ,  $\epsilon = \arccosh \alpha = \operatorname{cosh}^{-1} \alpha$  ↗  
 "arco cosseno hiperbólico"

$$t = \frac{\operatorname{cosh}^{-1}(e^{Kd})}{\sqrt{\kappa g \operatorname{sen} \theta}} \quad (13).$$

1.17. (2.25).1

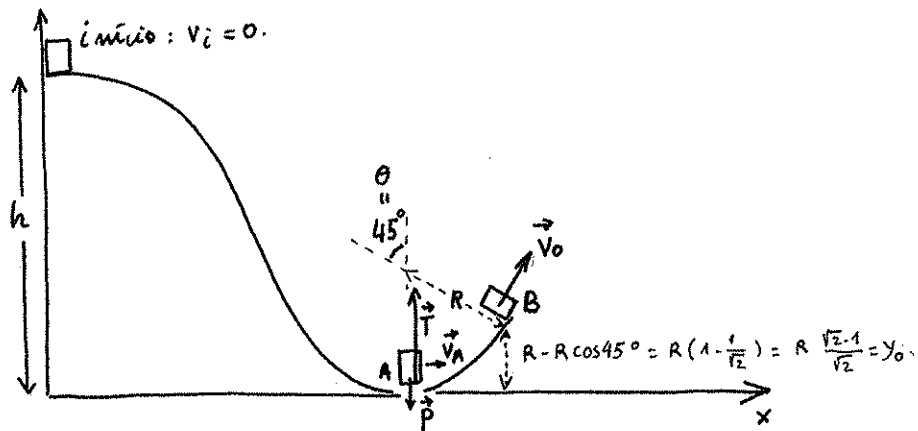
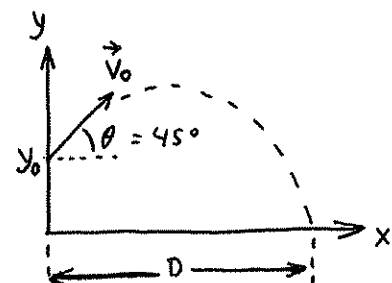


figura 1

(a)

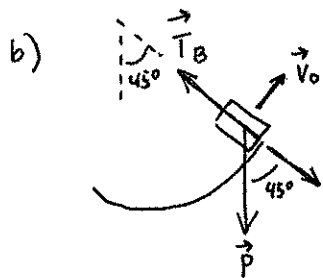


(b)

A figura 1 representa o que ocorre. Deduza primeiro relações para depois colocar dados oferecidos pelo problema.

a) Obtenha a força (em intensidade) T na posição A usando

$$mgh = m \frac{V_A^2}{2} \quad (1) \quad \text{e} \quad T - P = m \frac{V_A^2}{R} \quad (2)$$



$$\text{Agora } T_B - P \cos 45^\circ = m \frac{V_0^2}{R} \quad (3)$$

$$\text{e} \quad mgh = \frac{m}{2} V_0^2 + mg y_0 \quad (4),$$

de onde obtemos  $T_B$ .

figura 2

c) Usar (4)

d) Calcule D usando a condição  $y=0$  nas equações

$$y = y_0 - \frac{1}{2} g t^2 + V_0 \sin \theta t \quad (5)$$

$$\text{e} \quad x = V_0 \cos \theta t \quad (6)$$

substituindo t, por (6), em (5).

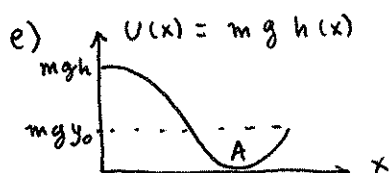
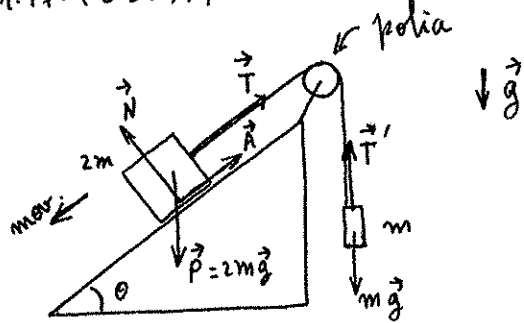


figura 3

A é um ponto de equilíbrio estável. Qual o de equilíbrio instável?

1.17. (2.32).1



Se  $T = |\vec{T}|$  e  $T' = |\vec{T}'|$ ,  
desprezado o momento  
de inércia da polia,  
temos  $T = T'$ .  $\vec{A}$ : atrito

figura 1

estático.

As equações são

$$\text{para } 2m \left\{ \begin{array}{l} 2mg \sin \theta - T - \mu_k N = 0 \quad (1) \\ 2mg \cos \theta = N \quad (2) \end{array} \right. \quad \text{e, para } m, T = mg \quad (3)$$

Colocando (2) e (3) em (1) temos

$$2mg \sin \theta - mg - \mu_k 2mg \cos \theta = 0 \Rightarrow 2 \sin \theta - 1 - 2\mu_k \cos \theta = 0 \quad (4)$$

(4) é uma equação para os possíveis valores de  $\theta$  correspondentes à situação. De (4),

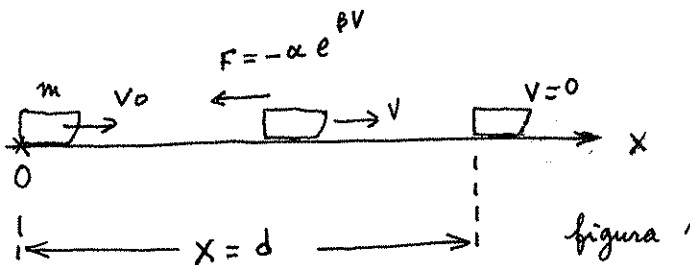
$$2 \sin \theta - 1 = 2\mu_k \cos \theta \Rightarrow (2 \sin \theta - 1)^2 = (2\mu_k)^2 \cos^2 \theta = 4\mu_k^2 (1 - \sin^2 \theta) \quad , \text{ ou} \\ \cos^2 \theta = 1 - \sin^2 \theta$$

$4(1 + \mu_k^2) \sin^2 \theta - 4 \sin \theta + (1 - 4\mu_k^2) = 0$  (equação de 2º grau para  $x = \sin \theta$ )  $\Rightarrow \sin \theta = \frac{1 \pm \sqrt{3 + 4\mu_k^2}}{2(1 + \mu_k^2)}$ . Então há dois valores possíveis para  $\theta$ . Como é a figura de forças para o menor  $\theta$ ?

Na figura 1 estamos supondo um movimento no sentido dado. Porém, pelas condições do problema, ainda não há um movimento e a aceleração é nula. Agora, como estamos no limiar do movimento,  $A = |\vec{A}|$  deve ser máxima:  $A = \mu_k N$ , sendo  $\mu_k$  = coeficiente de atrito

1.17. (2.39).1

- a) Situações  
na figura ao  
lado



Na figura temos três momentos: o lançamento inicial, uma posição intermediária, em que se indica o sentido da força, e uma posição final correspondente à parada do barco, quando sua velocidade cai a zero, em  $x = d$ . Curiosamente, a expressão  $F = -\alpha e^{-\beta v}$  nos dá uma força  $F = -\alpha$ , finita, com  $v = 0$ . Para recobrar um mínimo de realismo, vamos supor que quando  $v = 0$  a força "colapsa" para 0, fazendo com que o barco não mais se move.

Eliminadas outras forças na direção perpendicular a  $\overline{Ox}$ , a segunda lei de Newton nos dá

$$\begin{aligned} m \frac{dv}{dt} &= F = -\alpha e^{-\beta v} \Rightarrow \frac{dv}{dt} = -\frac{\alpha}{m} e^{-\beta v} \Rightarrow \frac{dv}{e^{-\beta v}} = -\frac{\alpha}{m} dt \\ \Rightarrow e^{-\beta v} dv &= -\frac{\alpha}{m} dt \Rightarrow \int_{v_0}^v e^{-\beta v} dv = -\frac{\alpha}{m} \int_0^t dt \Rightarrow \\ \frac{e^{-\beta v}}{-\beta} \Big|_{v_0}^v &= \frac{e^{-\beta v}}{-\beta} - \frac{e^{-\beta v_0}}{-\beta} = -\frac{\alpha}{m} t \Rightarrow e^{-\beta v} = e^{-\beta v_0} + \frac{\alpha \beta}{m} t \\ \Rightarrow \ln(e^{-\beta v}) &= \ln\left(e^{-\beta v_0} + \frac{\alpha \beta}{m} t\right) \Rightarrow -\beta v = \ln\left(e^{-\beta v_0} + \frac{\alpha \beta}{m} t\right) \\ \Rightarrow v = v(t) &= -\frac{1}{\beta} \ln\left(e^{-\beta v_0} + \frac{\alpha \beta}{m} t\right) \quad (1). \end{aligned}$$

Você pode mostrar que, como desejado,  $v(t=0)$  em (1) é  $v_0$ ?

1.17. (2.39)-2

b) O instante  $t = T$  no qual o corpo pára, como dissemos, deve corresponder a  $v = 0$ . Temos, por (1)

$$v(t=T) = -\frac{1}{\rho} \ln \left( e^{-\rho v_0} + \frac{\alpha \rho}{m} T \right) = 0 \quad \text{se } e^{-\rho v_0} + \frac{\alpha \rho}{m} T = 1,$$

pois  $\ln 1 = 0$ . Então

$$e^{-\rho v_0} + \frac{\alpha \rho}{m} T = 1 \Rightarrow T = \frac{m}{\alpha \rho} (1 - e^{-\rho v_0}) \quad (2).$$

Note que o gráfico de  $v(t)$  deve corresponder, em esboço, ao que está abaixo.

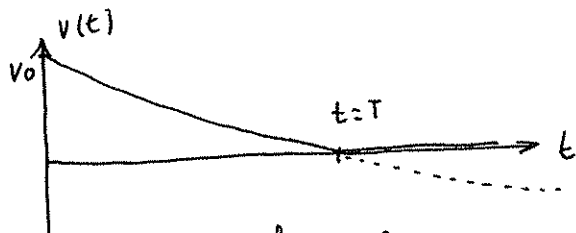


figura 2

o pontilhado corresponde ao que seria a continuidade da função  $v(t)$ , irrealista,

para  $t > T$ . Assumimos

então que  $v(t) = 0$  se

$t > T$ . Você pode explicar a razão pela qual  $v(t)$ , por (1) é negativa para  $t > T$ . A que corresponderia isso?

c)  $d = \int_0^T v(t) dt \quad (\text{por que?})$

Por (1),

$$d = \int_0^T -\frac{1}{\rho} \ln \left( e^{-\rho v_0} + \frac{\alpha \rho}{m} t \right) dt = -\frac{1}{\rho} \int_0^T \ln \left( e^{-\rho v_0} + \frac{\alpha \rho}{m} t \right) dt. \quad (3)$$

Devemos obter

$$I = \int \ln \left( e^{-\rho v_0} + \frac{\alpha \rho}{m} t \right) dt \quad (4). \quad \text{Chamamos } Z = e^{-\rho v_0} + \frac{\alpha \rho}{m} t,$$

com o que  $dz = \frac{\alpha \rho}{m} dt \Rightarrow dt = \frac{m}{\alpha \rho} dz$ . Então

1.17. (2.39). 3

$$I = \int \ln z \frac{m}{\alpha p} dz = \frac{m}{\alpha p} \int \ln z dz. \quad \text{Se now é } \underline{\text{dado}} \text{ que}$$
$$\int \ln z dz = z \ln z - z \quad (\text{por que?}),$$

temos

$$I = \frac{m}{\alpha p} (z \ln z - z) = \frac{m}{\alpha p} \left[ (e^{-\beta V_0} + \frac{\alpha p}{m} T) \ln (e^{-\beta V_0} + \frac{\alpha p}{m} T) - (e^{-\beta V_0} + \frac{\alpha p}{m} T) \right] (5).$$

Lembrando (5) em (3) temos

$$\begin{aligned} d &= -\frac{1}{\beta} \frac{m}{dp} \left[ (e^{-\beta V_0} + \frac{\alpha p}{m} T) \ln (e^{-\beta V_0} + \frac{\alpha p}{m} T) - (e^{-\beta V_0} + \frac{\alpha p}{m} T) \right. \\ &\quad \left. - (e^{-\beta V_0} + \frac{\alpha p}{m} \cdot 0) \ln (e^{-\beta V_0} + \frac{\alpha p}{m} \cdot 0) + (e^{-\beta V_0} + \frac{\alpha p}{m} \cdot 0) \right] \\ &= -\frac{m}{d\beta^2} \left[ -e^{-\beta V_0} - \frac{\alpha p}{m} T - e^{-\beta V_0} \underbrace{\ln(e^{-\beta V_0})}_{\text{pela definição de } \ln, \text{ now é } -\beta V_0} + e^{-\beta V_0} \right] \\ &= -\frac{m}{d\beta^2} \left[ -\frac{\alpha p}{m} T + \beta V_0 e^{-\beta V_0} \right] \quad (6). \end{aligned}$$

Colocando (2) em (6) temos

$$d = -\frac{m}{d\beta^2} \left[ -\frac{\alpha p}{m} \frac{m}{dp} (1 - e^{-\beta V_0}) + \beta V_0 e^{-\beta V_0} \right] = \frac{m}{d\beta^2} \left[ 1 - e^{-\beta V_0} (1 + \beta V_0) \right] \quad (7).$$

1.17.(2.43).1

A partícula (massa  $m$ ) está sob a ação de uma força

$$F = -kx + \frac{k}{x^2} x^3, \quad k > 0 \quad (1).$$

Pede-se o levantamento do gráfico de  $V(x)$  (esboço) e a discussão dos possíveis movimentos.

Se  $F = -\frac{dV}{dx}$   $\Rightarrow V(x) = - \int F(x) dx$ , termos (calcular!)

$$V(x) = \frac{k}{2} x^2 - \frac{k}{4x^2} x^4 \quad (2).$$

Em (2) a constante de integração é anulada por conveniência.

Para o esboço do gráfico de  $V(x)$ , alguns passos são recomendáveis. Vamos sugerir aqui cinco passos, aplicáveis em geral a qualquer função  $V(x)$  e que serão usados em (2):

a) Busca de zeros de  $V(x)$ , ou seja, valores de  $x$  tais que  $V = 0$ .

Em nosso caso,  $V(x) = 0$  se  $x = 0$ ,  $x = -\alpha\sqrt{2}$  e  $x = \alpha\sqrt{2}$  (calcular!).

b) Busca de extremos de  $V(x)$ . Geralmente, isso pode ser feito, ao menos em parte, pela equação

$$\frac{dV}{dx} = 0.$$

Em nosso caso,  $\frac{dV}{dx} = -F = 0$  nos pontos  $x = 0$ ,  $x = \alpha$  e  $x = -\alpha$ .

Em muitos casos, saberemos se o extremo encontrado é máximo ou mínimo; respectivamente, se  $\frac{d^2V}{dx^2} < 0$  ou se  $\frac{d^2V}{dx^2} > 0$  no extremo.

1.17. (2.43). 2

Em nosso caso  $\frac{d^2U}{dx^2} = k - \frac{3k}{\alpha^2}x^2$ . Então o extremo  $x=0$

é tal que  $\frac{d^2U}{dx^2} = k > 0$  sendo então esse extremo um

mínimo. Para  $x = \pm\alpha$ ,  $\frac{d^2U}{dx^2} = -2k < 0$ , fazendo com que esses extremos sejam máximos.

c) Busca de pontos singulares em que  $U(x)$  não é bem definida ou é descontínua.

Em nosso caso  $U(x)$  não tem singularidades.

d) Busca de assintotas.

Em nosso caso  $U(x)$  não tem assintotas.

e) Comportamento em " $x \rightarrow +\infty$ " e " $x \rightarrow -\infty$ ".

Em nosso caso, para  $x \rightarrow \pm\infty$ ,  $-\frac{k}{4\alpha^2}x^4$

dove predominar sobre  $\frac{k}{2}x^2$ . Esperamos então " $U(x) \rightarrow -\infty$ " com  $x \rightarrow \pm\infty$ .

É comum que esses cinco procedimentos sejam suficientes para um bom esboço de  $U(x)$ . Em nosso caso eles resultam na figura abaixo.

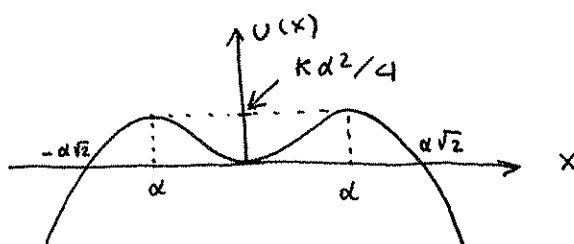


figura 1

Não se esqueça de registrar valores de  $U(x)$  nos pontos

1.17.(2.43).3

foralizados pelo procedimento. Em particular, encontre  $U(x)$  nos extremos.

Agora que  $U(x)$  está construída, o problema pode ser pensado em termos mais físicos.  $U(x)$  representa forças sobre o corpo, representado abaixo por um carrinho.

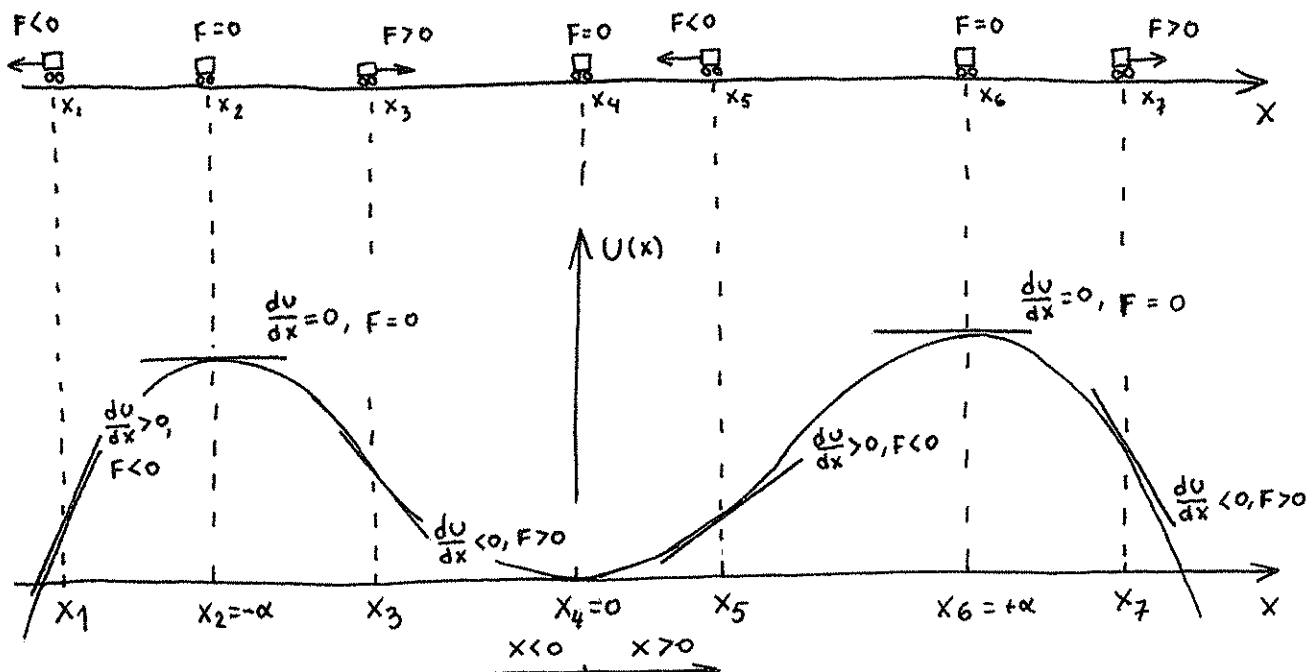


figura 2

Na figura acima o carrinho e as forças a ele aplicadas são "reais" e a curva  $U(x)$  é "teórica". Note que  $F > 0$  no sentido " $x$  crescente" e  $F < 0$  no sentido " $x$  decrescente". Como  $F = -(dU/dx)$ ,  $F$  e  $(dU/dx)$  têm sinais contrários. Por isso, por exemplo, em  $x_1$ ,  $dU/dx > 0$  e portanto  $F < 0$ . Os extremos de  $U$ ,  $x_2$ ,  $x_4 = 0$  e  $x_6$  são pontos com  $F = 0$ , isto é, são pontos de equilíbrio.

1.17. (2.43).4

$x_2 = -\alpha$  e  $x_6 = +\alpha$  são pontos de equilíbrio instáveis porque, por exemplo, as forças em  $x_1$  e  $x_3$ , nas proximidades de  $x_2$ , tendem a afastar o corpo do ponto de equilíbrio,  $x_2$ . Já  $x_4=0$  é um ponto de equilíbrio estável, pois as forças nas proximidades desse ponto ( $x_3$  e  $x_5$ , por exemplo) tendem a reaproximar o corpo do ponto de equilíbrio. Então

$U(x)$  é

- maxima em pontos de equilíbrio instável.
- minima em pontos de equilíbrio estável.

Observe que o corpo poderia oscilar em torno de  $x=0$ , o ponto de equilíbrio estável.

Vejamos agora as coisas sob o aspecto energético.

Como  $E = \text{energia} = \frac{m}{2} v^2 + U(x) = \text{constante}$ , temos

$$\underbrace{\frac{m}{2} v^2}_{\text{quantidade necessariamente positiva ou nula}} = E - U(x) \quad (3)$$

}

$E - U(x) \geq 0 \text{ ou}$   
 $E \geq U(x) \quad (4)$

em pontos aceitáveis à partícula no seu movimento dada uma energia  $E$ .

Note, por (3), que

$$v=0 \text{ quando } E = U(x) \quad (6).$$

1.17. (2.43). 5

O que está dito acima pode ser sintetizado por meio de um gráfico, em que superponemos  $U(x)$  com a "curva"  $E = E(x) = \text{constante}$  (reta paralela ao eixo  $x$ ).  
 (Note que  $E = \text{constante}$  está dada pelas condições iniciais  $x_0$  e  $V_0$ :  $E = \frac{m}{2} V_0^2 + U(x_0) = \frac{m}{2} V_0^2 + U(x_0)$ ).

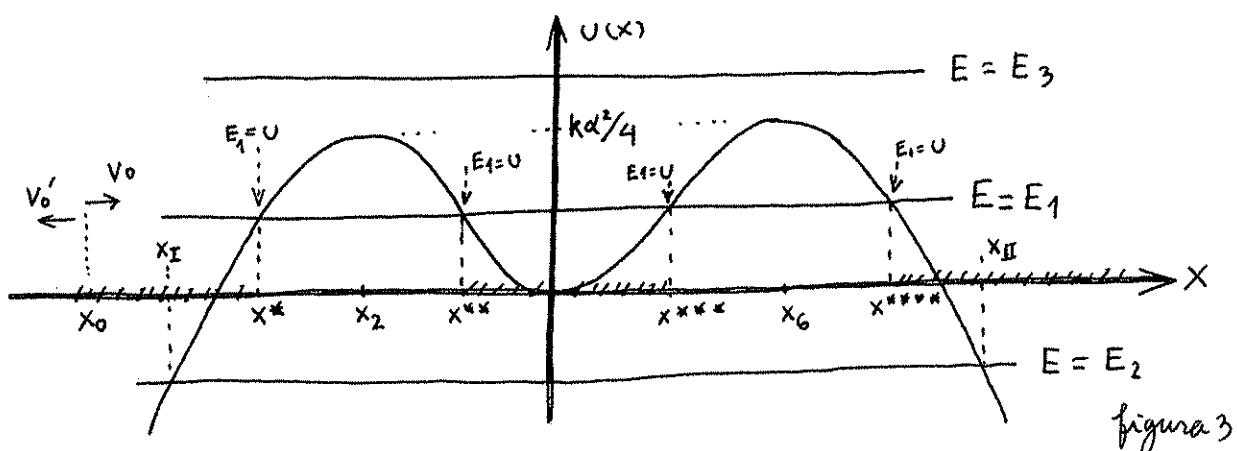


figura 3

Vamos fixar nossa atenção na possível energia  $E = E_1$ . Estão bachuradas as regiões em que  $E = E_1 \geq U$ , ou seja, as regiões possíveis para o movimento. Então, por exemplo, se dissemos que a energia é  $E_1$ , o corpo automaticamente não pode, de forma alguma (classicamente), estar em posições como  $x_2$  e  $x_6$ , em que  $E < U$ . Suponhamos agora, com  $E = E_1$ , que as condições iniciais sejam  $x_0 < x^*$ , numa velocidade inicial tal que  $E = E_1 = \frac{m}{2} V_0^2 + U(x_0)$ . Nesse caso se, por exemplo,  $V_0 > 0$  como na figura, a velocidade se anulará em  $x = x^*$  (eq(6)) de forma que a partícula não "subirá o morro de  $U(x)$ "

até uma posição como  $x_2$ :  $x^*$  será a máxima aproximação, e o corpo retornará, se afastando ilimitadamente no sentido  $x \rightarrow -\infty$ . O movimento será ilimitado e  $x = x^*$  será o ponto de retorno. De forma semelhante  $x \geq x^{***}$  é uma região de  $x$  acessível com  $E = E_1$  num movimento ilimitado com  $x^{***}$  sendo um ponto de retorno, com velocidade nula. Observe também que nas regiões de movimento ilimitado o corpo pode não chegar a se aproximar do ponto de retorno. Se, por exemplo, a velocidade inicial em  $x_0$ , na figura, for  $v'_0 = -v_0$ , o corpo simplesmente vai se afastar para  $x \rightarrow -\infty$ , sem se aproximar de  $x^*$ .

Se a energia for  $E = E_1$  e as condições iniciais forem tais que  $x_0$  esteja entre  $x^{**}$  e  $x^{***}$  (pontos de retorno com  $v=0$  e  $E = E_1 = v$ ) o movimento será de oscilações entre  $x^{**}$  e  $x^{***}$  (observe as forças nos pontos  $x_3$  e  $x_5$  da figura 2).

Agora, a energia poderia ser, em condições iniciais específicas,  $E = E_2$  na figura 3. Nesse caso, apenas movimentos ilimitados com  $x < x_I$  ou  $x > x_{II}$  seriam possíveis.  $x_I$  e  $x_{II}$  são agora os pontos de retorno.

1.17. (2.43).7

Se a energia for  $E = E_3$  não há pontos de retorno: todos os valores de  $x$  são aceitáveis e o movimento é totalmente ilimitado.

Note que se a energia for  $E = k d^2/4$ ,  $x_2$  e  $x_6$  são pontos de velocidade nula mas não são exatamente de retorno, porque o movimento é totalmente ilimitado.

Finalmente observe o seguinte: para pontos muito próximos de  $x=0$  o termo  $\frac{1}{2} k x^2$  predomina sobre  $-\frac{k x^4}{4 x^2}$ .

Então o movimento oscilatório com  $E > 0$  e  $E$  pequena equivale ao de um oscilador harmônico com  $F = -\frac{dU}{dx} = -kx$  (2ª lista, questão 1) e o movimento terá frequência  $\omega = \sqrt{k/m}$ . Veja a figura abaixo.

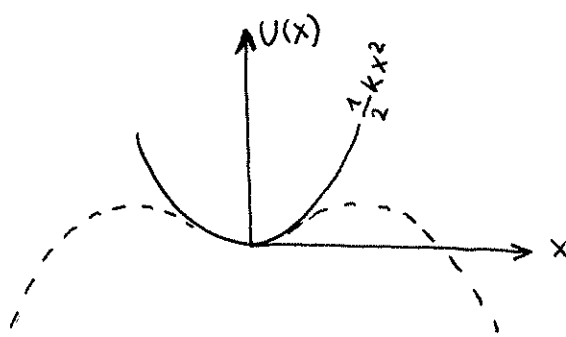


figura 4

Em geral, se  $x=a$  é um mínimo de  $U(x)$  podemos, em vista de da expansão  $U(x) = U(a) + \frac{dU}{dx}|_{x=a}(x-a) + \frac{1}{2} \frac{d^2U}{dx^2}|_{x=a} (x-a)^2 + \dots$ , aproximar  $U(x)$  por  $U(x) = U(a) + \frac{1}{2} \frac{d^2U}{dx^2}(x-a)^2$ ,

1.17. (2.43). 8

com o que oscilações próximas de  $x=a$  ( ponto de equilíbrio estável , mínimo de  $V(x)$  ) , por analogia

com  $V(x) = V(a) + \frac{k}{2} (x-a)^2$  , que nos dá a força

"restauradora"  $F = -\frac{dV}{dx} = -k(x-a) = -k\Delta x$  , terão

frequência

$$\omega = \sqrt{\frac{(d^2V/dx^2)|_{x=a}}{m}} \quad (7).$$

Veja abaixo a figura ilustrativa do que estamos discutindo.

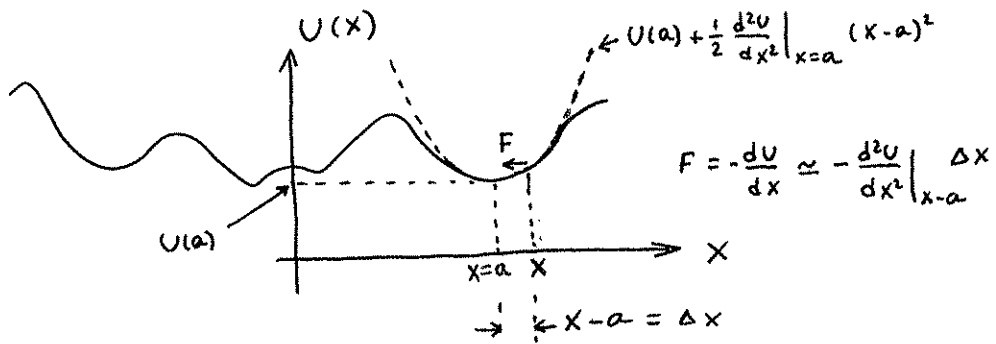


figura 5

Observe que na figura 5 outros máximos e mínimos existem . Pequenas oscilações em torno desses outros mínimos teriam outras frequências compatíveis com a expressão (7).

1.17. (2.47).1

Com os dados  $a = 2m$  e  $v_0 = 2J$ , temos  $V(x) = 2 \left( \frac{2}{x} + \frac{x}{2} \right)$ .

Usando métodos semelhantes aos expostos na questão 2.43 temos

- \* Se  $x$  é pequeno,  $\frac{2}{x}$  predomina sobre  $\frac{x}{2}$  e  $V(x) \approx 2 \left( \frac{2}{x} \right) = \frac{4}{x}$ . Quando  $x \rightarrow 0$ ,  $V(x) \rightarrow +\infty$ . Se  $x$  é grande,  $\frac{x}{2}$  predomina sobre  $\frac{2}{x}$  e  $V(x) \approx 2 \left( \frac{x}{2} \right) = x$ .
- \* Zeros de  $V(x)$ :  $V(x) = 0 \Rightarrow \frac{2}{x} + \frac{x}{2} = \frac{4+x^2}{2x} = 0$ . Não há zeros reais de  $V(x)$ .
- \* Extremos de  $V(x)$ :  $\frac{dV}{dx} = 2 \left( -\frac{2}{x^2} + \frac{1}{2} \right)$ . Então  $\frac{dV}{dx} = 0$  para  $x = \pm 2$ . Como apenas  $x > 0$  interessa,  $x = 0$  é o ponto de extremo (equilíbrio). Como  $\frac{d^2V}{dx^2} = \frac{8}{x^3}$ ,  $\frac{d^2V}{dx^2} \Big|_{x=2} = \frac{8}{2^3} = 1$ . Sendo  $\frac{d^2V}{dx^2} > 0$  no extremo, o extremo é um mínimo de  $V(x)$ . O ponto de equilíbrio  $F = -\frac{dV}{dx} = 0$  é portanto estável.

Com as informações acima,  $V(x)$  tem o esboço abaixo.

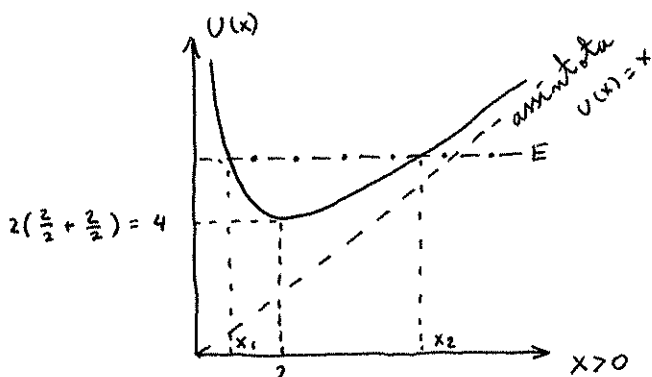


figura 1

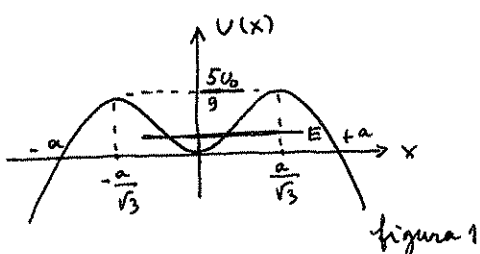
Note que só é possível o movimento se  $E > 4J$  e que ele será sempre de oscilação entre pontos de retorno  $x_1$  e  $x_2$ , como indicados.

1.17. (2.52).1

$U(x) = U_0 \left[ 2\left(\frac{x}{a}\right)^2 - \left(\frac{x}{a}\right)^4 \right]$ ,  $U > 0$ ,  $a > 0$ . Usaremos os métodos da questão 2.43.

$$a) F(x) = -\frac{dU}{dx} = U_0 \left[ -4\frac{x}{a^2} + \frac{4x^3}{a^4} \right] = 4U_0 \left[ -\frac{x}{a^2} + \frac{x^3}{a^4} \right].$$

b)



$x=0$ : ponto de equilíbrio estável

$x = \pm \frac{a}{\sqrt{3}}$ : pontos de equilíbrio instável.

c) Expansão de Taylor em torno de  $x = x_\alpha$ :

$$U(x) = U(x_\alpha) + \frac{dU}{dx} \Big|_{x=x_\alpha} (x-x_\alpha) + \frac{1}{2} \frac{d^2U}{dx^2} \Big|_{x=x_\alpha} (x-x_\alpha)^2 + \dots \quad (1).$$

Nunca ponto  $x_\alpha$  de equilíbrio,  $\frac{dU}{dx} \Big|_{x=x_\alpha} = 0$ . Então, nas

proximidades de um ponto de equilíbrio (1) fica, até a ordem  $(x-x_\alpha)^2$ ,  $\approx (x-x_\alpha)^2$ ,

$$U(x) = U(x_\alpha) + \frac{1}{2} \frac{d^2U}{dx^2} \Big|_{x=x_\alpha} (x-x_\alpha)^2 \quad (2)$$

No caso, o ponto de equilíbrio estável é  $x_\alpha = 0$ , com  $U(x_\alpha = 0) = 0$ . Como

$$\frac{d^2U}{dx^2} = U_0 \left[ \frac{4}{a^2} - \frac{12x^2}{a^4} \right], \quad \frac{d^2U}{dx^2} \Big|_{x=x_\alpha=0} = \frac{4U_0}{a^2} \quad (3).$$

Colocando (3) em (2) temos

$$U(x) = 0 + \frac{1}{2} \frac{4U_0}{a^2} (x-0)^2 \Rightarrow U(x) = \frac{2U_0}{a^2} x^2 \quad (\text{nás proximidades de } x=0) \quad (4).$$

1.17.(2.52).2

Ocorre que (4) é semelhante a  $V(x) = \frac{1}{2} kx^2$ , a energia potencial de um oscilador harmônico, se  $\frac{1}{2}k = \frac{2U_0}{a^2} \Rightarrow k = \frac{4U_0}{a^2}$  (5). Então, se  $m$  é a massa da partícula em questão,  $\omega = \sqrt{k/m} = \sqrt{(4U_0/a^2)/m} = \sqrt{4U_0/a^2 m}$  será a frequência das oscilações com energia  $E$  pequena (figura 1).

d) Pela figura 1, se a partícula é lançada de  $x=0$  com velocidade  $v_e$  (velocidade de escape), digamos para a direita, sua energia deve ser no mínimo  $E = 5U_0/9$ . Temos

$$E = \frac{5}{9} U_0 = \frac{m}{2} v_e^2 + \underbrace{V(x=0)}_{=0} \Rightarrow v_e = \sqrt{\frac{10U_0}{9m}}.$$

e) Podemos obter  $x(t)$  da conservação da energia assim procedendo:

$$E = \frac{5}{9} U_0 = \frac{m}{2} \left( \frac{dx}{dt} \right)^2 + V(x) = \frac{m}{2} \left( \frac{dx}{dt} \right)^2 + U_0 \left[ 2\left(\frac{x}{a}\right)^2 - \left(\frac{x}{a}\right)^4 \right]$$

$$\Rightarrow \frac{m}{2} \left( \frac{dx}{dt} \right)^2 = E - U_0 \left[ 2\left(\frac{x}{a}\right)^2 - \left(\frac{x}{a}\right)^4 \right] \Rightarrow \frac{dx}{dt} = \sqrt{\frac{2}{m} \left\{ E - U_0 \left[ 2\left(\frac{x}{a}\right)^2 - \left(\frac{x}{a}\right)^4 \right] \right\}}$$

$$\Rightarrow \int_{x=0}^x \frac{dx}{\sqrt{\frac{2}{m} \left\{ E - U_0 \left[ 2\left(\frac{x}{a}\right)^2 - \left(\frac{x}{a}\right)^4 \right] \right\}}} = t.$$

1.17 (2.53).1

Se a questão é colocada em coordenadas cartesianas, convém que se calcule  $\vec{\nabla} \times \vec{F}$ , porque caso  $\vec{\nabla} \times \vec{F} \neq \vec{0}$  a força não é conservativa. Obter o rotacional em coordenadas não-cartesianas é possível mas pode ser trabalhoso.

a)  $\vec{F} = (ayz + bx + c, axz + bz, axy + by)$

$$\text{Temos } \vec{\nabla} \times \vec{F} = \begin{vmatrix} \vec{i} & \vec{j} & \vec{k} \\ \frac{\partial}{\partial x} & \frac{\partial}{\partial y} & \frac{\partial}{\partial z} \\ ayz + bx + c & axz + bz & axy + by \end{vmatrix}$$

$$= \vec{i} (ax + b - (ax + b)) + \vec{j} (ay - ay) + \vec{k} (az - az)$$

$$= \vec{0}.$$

Então a força é conservativa e podemos procurar  $U$  por

$$F_x = -\frac{\partial U}{\partial x}, \quad F_y = -\frac{\partial U}{\partial y}, \quad F_z = -\frac{\partial U}{\partial z}. \quad \text{Então,}$$

neste caso,

$$\frac{\partial U}{\partial x} = -ayz - bx - c \quad (1),$$

$$\frac{\partial U}{\partial y} = -axz - bz \quad (2),$$

$$\frac{\partial U}{\partial z} = -axy - by \quad (3).$$

Começando, por exemplo, por (1), temos

$$\int_{y,z} \frac{\partial U}{\partial x} dx = \int_{y,z} (-ayz - bx - c) dx,$$

integral com  $y$  e  $z$

fixos, já que  $\frac{\partial U}{\partial x} = \frac{\partial U}{\partial x}|_{y,z}$  é definida com  $y$  e  $z$  fixos.

1.17. (2.53). 2

de onde

$\underbrace{-f(y,z)}$  = constante de integração com  $y$  e  $z$  fixos

$$\int_{y,z} \partial U = U(x,y,z) - f(y,z) = -ayz \int_{y,z} dx - b \int_{y,z} x dx - c \int_{y,z} dx ;$$

"contando  $\partial x = dx$ " :

$$\int_{yz} \frac{\partial U}{\partial x} dx = \int_{yz} \partial U = \int_{yz} dU )_{y,z} \quad \begin{matrix} y \neq z \\ \text{fixos} \end{matrix}$$

$$\therefore U(x,y,z) = -ayzx - b \frac{x^2}{2} - cx + f(y,z) \quad (4).$$

(4) deve ser compatível com (2):

$$\frac{\partial U}{\partial y} = \frac{\partial}{\partial y} \left\{ -ayzx - \frac{bx^2}{2} - cx + f(y,z) \right\} = -azx - bz ;$$

$$-azx + 0 + 0 + \frac{\partial f(y,z)}{\partial y} = -azx - bz ;$$

$$\frac{\partial f}{\partial y} = -bz , \quad \text{de onde}$$

$\underbrace{-g(z)}$  = constante de integração com  $z$  fixo

$$\int_z \frac{\partial f(y,z)}{\partial y} dy = f(y,z) - g(z) = \int_z (-bz) dy$$

integração  
com  $z$  fixo

$$= \int_z \frac{\partial f}{\partial y} dy = \int_z \partial f = \int_z df )_z \quad \begin{matrix} \text{fixo} \end{matrix}$$

$$\therefore f(y,z) = -bzy + g(z) \quad (5)$$

$$\text{De (4) e (5)} \quad U(x,y,z) = -ayzx - \frac{bx^2}{2} - cx - bzy + g(z) \quad (6).$$

(6) deve ser compatível com (3) :

1.17. (2.53) . 3

$$\frac{\partial U}{\partial z} = \frac{\partial}{\partial z} \left\{ -axyz - \frac{bx^2}{2} - cx - bzy + g(z) \right\} = -axy - by;$$

$$-axy - 0 - 0 - by + \underbrace{\frac{dg(z)}{dz}}_{=0} = -axy - by;$$

a derivada parcial se torna  
aqui ordinária porque  $z$   
é a única variável em  
questão

$$\therefore \frac{dg(z)}{dz} = 0 \Rightarrow g(z) = K = \text{constante} \quad (7).$$

Então, finalmente, de (6) e (7),

$$U(x, y, z) = -axyz - \frac{bx^2}{2} - cx - bzy + K$$

b)  $\vec{F} = (-ze^{-x}, \ln z, e^{-x} + \frac{y}{z})$ .

$$\vec{\nabla} \times \vec{F} = \begin{vmatrix} \vec{i} & \vec{j} & \vec{k} \\ \frac{\partial}{\partial x} & \frac{\partial}{\partial y} & \frac{\partial}{\partial z} \\ -ze^{-x} & \ln z & e^{-x} + y/x \end{vmatrix}$$

$$= \vec{i} \left( \frac{1}{z} - \frac{1}{z} \right) + \vec{j} (-e^{-x} + e^{-x}) + \vec{k} (0 - 0) = \vec{0}.$$

Então deve existir  $U(\vec{r}) = U(x, y, z)$ . Como no item anterior,

$$\frac{\partial U}{\partial x} = -ze^{-x} \quad (1) \quad , \quad \frac{\partial U}{\partial y} = -\ln z \quad (2) \quad , \quad \frac{\partial U}{\partial z} = -e^{-x} - \frac{y}{z} \quad (3).$$

De (1),  $U(x, y, z) = -ze^{-x} + f(y, z) \quad (4)$ . (4) deve ser compatível com (2):  $\frac{\partial}{\partial y} (-ze^{-x} + f(y, z)) = -\ln z$ ;

1.12. (2.53). 4

$$\frac{\partial f(y,z)}{\partial y} = -\ln z \Rightarrow f(y,z) = -y \ln z + g(z) \quad (5). \text{ De (4)}$$

$$\text{e (5)} \quad v(x,y,z) = -ze^{-x} - y \ln z + g(z) \quad (6). \quad (6) \text{ deve ser}$$

$$\text{compatível com (3): } \frac{\partial}{\partial z} (-ze^{-x} - y \ln z + g(z)) = -e^{-x} - \frac{y}{z} \quad ;$$

$$-e^{-x} - y \frac{1}{z} + \frac{dg(z)}{dz} = -e^{-x} - \frac{y}{z} \Rightarrow \frac{dg(z)}{dz} = 0 \Rightarrow g(z) = K \text{ (const.)} \quad (7).$$

Finalmente, de (6) e (7),

$$v(x,y,z) = -ze^{-x} - y \ln z + K$$

$$c) \vec{F} = \frac{a}{r} \hat{e}_r = \frac{a}{r} \frac{\vec{r}}{r} = \frac{a}{r^2} \vec{r}, r^2 = x^2 + y^2 + z^2, \vec{r} = (x, y, z).$$

E trabalho, embora não muito difícil, obter  $\vec{\nabla} \times \vec{F}$ .

Ocorre que  $\vec{\nabla} \times \vec{F} = \vec{0}$  e que existe  $v(\vec{r}) = v(x, y, z)$ .

Temos

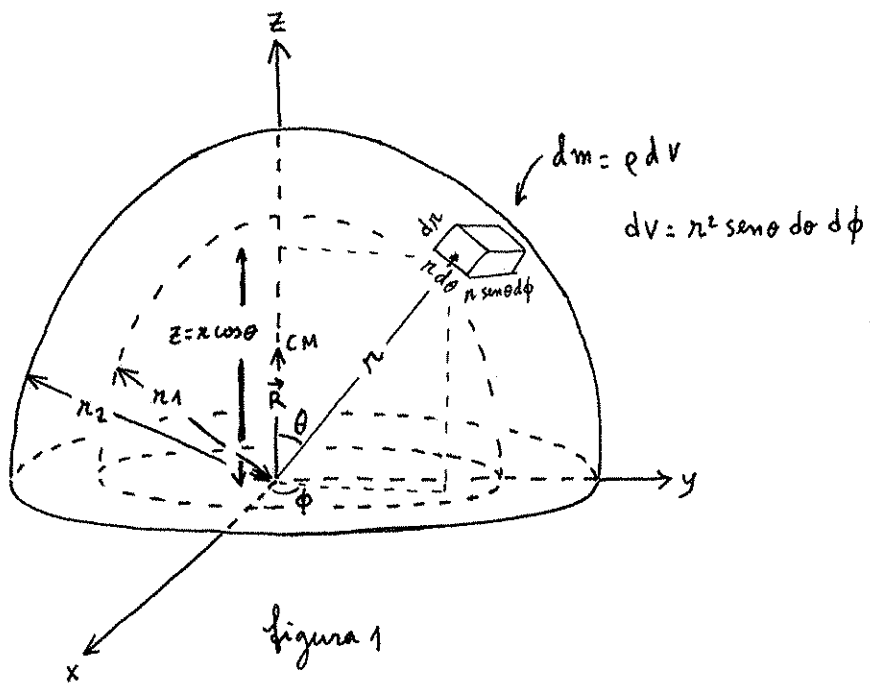
$$F_x = -\frac{\partial v}{\partial x} = \frac{a}{x^2+y^2+z^2} x, \quad \frac{\partial v}{\partial x} = -\frac{ax}{x^2+y^2+z^2} \quad (1),$$

$$F_y = -\frac{\partial v}{\partial y} = \frac{a}{x^2+y^2+z^2} y, \quad \frac{\partial v}{\partial y} = -\frac{ay}{x^2+y^2+z^2} \quad (2),$$

$$F_z = -\frac{\partial v}{\partial z} = \frac{a}{x^2+y^2+z^2} z, \quad \frac{\partial v}{\partial z} = -\frac{az}{x^2+y^2+z^2} \quad (3).$$

Você deveria poder mostrar, mesmo que diretamente, que  $v(\vec{r}) = v(r) = -a \ln r + \underbrace{\text{constante}}_K = -a \ln(x^2+y^2+z^2)^{1/2} + K$ .

1.18. (9.1).1



Seguimos a figura

1, em que a posição de um volume  $dV$  dentro da concha é  $\vec{r}$ .  $\vec{R}$  é a posição do centro de massas, que por simetria é

$\vec{R} = (0, 0, Z)$ . Temos, se  $M$  = massa total

$$\begin{aligned} Z &= \frac{1}{M} \int z \, dm \\ &= \frac{1}{M} \int_0^{2\pi} \int_0^{\pi/2} \int_{r_1}^{r_2} (r \cos \theta) \rho (r^2 \sin \theta \, d\theta \, d\phi) \\ &= \frac{\pi}{4M} (r_2^4 - r_1^4) \rho \quad (1). \end{aligned}$$

(Como  $M = \frac{1}{2} \frac{4\pi}{3} (r_2^3 - r_1^3)$  (2), temos  $Z = \frac{3}{8} \frac{r_2^4 - r_1^4}{r_2^3 - r_1^3}$ .

1. 18. (9.6). 1

Devemos considerar duas partículas de massa  $m$  sob a ação de forças externas  $\vec{F}_1 = 0$  e  $\vec{F}_2 = F_0 \vec{i}$ . As partículas estão inicialmente na origem. Pede-se a posição do centro de massa e sua velocidade em função do tempo. A figura 1 é auxiliar.

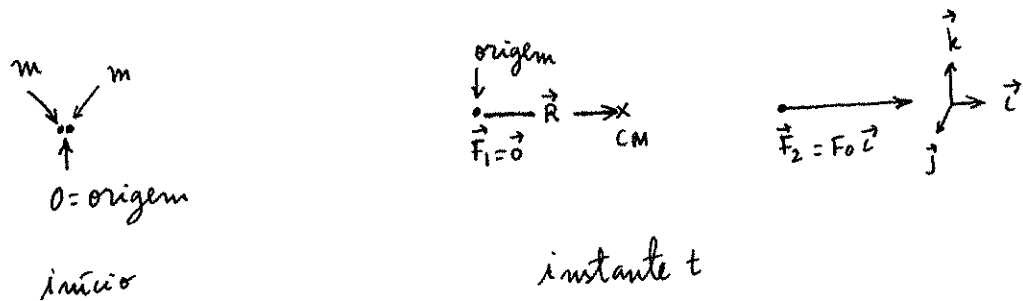


figura 1

$$\text{Temos } \vec{F}_1 + \vec{F}_2 = 2m \vec{a}_{cm} \quad (1)$$

~~~~~      ~~~~~      ~~~~~  
 força externa      massa      aceleração do centro de massa  $= \frac{d^2 \vec{R}}{dt^2}$   
 total

Se  $\vec{R} = (x_{cm}, y_{cm}, z_{cm})$ , (1) fica

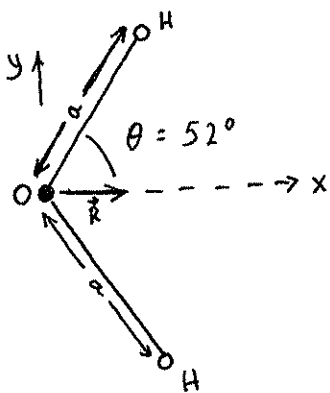
$$\left. \begin{array}{l} \ddot{x}_{cm} = \frac{F_0}{2m} \quad (2) \\ \ddot{y}_{cm} = 0 \quad (3) \\ \ddot{z}_{cm} = 0 \quad (4) \end{array} \right\} \text{Se as partículas partem da origem em repouso,}$$

$$x_{cm} = \frac{1}{2} \frac{F_0}{2m} t^2, \quad y_{cm} = 0, \quad z_{cm} = 0 \quad (5).$$

Pelas relações (5) temos  $\vec{R} = \left( \frac{1}{2} \frac{F_0}{2m} t^2, 0, 0 \right) \Rightarrow \vec{v} = \frac{d \vec{R}}{dt}$   
 $= \left( \frac{F_0}{2m} t, 0, 0 \right) \quad (6)$ . A aceleração será  $\vec{a}_{cm} = \frac{d^2 \vec{R}}{dt^2} = \left( \frac{F_0}{2m}, 0, 0 \right) \quad (7)$ .

Como seria considerar apenas o movimento da partícula 2 para obter as respostas?

1.18.(9.7).1



Devemos encontrar a posição  $\vec{R}$

do centro de massa.

figura 1

$$\text{Tensor } \vec{R} = \frac{m_H (\cos \theta, \sin \theta) + m_H (\cos \theta, -\sin \theta) + m_O (0,0)}{m_H + m_H + m_O}$$
$$= \left( \frac{2 m_H \cos \theta}{2 m_H + m_O}, 0, 0 \right)$$

Coloque os valores da literatura para o cálculo.

1.18.(9.9).1

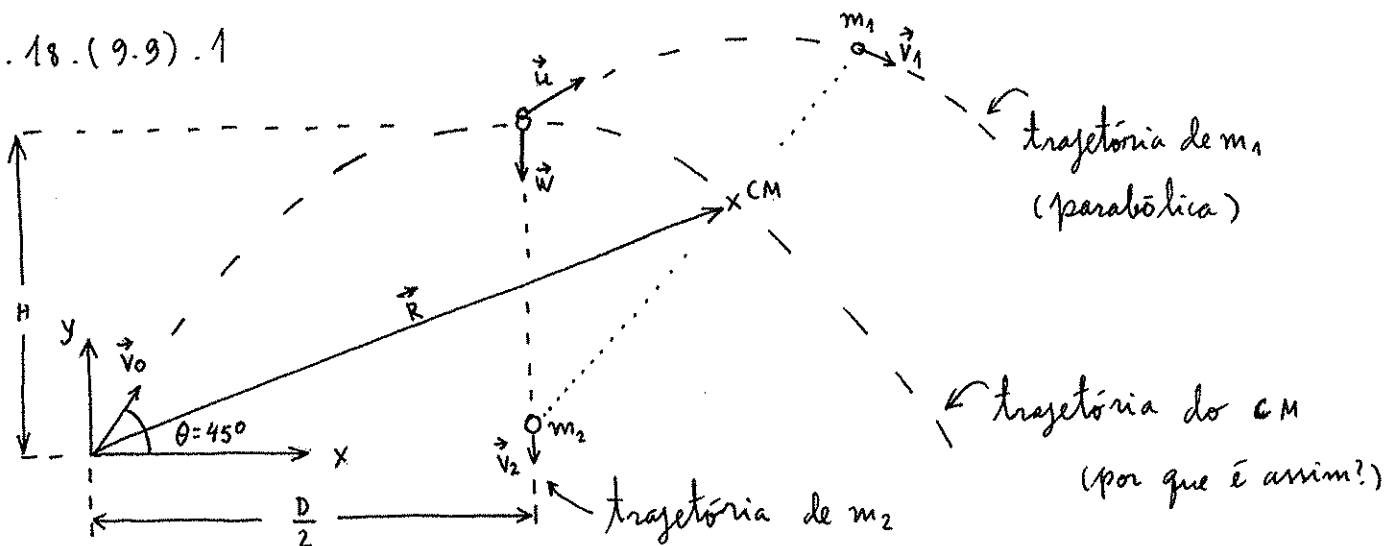


figura 1

Na figura 1 um projétil é lançado com energia  $E_0$  e se parte em duas massas  $m_1$  e  $m_2$ , no topo da trajetória, com energia adicional  $E_0$ . Deveremos calcular as velocidades das massas e a razão  $m_1/m_2$  quando  $m_1$  é máxima.

A massa total é  $m = m_1 + m_2$ . Temos

$$\begin{aligned}\vec{R} &= (v_0 \cos \theta t, v_0 \sin \theta t - \frac{1}{2} g t^2) \\ &= \left( \frac{m_1 x_1 + m_2 x_2}{m_1 + m_2}, \frac{m_1 y_1 + m_2 y_2}{m_1 + m_2} \right) \quad (1)\end{aligned}$$

Sabemos pelo enunciado que  $x_2 = \frac{D}{2}$  e  $y_2 = H - Wt - \frac{1}{2} g t^2$  (2).

Combinando (1) e (2),

$$\begin{aligned}\frac{m_1 x_1 + m_2 \frac{D}{2}}{m_1 + m_2} &= v_0 \cos \theta t \\ \text{e } \frac{m_1 y_1 + m_2 (H - Wt - \frac{1}{2} g t^2)}{m_1 + m_2} &= v_0 \sin \theta t - \frac{1}{2} g t^2\end{aligned}\quad \Rightarrow \quad \begin{cases} x_1 = \frac{m_1 + m_2}{m_1} v_0 \cos \theta t - \frac{m_2}{m_1} \frac{D}{2} \quad (3) \\ y_1 = \frac{m_1 + m_2}{m_1} (v_0 \sin \theta t - \frac{1}{2} g t^2) \\ \quad - \frac{m_2}{m_1} (H - Wt - \frac{1}{2} g t^2) \end{cases} \quad (4)$$

Como  $\theta$  é dado,  $v_0$  é calculável por  $E_0 = \frac{m_1 + m_2}{2} v_0^2$ , dado  $E_0$ .  $H$  e  $D$  são calculáveis. Faltam inferir  $W$ .

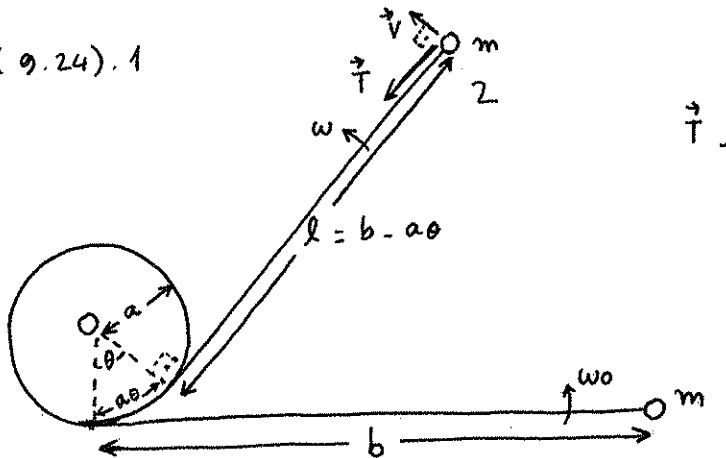
1.18. (g. g.).2

W é calculável da seguinte forma: É dito que a separação  
aumenta ao movimento uma energia  $E_0$ . Então, para a  
conservação,

$$E_0 + E_0 = \frac{m_1}{2} w^2 + \frac{m_2}{2} \frac{u^2}{2} + (m_1 + m_2) g H \quad (5).$$

Observe que  $u^2 = u_x^2 + u_y^2$  e essas componentes de  $\vec{u}$  podem ser obtidas  
de (3) e (4), no instante  $t = T$  correspondente a  $x_{cm} = D/2$  e  $y_{cm} = H$ ,  
como funções de  $W$ . Pode-se então retornar a (5). Como você  
faria essa questão.

1.18. (9.24).1



$\vec{T}$  é a força sobre  $m$ ,  
que não realiza trabalho  
poque  $\vec{T} \cdot \vec{v} = 0$

figura 1 :  $\vec{T}$  não é central em relação a O, razão pela qual  
não há conservação de momento angular.

Seguindo a figura 1 e considerando a conservação da  
energia no movimento de 1 a 2 temos

$$\frac{m}{2} (\omega_0 b)^2 = \frac{m}{2} (wl)^2 \Rightarrow \omega = \omega_0 \frac{b}{l} = \omega_0 \frac{b}{b - a\theta}.$$

1.18.(9.30).1

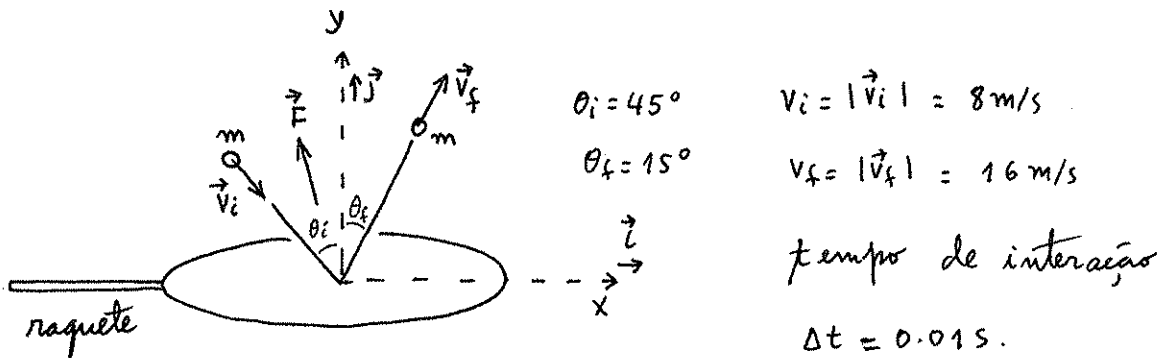


figura 1

Tendo em vista a figura 1, pergunta-se qual é o impulso  $\vec{I}$  sobre a bola e a força  $\vec{F}$  sobre ela.

$$\text{Temos } \vec{v}_i = (v_i \sin \theta_i, -v_i \cos \theta_i) \quad (1) \text{ e } \vec{v}_f = (v_f \sin \theta_f, v_f \cos \theta_f)$$

(2). Por definição de impulso,

$$\vec{I} = \int \vec{F} dt = \int \frac{d\vec{p}}{dt} dt = \int d\vec{p} = \Delta \vec{p} .$$

Então por (1)

$$\begin{aligned} \vec{I} = \Delta \vec{p} &= m \vec{v}_f - m \vec{v}_i = m (v_f \sin \theta_f - v_i \sin \theta_i) \hat{i} \\ &\quad + m (v_f \cos \theta_f + v_i \cos \theta_i) \hat{j} \end{aligned} \quad (2).$$

Se considerarmos constante a força no intervalo  $\Delta t$  temos

$$\vec{I} = \int \vec{F} dt = \vec{F} \int dt = \vec{F} \Delta t .$$

Então, por (2),

$$\vec{F} = \frac{\vec{I}}{\Delta t} = \frac{\Delta \vec{p}}{\Delta t} = m \frac{v_f \sin \theta_f - v_i \sin \theta_i}{\Delta t} \hat{i} + m \frac{v_f \cos \theta_f + v_i \cos \theta_i}{\Delta t} \hat{j} \quad (3).$$

O resultado deve ser  $\vec{F} = -g \hat{i} + 12 \hat{j} \text{ (N)}$ .